

Linie: 720
Bezeichnung: ZH Langstrasse – Thalwil - Ziegelbrücke
Km: 1.213 – 57.146
Kanton(e): Zürich
Gemeinde(n): Horgen, Wädenswil
Projekt: **Fahrbahnerneuerung Horgen – Au ZH**
Gleise 94, 118, 119

10.92.01

ISP-Nr.: 1168481

Phase: **Auflageprojekt**

Datum: 20.03.2026

Unterschriften:

Bauherrenvertretung SBB

Projektverfasser

Abteilung: I-AEP-ENG-FB-ROT-PL2

Firma: Rubi Bahntechnik Schweiz AG

Name: Michael Hoffmann

Name: Kristine Diethelm



Baugrunduntersuchung Elektrische Drucksondierungen Bericht Nr. BG2023-009

Dok.-Nr. 1168481_03_BG_2023-009

Index: **Erstellt:** **Geprüft:** **Freigabe:**

--- 20.03.26 kd 20.03.26 jb 20.03.26 mh

a

b

c

ELEKTRISCHE DRUCKSONDIERUNGEN

GEOTECHNISCHE UNTERSUCHUNGEN

SBB HORGEN - AU

8810 HORGEN

Projekt Nr.: 60-2956

Bericht Nr.: 2956 / 1

Geoprofile GmbH

**ELEKTRISCHE DRUCKSONDIERUNGEN
GEOTECHNISCHE UNTERSUCHUNGEN
SBB HORGEN - AU
8810 HORGEN**

Bauherrschaft	SBB CFF FFS
Auftraggeber	CSD Ingenieure AG
Adresse	Schachenallee 29A 5000 Aarau Frau Isabella Witlox
Referenz Nr. des Auftraggebers	-
Projekt Nr. Geoprofile GmbH	60-2956
Band	1 von 1
Vertraulichkeit	Verteilung des Berichts beschränkt auf vom Auftraggeber genehmigten Projektteilnehmer

Kurzbeschreibung

Der Bauherrschaft fordert geotechnische Untersuchungen entlang der SBB-Strecke Horgen - Au (ZH) an.

Zur erweiterten Abklärung der lokalen Baugrundverhältnisse wurde Geoprofile GmbH vom Auftraggeber beauftragt, 15 elektrische Drucksondierungen bis in Tiefen von ca. 10 - 20 m abzuteufen.

Der vorliegende Bericht dokumentiert die folgenden Leistungen :

- Abteufen von 15 elektrischen Drucksondierungen mit einer Länge von insgesamt 112.25 m, inklusive Messung des Porenwasserüberdrucks (CPTU 1-24 bis CPTU 14-24) ;
- Abteufen von 5 Rammsondierungen mit einer Länge von insgesamt 14.2 m, inklusive Messung des Porenwasserüberdrucks (DPSH 4-24, DPSH 6-24, DPSH 11-24, DPSH 12-24 und DPSH 13-24)
- Auswertung der Messdaten ;
- Geotechnische Interpretation der elektrischen Drucksondierungen und Herleitung von geotechnischen Kennwerten.
- Bestimmung der Scherwellengeschwindigkeit als Funktion der Tiefe (SCPT 1-24, SCPTU 2-24, SCPTU 6-24, SCPTU 8-24, SCPTU 15-24).

Feldarbeiten : 24. - 27. Juni 2024

Version	Datum	Beschreibung	Kontrolliert	Genehmigt
1	05.07.2024	Schlussbericht	dvm	kat

INHALTSVERZEICHNIS

Seite

Situation mit Lage der Sondierstellen

1 - 2

BEILAGEN

Beilage A : Ausführungspraxis

Beilage B : Elektrische Drucksondierung – Messdaten

Beilage C : Rammsondierung – Messdaten

Beilage D : Elektrische Drucksondierung – Interpretation

Beilage E : Scherwellengeschwindigkeit als Funktion der Tiefe

ANHÄNGE (allgemeine Hintergrundinformationen)

Anhang 1 : Elektrische Drucksondierung (CPT)

Anhang 2 : Interpretation der elektrischen Drucksondierung

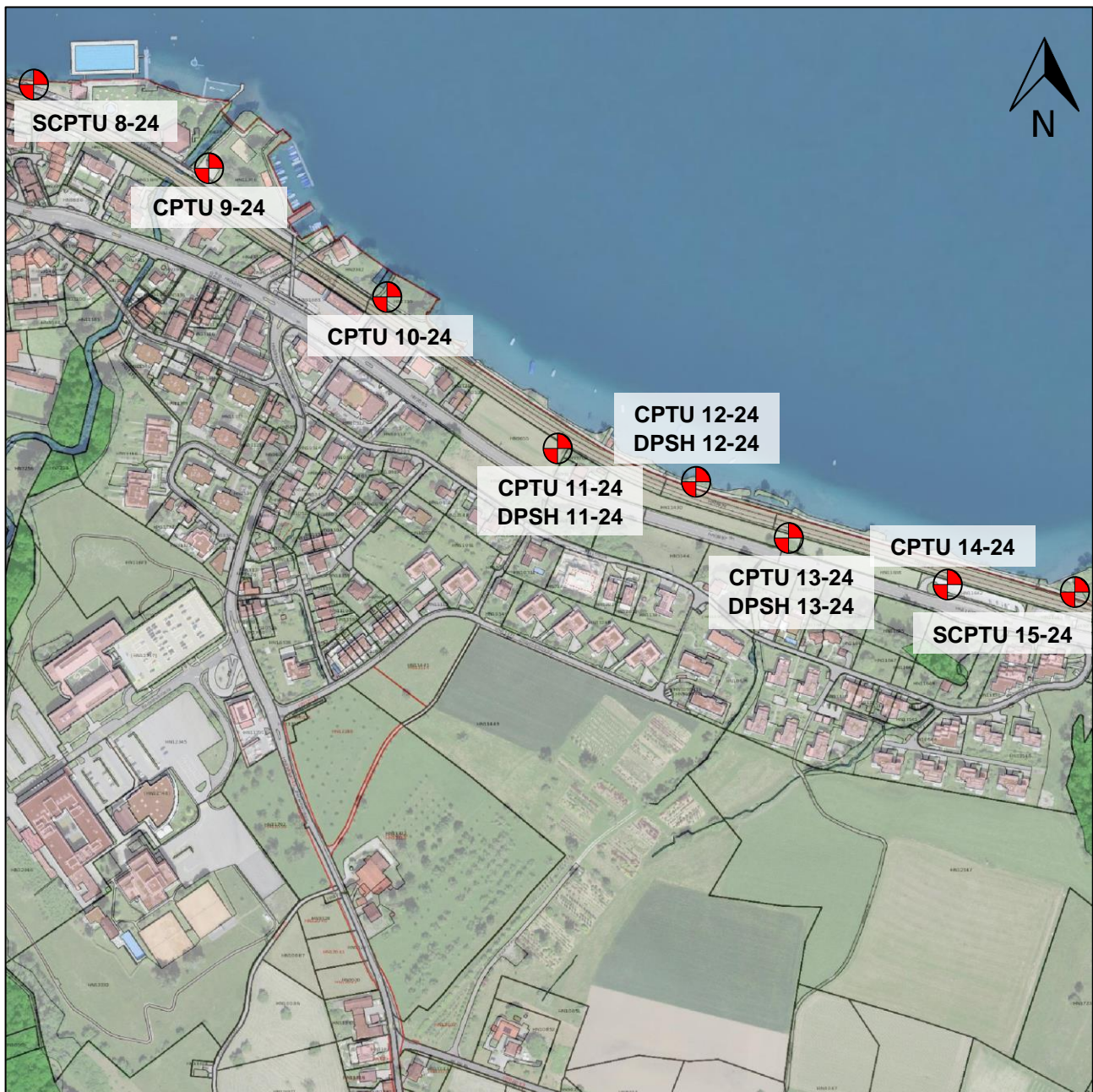
Anhang 3: Rammsondierung (DP)



M 1:5000

SITUATION MIT UNGEFÄHRER LAGE DER SONDIERSTELLEN

Geotechnische Untersuchungen, SBB Horgen - Au, 8810 Horgen



M 1:5000

SITUATION MIT UNGEFÄHRER LAGE DER SONDIERSTELLEN

Geotechnische Untersuchungen, SBB Horgen - Au, 8810 Horgen

BEILAGE A
AUSFÜHRUNGSPRAXIS

INHALT

Beilage

Ausführungspraxis der elektrischen Drucksondierung

A1-A2

TESTSTEUERUNG – PENETRATION

Generelle Testablauf :	Siehe Anhang 1, "Elektrische Drucksondierung (CPT)" (GEO/APP/001)
Vorbereitungsphase :	<ul style="list-style-type: none"> – Bestimmung der Sondierstandorte durch Auftraggeber – Auswahl der Messsonde durch Geoprofile GmbH – Vorherige Sättigung des Filter-Elementes durch Vakuum-Lagerung in biologisch abbaubarem Öl während 24 Stunden – Nachsättigung vor Ort vor jeder Prüfung
Einmessen und Nivellement :	<ul style="list-style-type: none"> – Einmessen der Sondierstandorte durch Auftraggeber – Nivellement durch Geoprofile GmbH
Testphase :	Keine projektspezifischen Vorkehrungen
Testabbruch :	Siehe Anhang 1, "Elektrische Drucksondierung (CPT)" (GEO/APP/001)
Zusätzliche Messungen :	S-Wellengeschwindigkeit (SCPTU 1-24, 2-24, 6-24, 8-24, 15-24)
Vorbohren :	Nein

SONDIERGERÄT

Schubvorrichtung :	Hydraulische Schubeinheit mit einem maximalen Druck von 150 kN und einem Hub von 1 m
Aufbau der Schubvorrichtung :	Allein stehend
Reaktionsmasse :	Bondenanker (CPTU 4-24, 5-24, 10-24 bis 13-24 und SCPTU 15-24), Sondierlastwagen 18t (SCPTU 1-24, 2-24, 6-24, 8-24, CPTU 3-24, 6-24, 8-24, 14-24)
Schubgestänge :	36 mm A.D.
Schutzverrohrung :	Nicht zutreffend
Reibungsminderer :	Integriert in der Messsonde
Penetrometer :	<ul style="list-style-type: none"> – Typ S15CFIIP (CPTU 4-24, 5-24 und 10-24 bis 13-24) – Typ S10CFIIP (SCPTU 1-24, 2-24, 6-24, 8-24 und 15-24) – Typ DP15-CFPTxy (CPTU 3-24, 7-24, 9-24 und 14-24) – Unabhängige Messung des Spitzenwiderstands q_c, lokale Mantelreibung f_s, Porenwasserüberdruck u_2, Abweichung von der Vertikale in X- und Y-Richtung (i_x und i_y) – Spitzenquerschnitt 10 und 15 cm² – Oberfläche des Reibungsmantels 150 (alle SCPTU) und 225 cm² – Netto Flächenverhältnis a: 0.85 (alle SCPTU, CPTU 4-24, 5-24 und 10-24 bis 13-24), 0.75 (CPTU 3-24, 7-24, 9-24 und 14-24)

DATENAUFZEICHNUNG UND -BEARBEITUNG

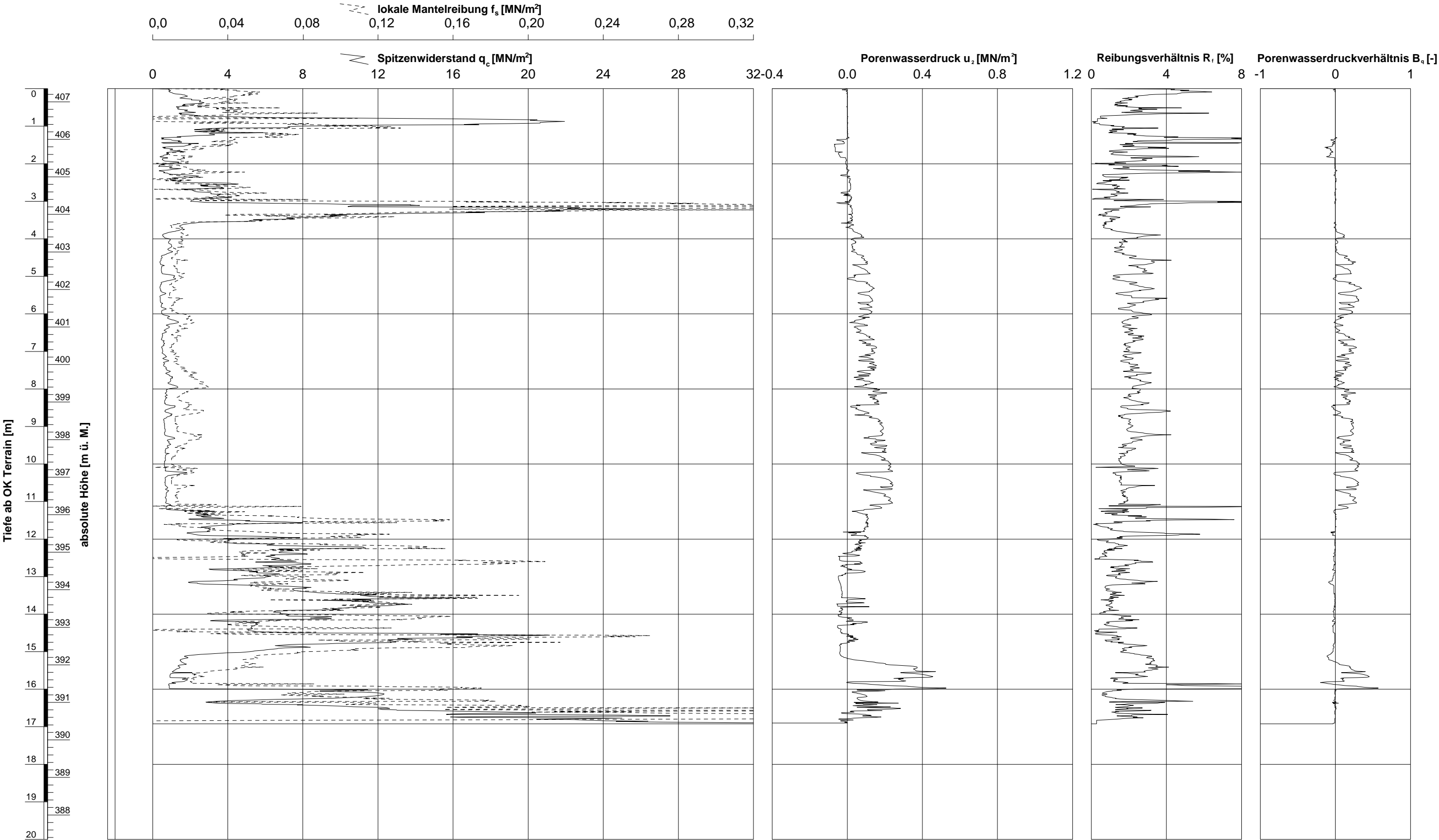
Datenaufzeichnung :	Digitale Aufzeichnung, 1 Messung pro cm Eindringung
Tiefenkorrektur :	Korrektur der Sondiertiefe für der Abweichung von der Vertikale

BEILAGE B
ELEKTRISCHE DRUCKSONDIERUNG - MESSDATEN

INHALT	Beilage
Elektrische Drucksondierung SCPTU 1-24	B1
Elektrische Drucksondierung SCPTU 2-24	B2 – B3
Elektrische Drucksondierung CPTU 3-24	B4
Elektrische Drucksondierung CPTU 4-24	B5
Elektrische Drucksondierung CPTU 5-24	B6
Elektrische Drucksondierung SCPTU 6-24	B7
Elektrische Drucksondierung CPTU 7-24	B8
Elektrische Drucksondierung SCPTU 8-24	B9
Elektrische Drucksondierung CPTU 9-24	B10
Elektrische Drucksondierung CPTU 10-24	B11
Elektrische Drucksondierung CPTU 11-24	B12
Elektrische Drucksondierung CPTU 12-24	B13
Elektrische Drucksondierung CPTU 13-24	B14
Elektrische Drucksondierung CPTU 14-24	B15
Elektrische Drucksondierung SCPTU 15-24	B16

gezeichnet: Maynelle Duran Datum: 25.06.2024 kontrolliert: Hendrik Tuenner

GeODin-System / %FILENAME\$ / 25.06.2024/18:14:17



Ausführungsdatum : 24.06.2024 Koordinaten : 2688095.50 m O
Ansatzpunkt : 407.35 m ü. M. 1234964.58 m N
Wasser : m ab OK Terrain Messsonde : S10CFIIP
Spitzenquerschnitt: 10 cm²

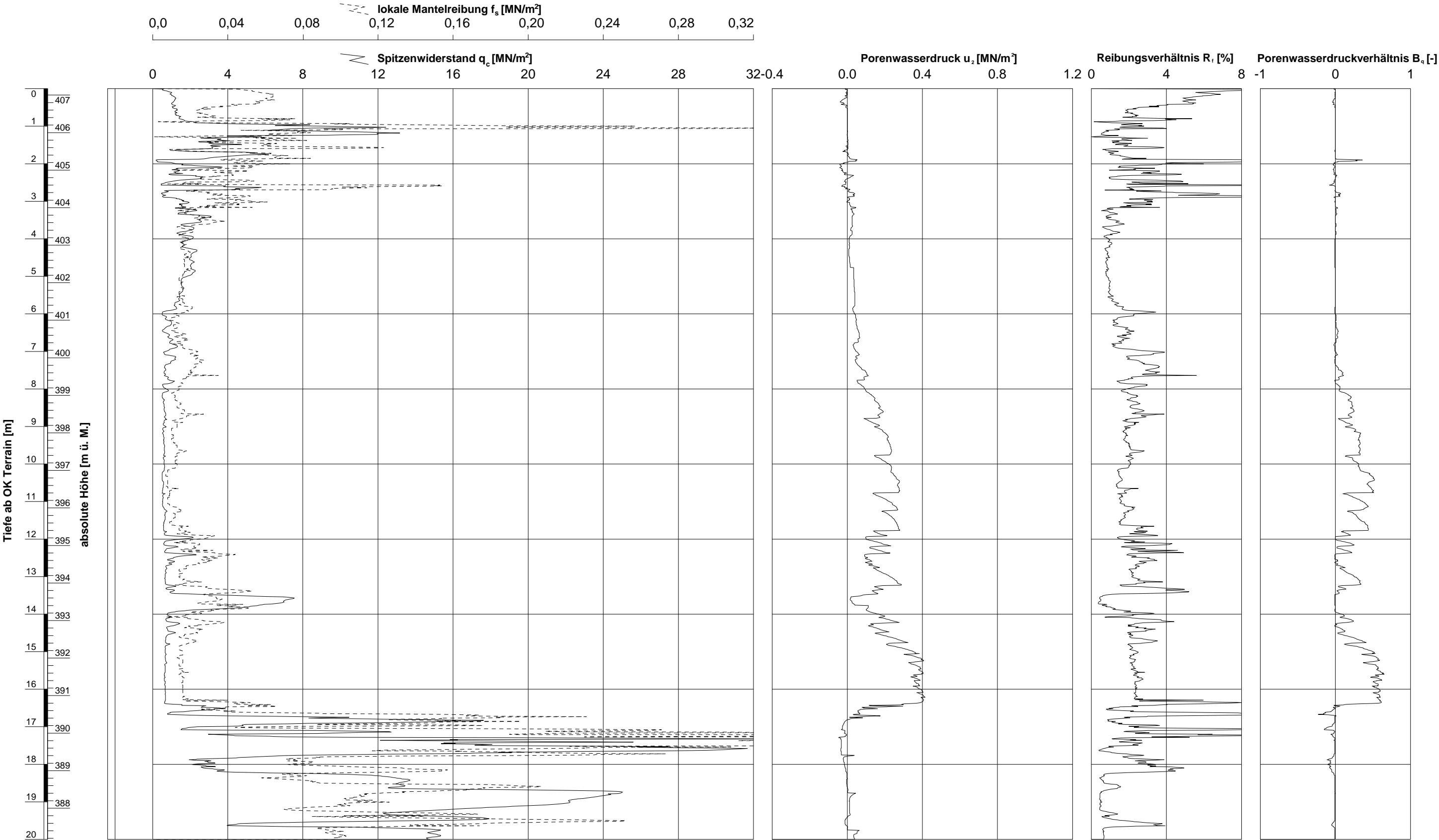
ELEKTRISCHE DRUCKSONDIERUNG
Messdaten

Geotechnische Untersuchungen, SBB Horgen - Au, 8810 Horgen

Sondierung: SCPTU 1-24

gezeichnet: Maynelle Duran Datum: 25.06.2024 kontrolliert: Hendrik Tuentner

GeODin-System / %FILENAME\$ / 25.06.2024/18:14:58



Ausführungsdatum : 24.06.2024 Koordinaten : 2688182.84 m O 1234946.49 m N Messsonde : S10CFIIP
Ansatzpunkt : 407.17 m ü. M. Spitzenquerschnitt: 10 cm²
Wasser : m ab OK Terrain

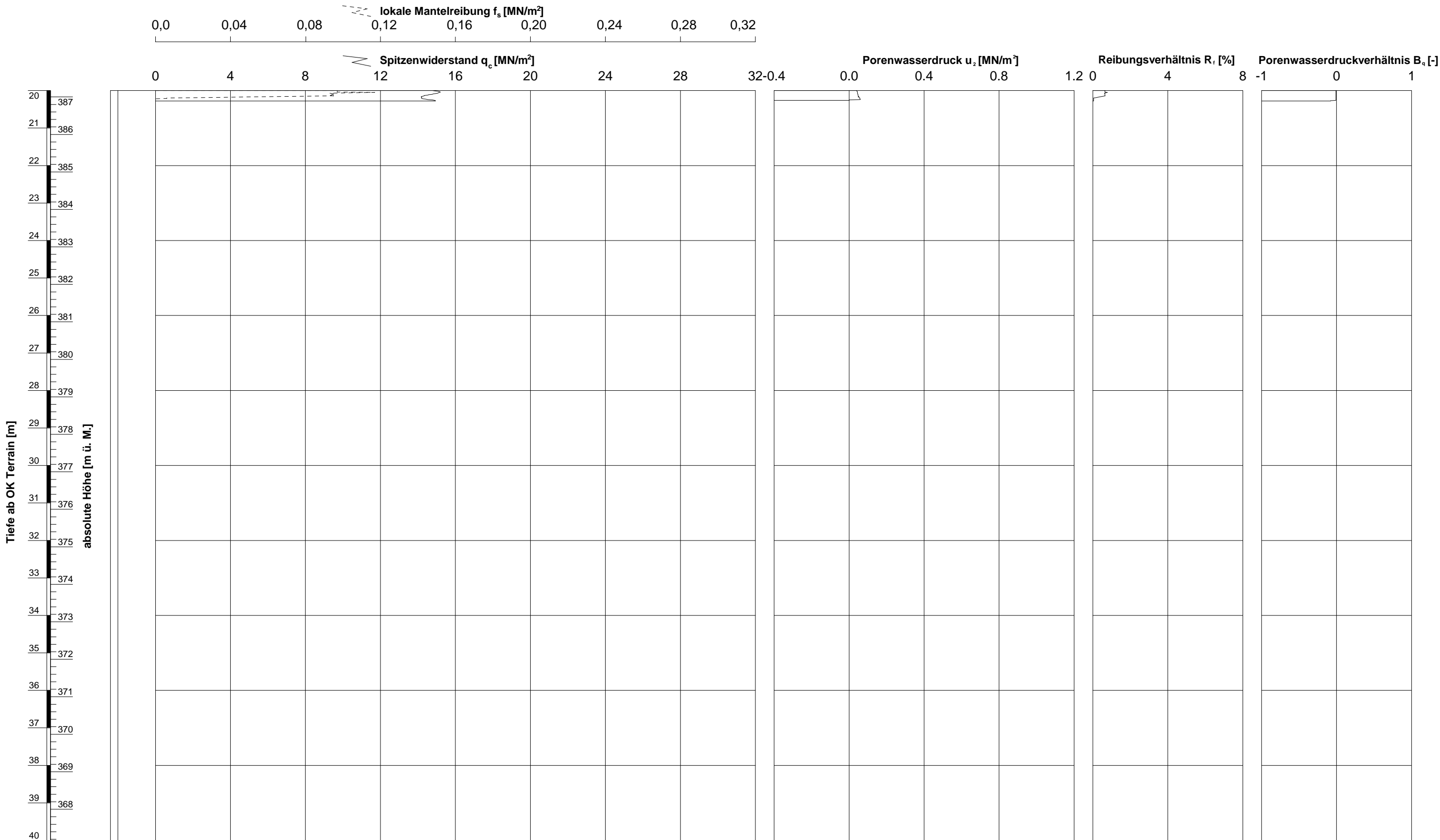
ELEKTRISCHE DRUCKSONDIERUNG
Messdaten

Geotechnische Untersuchungen, SBB Horgen - Au, 8810 Horgen

Sondierung: SCPTU 2-24

gezeichnet: Maynelle Duran Datum: 25.06.2024 kontrolliert: Hendrik Tuenier

GeODir-System / %FILENAME\$ / 25.06.2024/18:14:58



Ausführungsdatum : 24.06.2024 Koordinaten : 2688182.84 m O
Ansatzpunkt : 407.17 m ü. M. 1234946.49 m N
Wasser : m ab OK Terrain

Messsonde : S10CFIIP
Spitzenquerschnitt: 10 cm²

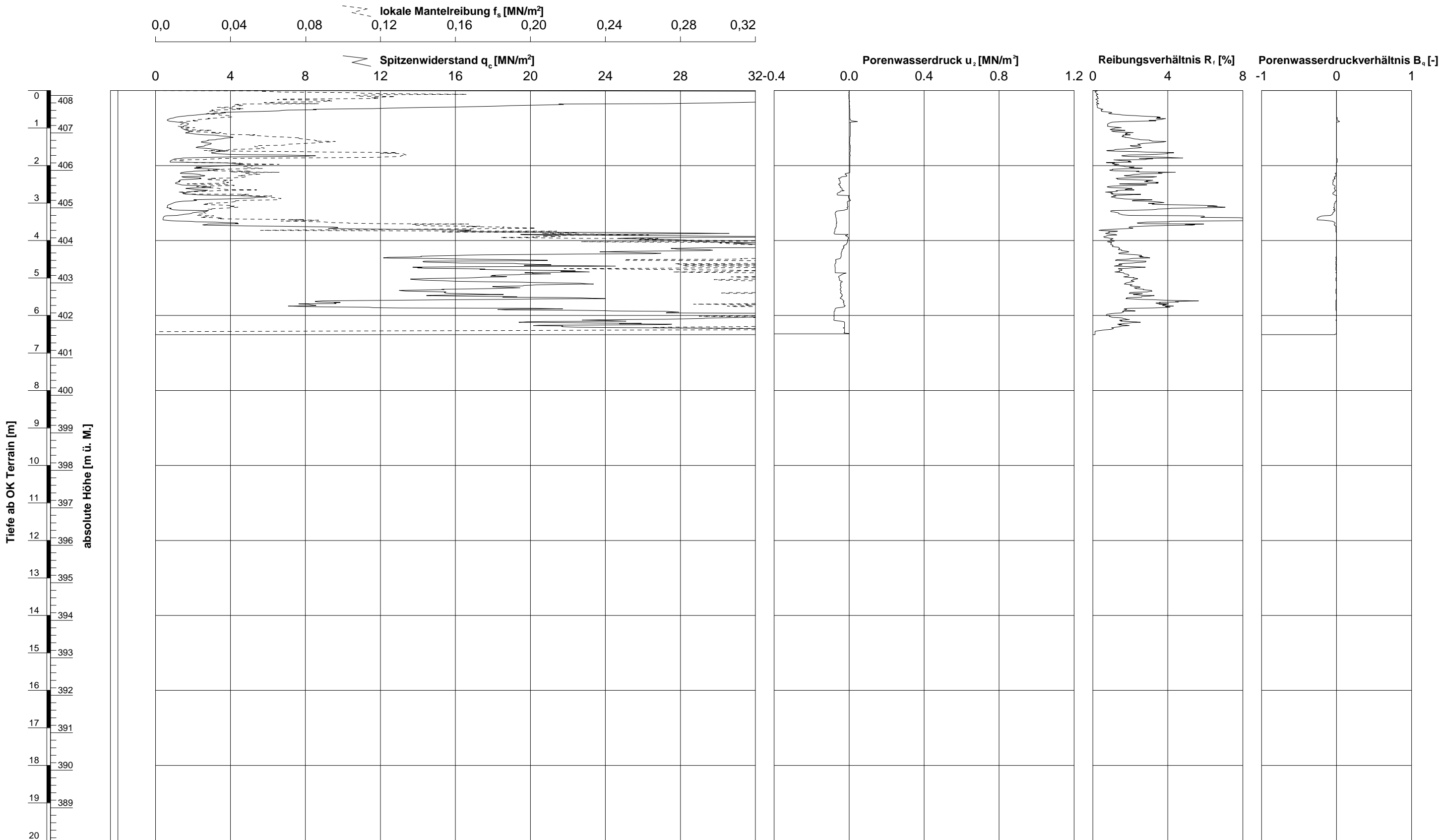
ELEKTRISCHE DRUCKSONDIERUNG
Messdaten

Geotechnische Untersuchungen, SBB Horgen - Au, 8810 Horgen

Sondierung: SCPTU 2-24

gezeichnet: Maynelle Duran Datum: 25.06.2024 kontrolliert: Hendrik Tüenter

GeODir-System / %FILENAME\$ / 25.06.2024/18:15:25



Ausführungsdatum : 27.06.2024 Koordinaten : 2688324.48 m O 1234855.61 m N Messsonde : DP15-CFPTxy
Ansatzpunkt : 408.13 m ü. M. Spitzenquerschnitt: 15 cm²
Wasser : m ab OK Terrain

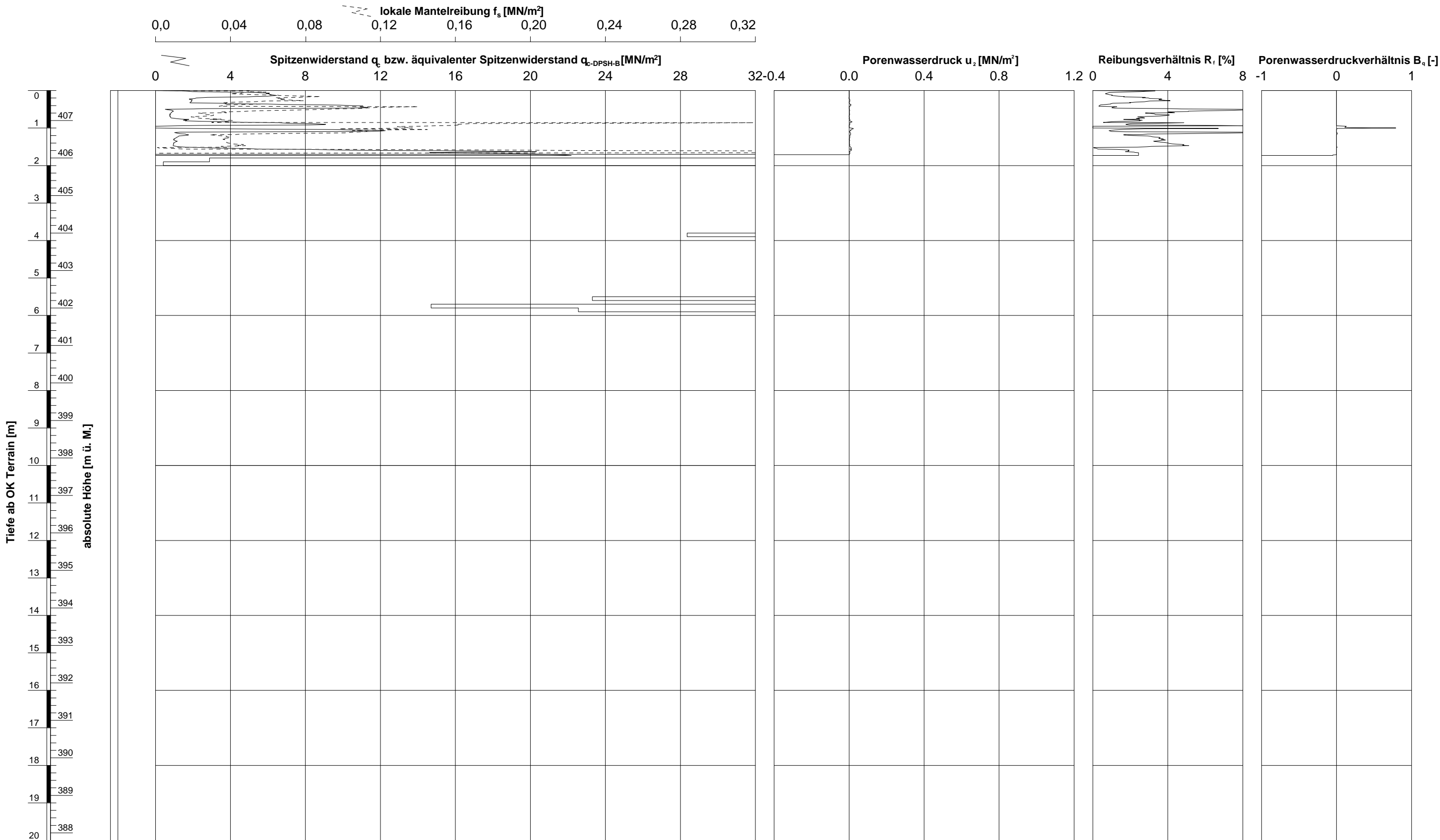
ELEKTRISCHE DRUCKSONDIERUNG
Messdaten

Geotechnische Untersuchungen, SBB Horgen - Au, 8810 Horgen

Sondierung: CPTU 3-24

gezeichnet: Maynelle Duran Datum: 25.06.2024 kontrolliert: Hendrik Tüenter

GeODir-System / %FILENAME\$ / 25.06.2024/18:19:12



Ausführungsdatum : 24.06.2024 Koordinaten : 2688417.52 m O
Ansatzpunkt : 407.80 m ü. M. 1234775.90 m N
Wasser : m ab OK Terrain

Messsonde : S15CFIIP
Spitzenquerschnitt: 15 cm²

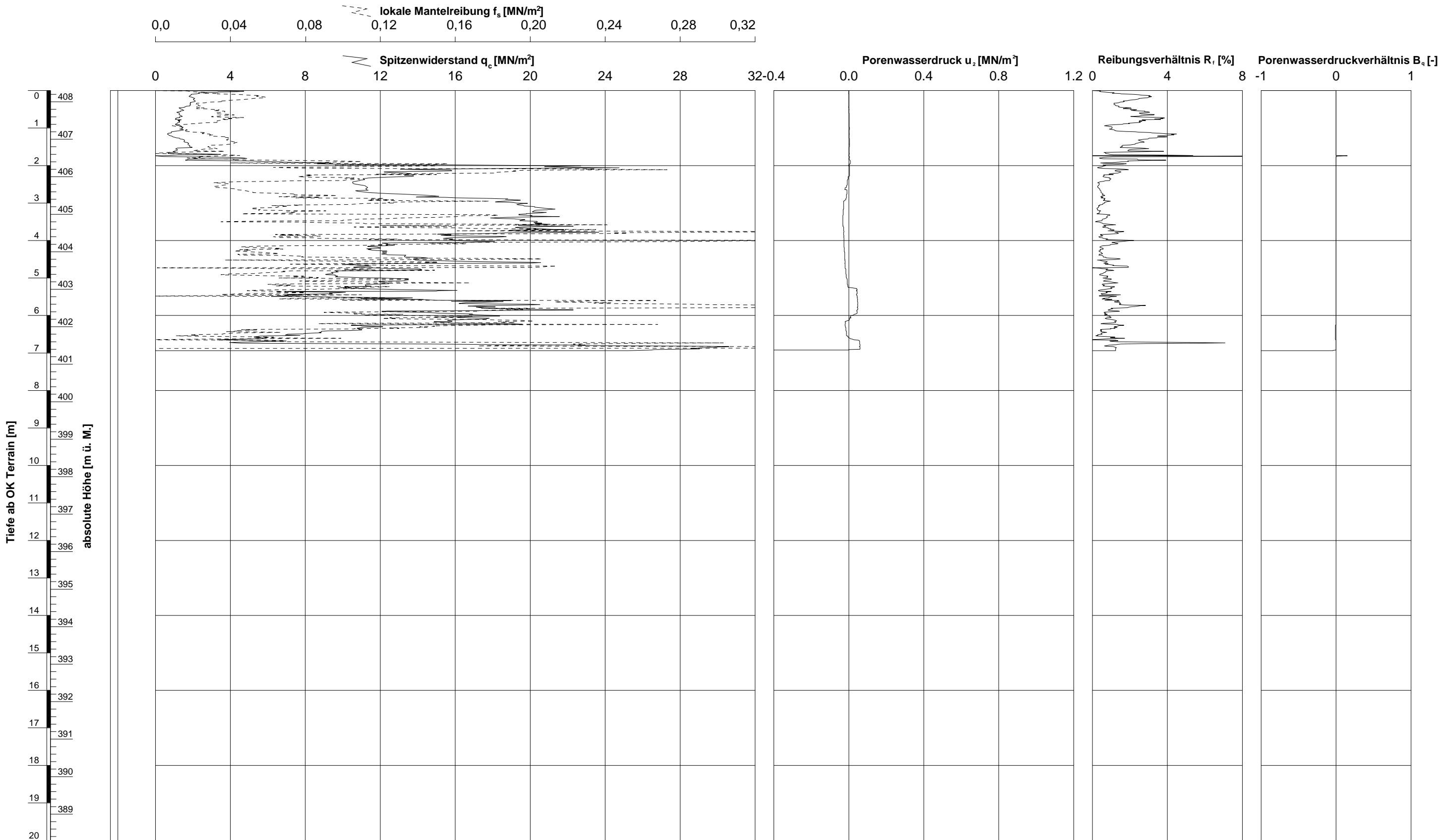
ELEKTRISCHE DRUCKSONDIERUNG
Messdaten

Geotechnische Untersuchungen, SBB Horgen - Au, 8810 Horgen

Sondierung: CPTU - DPSH 4-24

gezeichnet: Maynelle Duran Datum: 25.06.2024 kontrolliert: Hendrik Tüenter

GeODin-System / %FILENAME\$ / 25.06.2024/18:15:51



Ausführungsdatum : 24.06.2024 Koordinaten : 2688482.01 m O
Ansatzpunkt : 408.30 m ü. M. 1234732.76 m N
Wasser : m ab OK Terrain Messsonde : S15CFIIP
Spitzenquerschnitt: 15 cm²

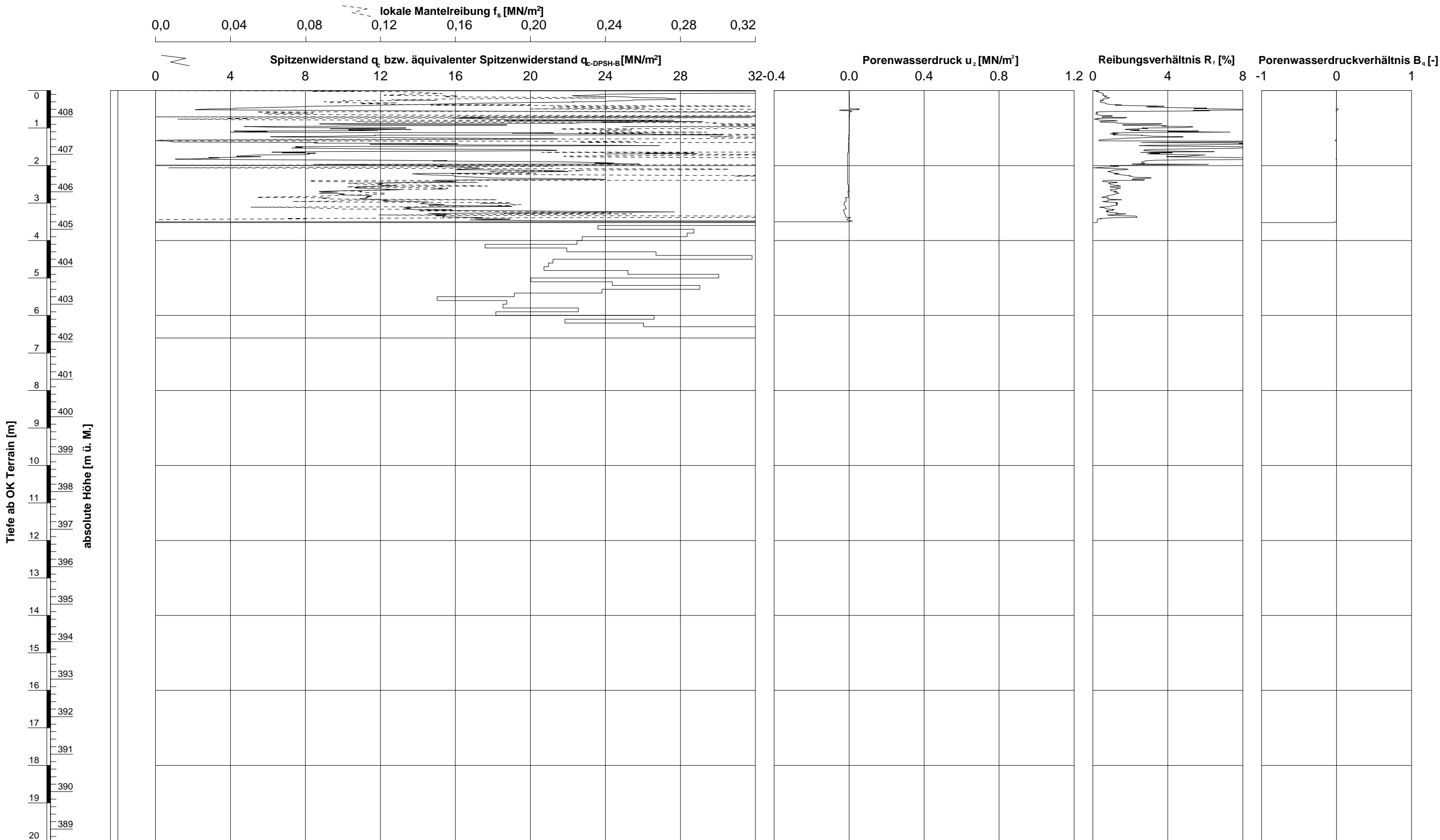
ELEKTRISCHE DRUCKSONDIERUNG
Messdaten

Geotechnische Untersuchungen, SBB Horgen - Au, 8810 Horgen

Sondierung: CPTU 5-24

gezeichnet: Maynelle Duran Datum: 25.06.2024 kontrolliert: Hendrik Tüenter

GeODin-System / %FILENAME\$ / 25.06.2024/18:19:42



Ausführungsdatum : 25.06.2024 Koordinaten : 2688619.88 m O 1234664.18 m N
Ansatzpunkt : 408.70 m ü. M.
Wasser : m ab OK Terrain

Messsonde : S10CFIIP
Spitzenquerschnitt: 10 cm²

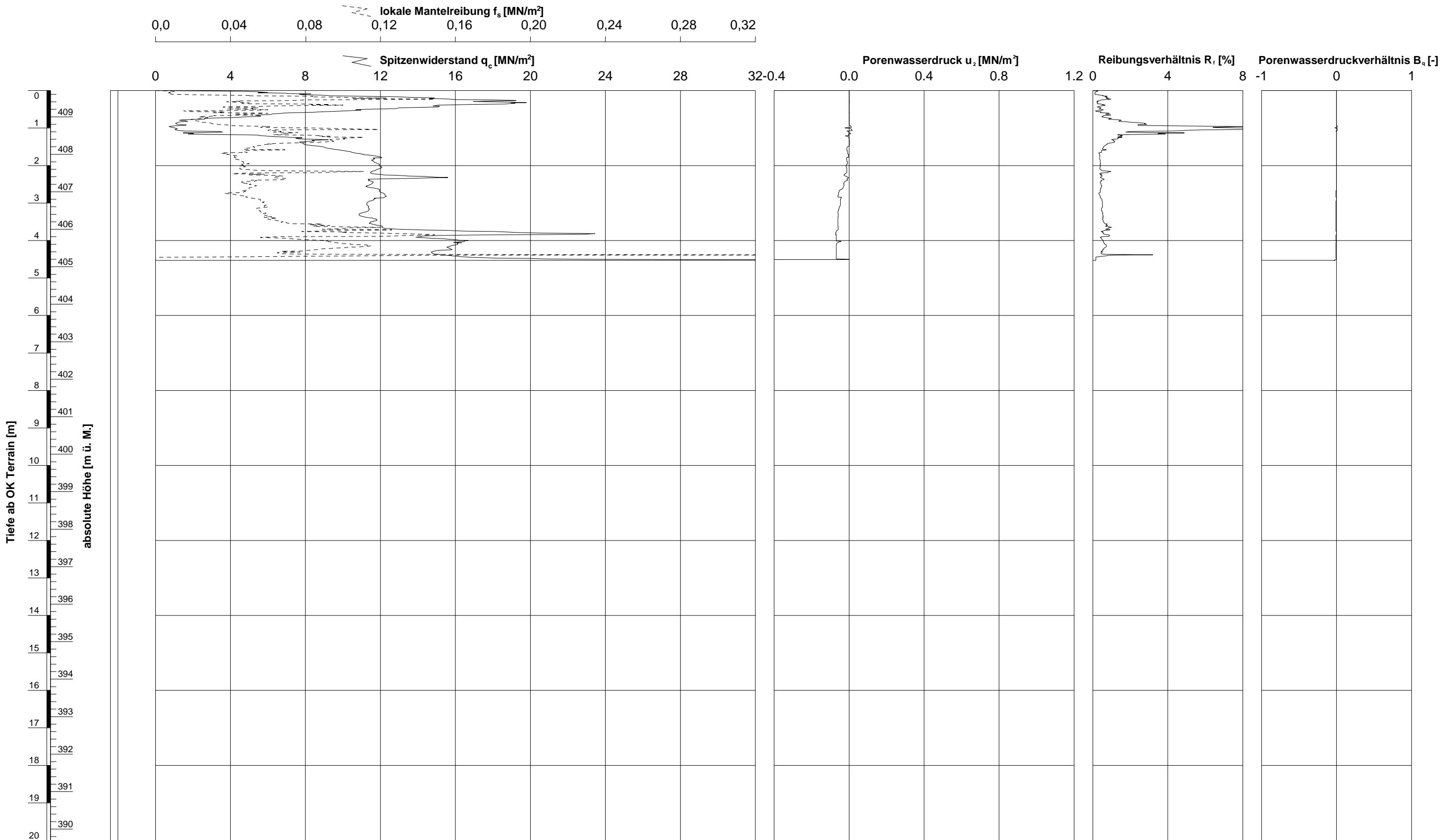
ELEKTRISCHE DRUCKSONDIERUNG
Messdaten

Geotechnische Untersuchungen, SBB Horgen - Au, 8810 Horgen

Sondierung: SCPTU - DPSH 6-24

gezeichnet: Maynelle Duran Datum: 25.06.2024 kontrolliert: Hendrik Tuenner

GeODin-System / %FILENAME\$ / 25.06.2024/18:16:14



Ausführungsdatum : 26.06.2024 Koordinaten : 2688692.09 m O 1234589.56 m N Messsonde : DP15-CFTPxy
Ansatzpunkt : 409.70 m ü. M. Spitzenquerschnitt: 15 cm²
Wasser : m ab OK Terrain

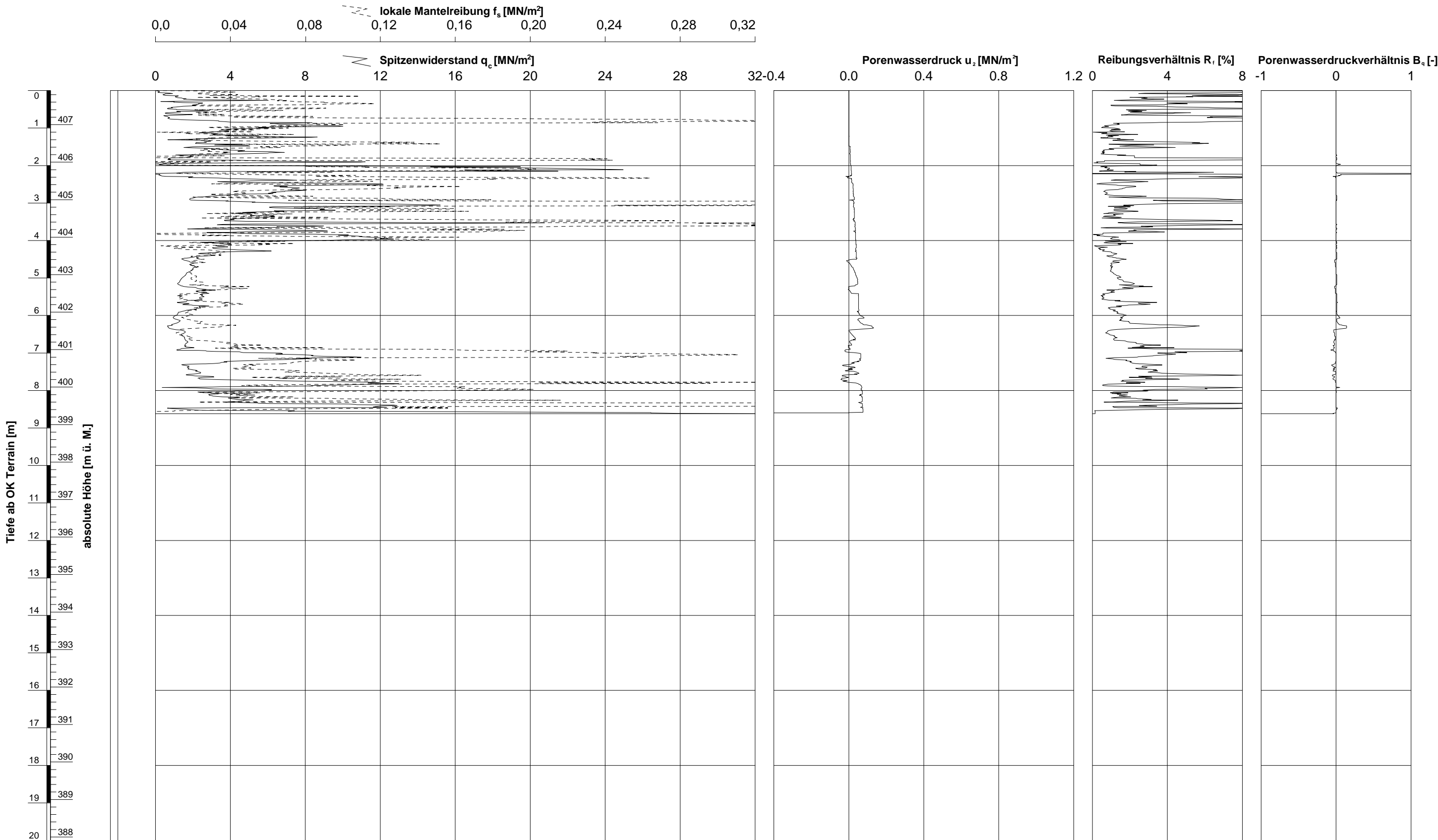
ELEKTRISCHE DRUCKSONDIERUNG
Messdaten

Geotechnische Untersuchungen, SBB Horgen - Au, 8810 Horgen

Sondierung: CPTU 7-24

gezeichnet: Maynelle Duran Datum: 25.06.2024 kontrolliert: Hendrik Tuerter

GeODir-System / %FILENAME\$ / 25.06.2024/18:16:35



Ausführungsdatum : 25.06.2024 Koordinaten : 2689095.16 m O 1234506.72 m N Messsonde : S10CFIIP
Ansatzpunkt : 407.91 m ü. M. Spitzenquerschnitt: 10 cm²
Wasser : m ab OK Terrain

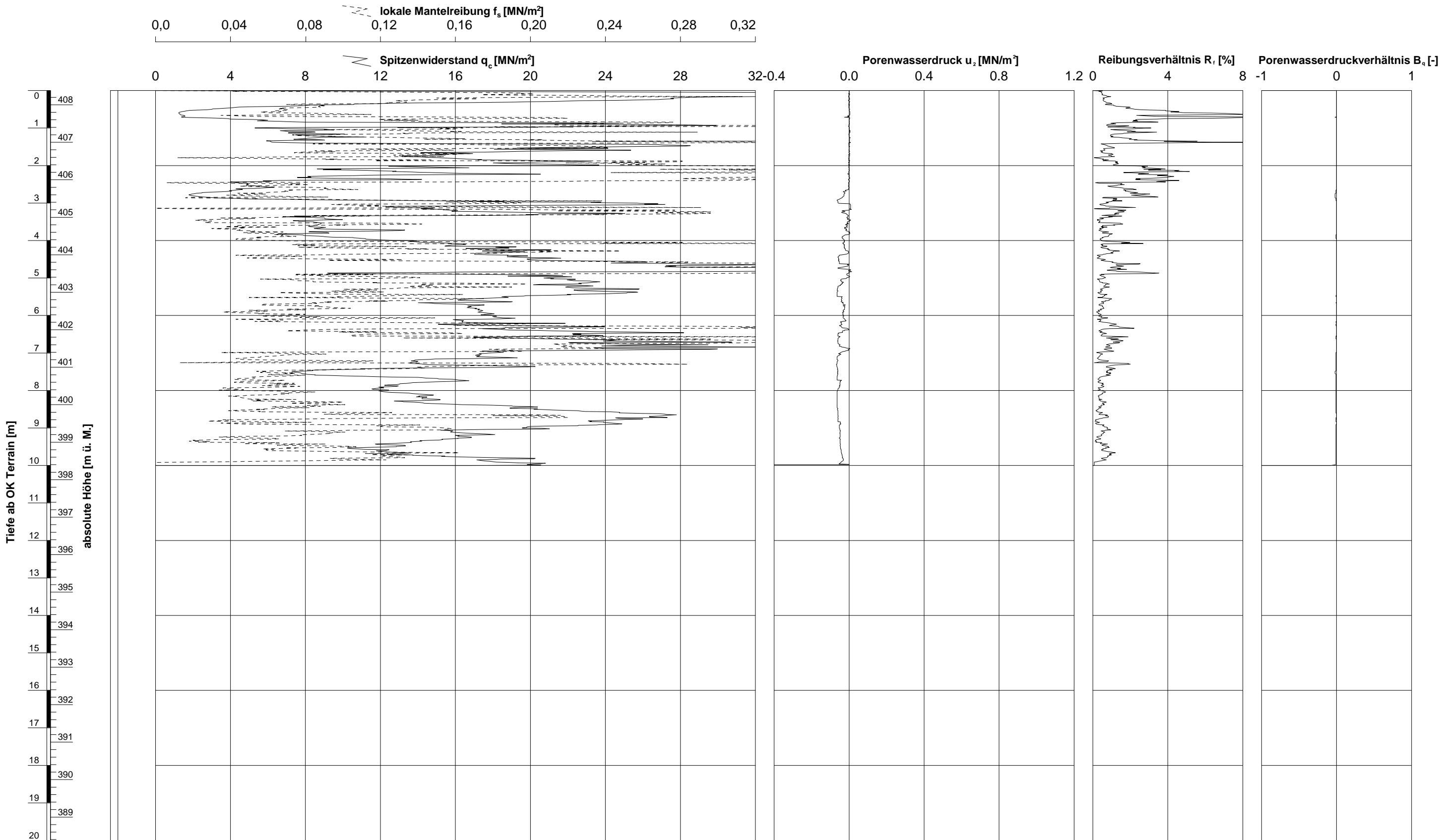
ELEKTRISCHE DRUCKSONDIERUNG
Messdaten

Geotechnische Untersuchungen, SBB Horgen - Au, 8810 Horgen

Sondierung: SCPTU 8-24

gezeichnet: Maynelle Duran Datum: 25.06.2024 kontrolliert: Hendrik Tuenner

GeODin-System / %FILENAME\$ / 25.06.2024/18:17:19



Ausführungsdatum : 27.06.2024 Koordinaten : 2689251.24 m O 1234431.78 m N Messsonde : DP15-CFTPxy
Ansatzpunkt : 408.38 m ü. M. Spitzenquerschnitt: 15 cm²
Wasser : m ab OK Terrain

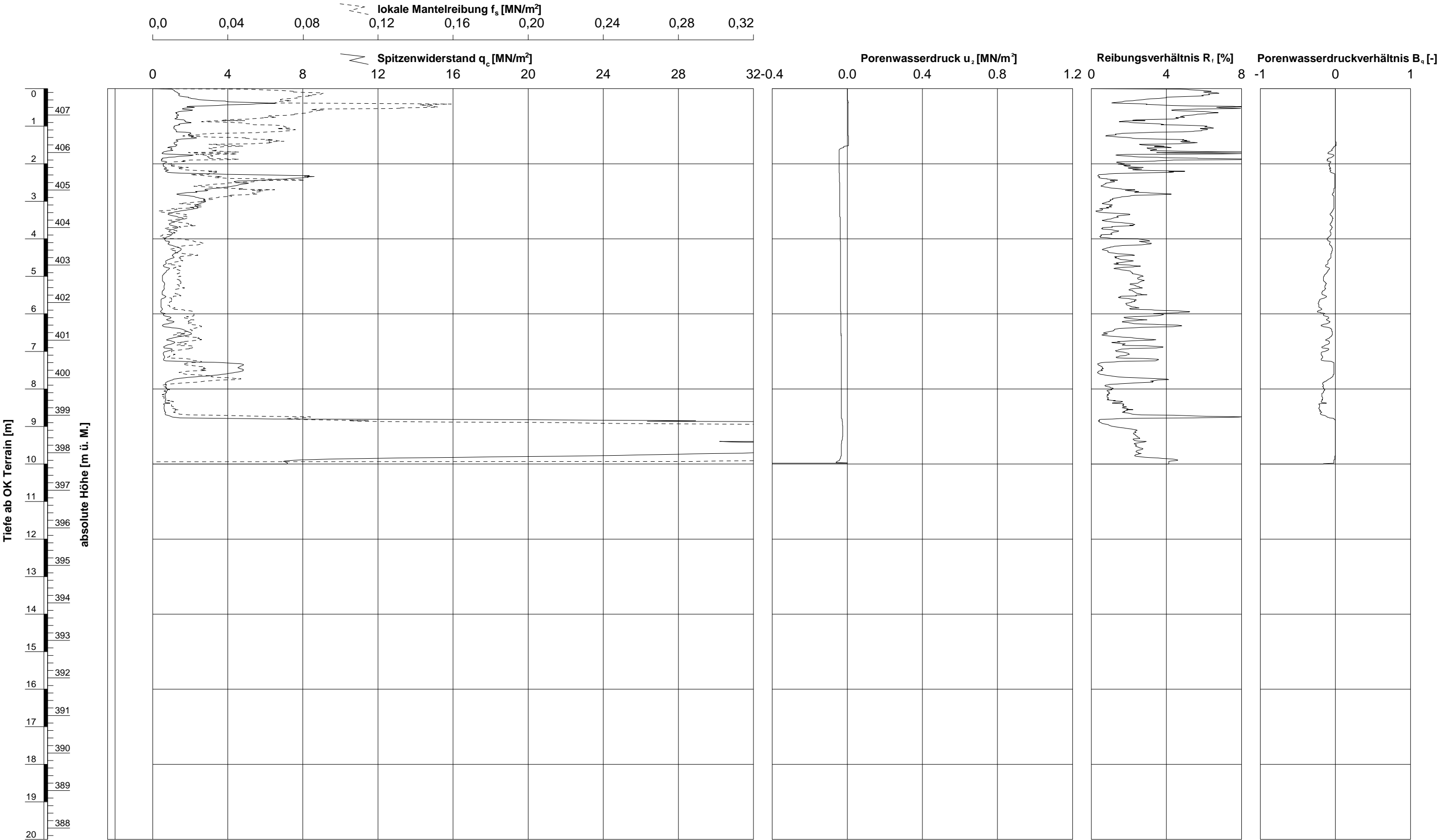
ELEKTRISCHE DRUCKSONDIERUNG
Messdaten

Geotechnische Untersuchungen, SBB Horgen - Au, 8810 Horgen

Sondierung: CPTU 9-24

gezeichnet: Maynelle Duran Datum: 25.06.2024 kontrolliert: Hendrik Tuenner

GeODir-System / %FILENAME\$ / 25.06.2024/18:17:35



Ausführungsdatum : 25.06.2024 Koordinaten : 2689395.32 m O
Ansatzpunkt : 407.70 m ü. M. 1234323.00 m N
Wasser : m ab OK Terrain Messsonde : S15CFIIP
Spitzenquerschnitt: 15 cm²

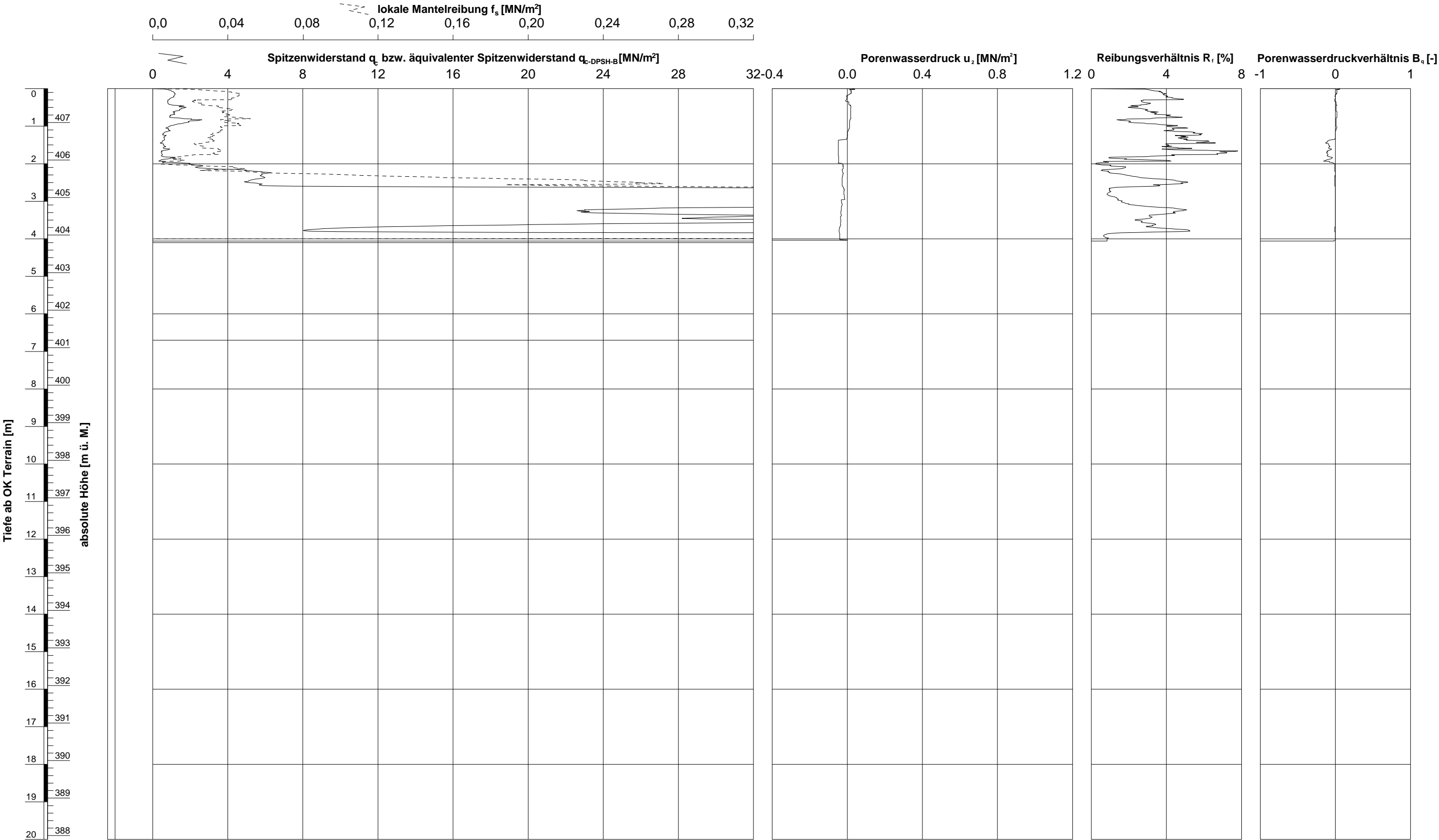
ELEKTRISCHE DRUCKSONDIERUNG
Messdaten

Geotechnische Untersuchungen, SBB Horgen - Au, 8810 Horgen

Sondierung: CPTU 10-24

gezeichnet: Maynelle Duran Datum: 25.06.2024 kontrolliert: Hendrik Tuerter

GeODin-System / %FILENAME\$ / 01.07.2024/16:29:13



Ausführungsdatum : 27.06.2024 Koordinaten : 2689544.64 m O
Ansatzpunkt : 407.90 m ü. M. 1234199.63 m N
Wasser : m ab OK Terrain

Messsonde : S15CFIIP
Spitzenquerschnitt: 15 cm²

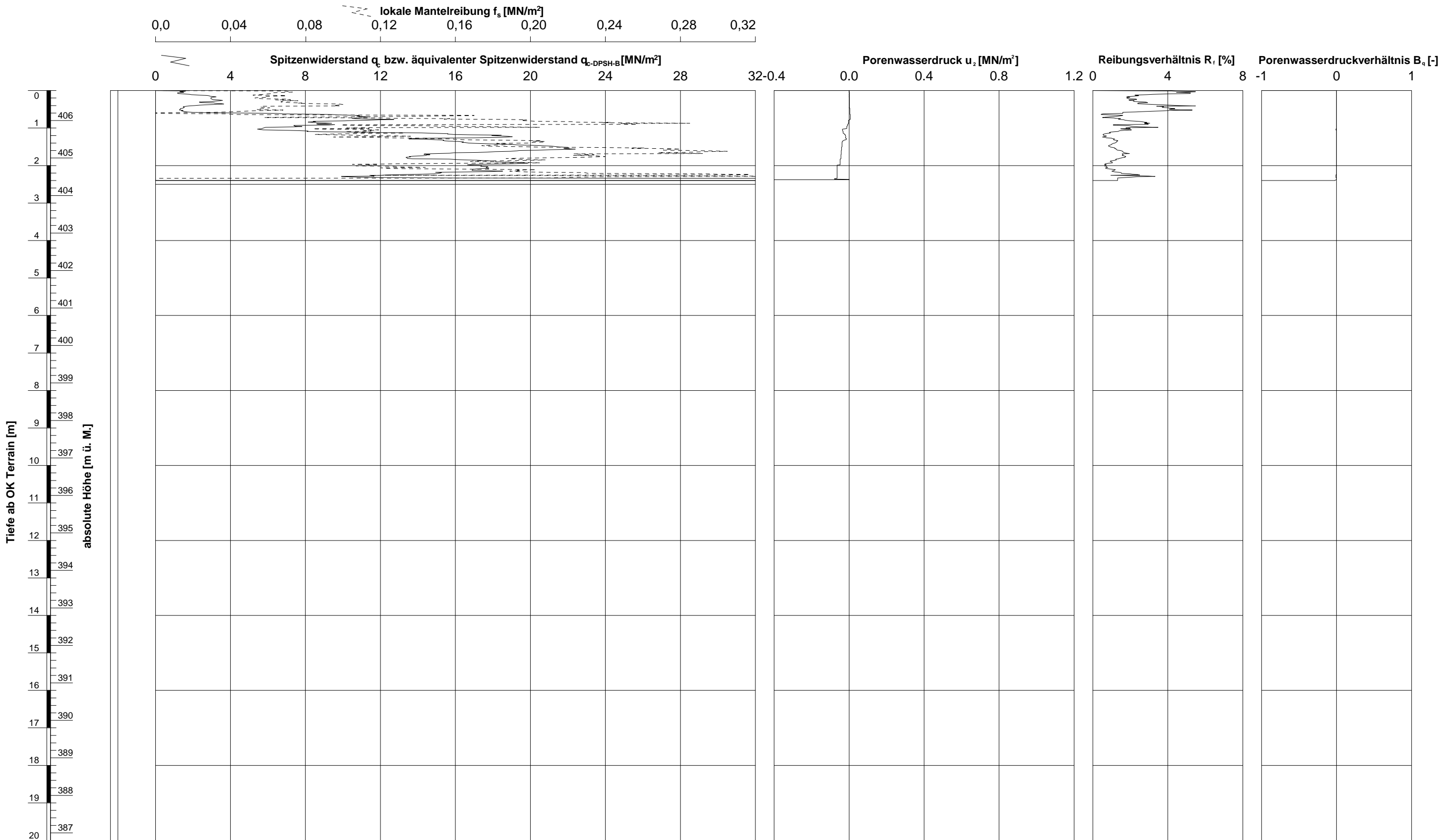
ELEKTRISCHE DRUCKSONDIERUNG
Messdaten

Sondierung: CPTU - DPSH 11-24

Geotechnische Untersuchungen, SBB Horgen - Au, 8810 Horgen

gezeichnet: Maynelle Duran Datum: 25.06.2024 kontrolliert: Hendrik Tüenter

GeODin-System / %FILENAME\$ / 25.06.2024/18:20:03



Ausführungsdatum : 25.06.2024 Koordinaten : 2689659.06 m O
Ansatzpunkt : 406.80 m ü. M. 1234172.30 m N
Wasser : m ab OK Terrain

Messsonde : S15CFIIP
Spitzenquerschnitt: 15 cm²

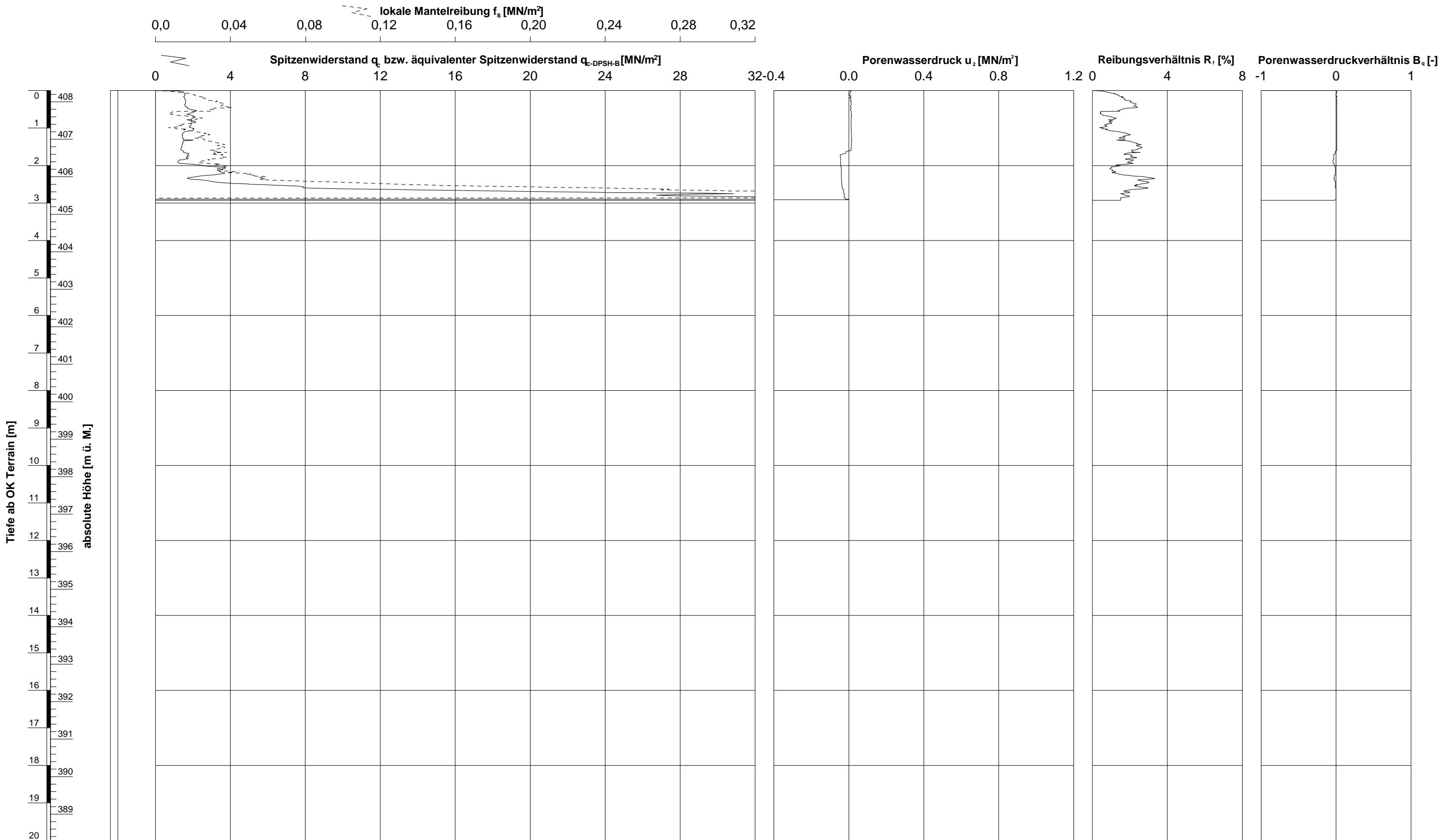
ELEKTRISCHE DRUCKSONDIERUNG
Messdaten

Geotechnische Untersuchungen, SBB Horgen - Au, 8810 Horgen

Sondierung: CPTU - DPSH 12-24

gezeichnet: Maynelle Duran Datum: 25.06.2024 kontrolliert: Hendrik Tüenter

GeODin-System / %FILENAME\$ / 01.07.2024/16:34:11



Ausführungsdatum : 27.06.2024 Koordinaten : 2689727.59 m O
Ansatzpunkt : 408.30 m ü. M. 1234128.63 m N
Wasser : m ab OK Terrain

Messsonde : S15CFIIP
Spitzenquerschnitt: 15 cm²

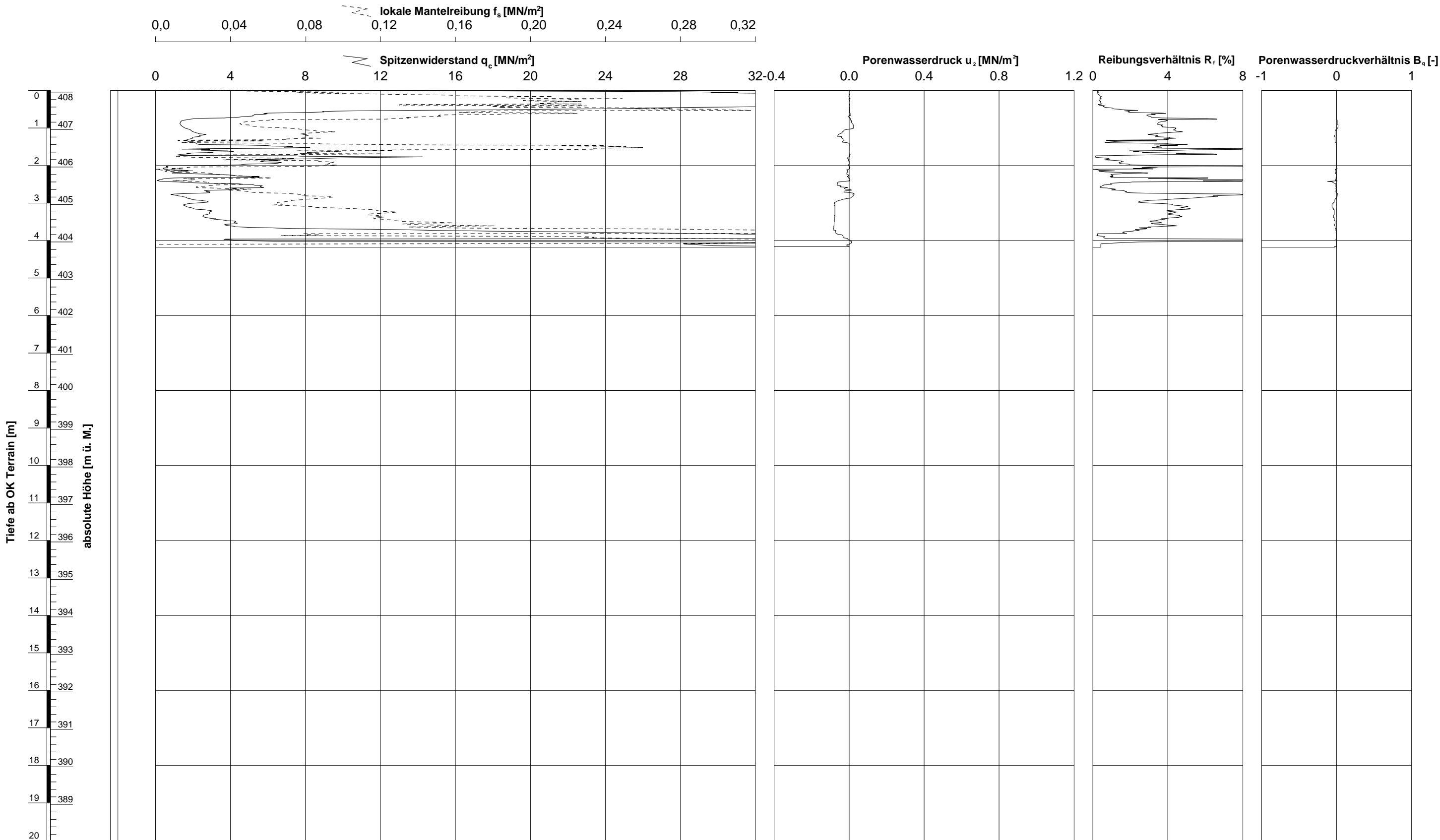
ELEKTRISCHE DRUCKSONDIERUNG
Messdaten

Sondierung: CPTU - DPSH 13-24

Geotechnische Untersuchungen, SBB Horgen - Au, 8810 Horgen

gezeichnet: Maynelle Duran Datum: 25.06.2024 kontrolliert: Hendrik Tuerter

GeODir-System / %FILENAME\$ / 25.06.2024/18:18:08



Ausführungsdatum : 27.06.2024 Koordinaten : 2689874.64 m O
Ansatzpunkt : 408.04 m ü. M. 1234082.02 m N
Wasser : m ab OK Terrain

Messsonde : DP15-CFTPxy
Spitzenquerschnitt: 15 cm²

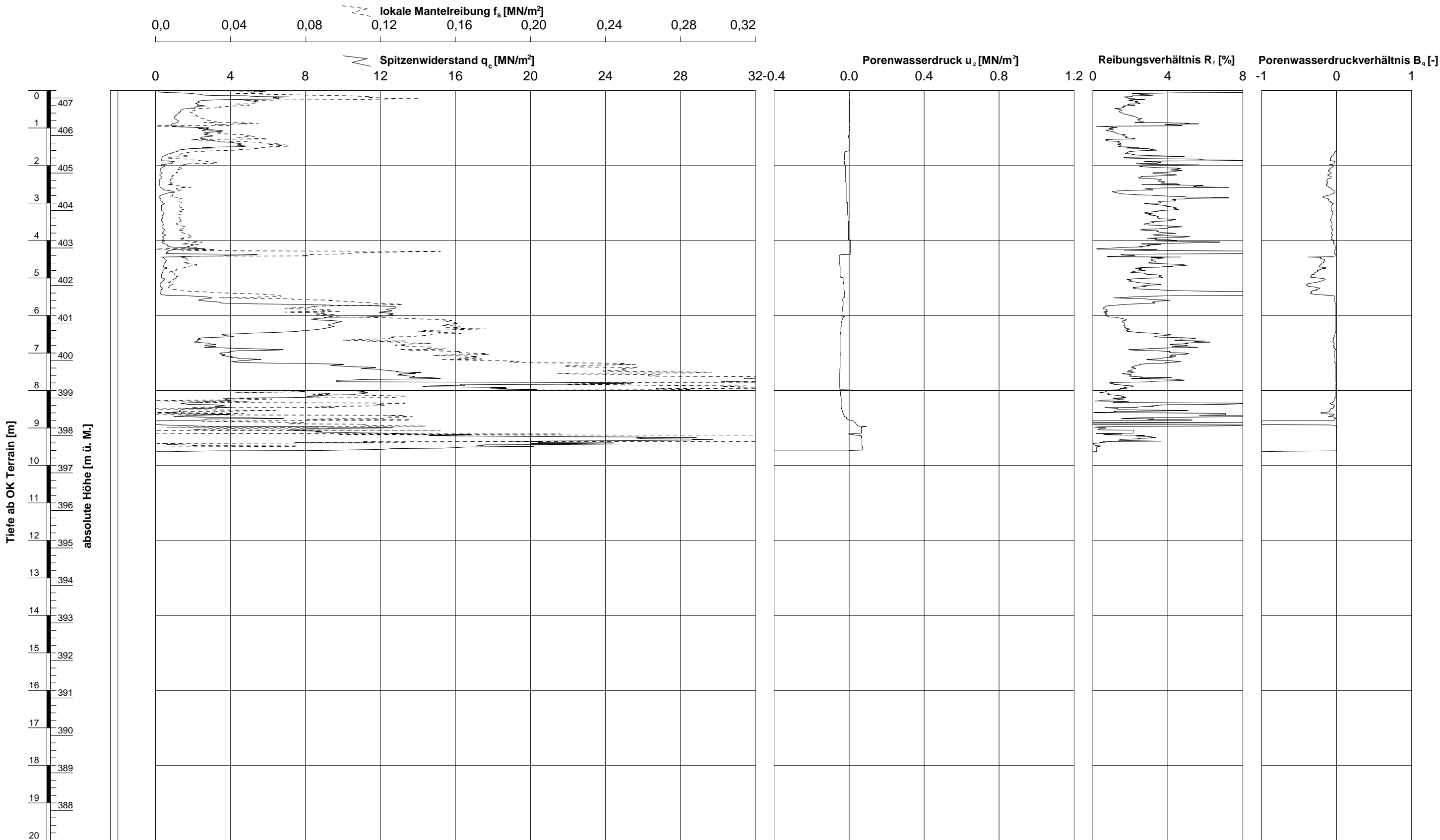
ELEKTRISCHE DRUCKSONDIERUNG
Messdaten

Geotechnische Untersuchungen, SBB Horgen - Au, 8810 Horgen

Sondierung: CPTU 14-24

gezeichnet: Maynelle Duran Datum: 25.06.2024 kontrolliert: Hendrik Tuentner

GeODin-System / %FILENAME\$ / 25.06.2024/18:18:39



Ausführungsdatum : 26.06.2024 Koordinaten : 2689983.79 m O
Ansatzpunkt : 407.20 m ü. M. 1234076.99 m N
Wasser : m ab OK Terrain Messsonde : S10CFIIP
Spitzenquerschnitt: 10 cm²

ELEKTRISCHE DRUCKSONDIERUNG
Messdaten

Geotechnische Untersuchungen, SBB Horgen - Au, 8810 Horgen

Sondierung: SCPTU 15-24

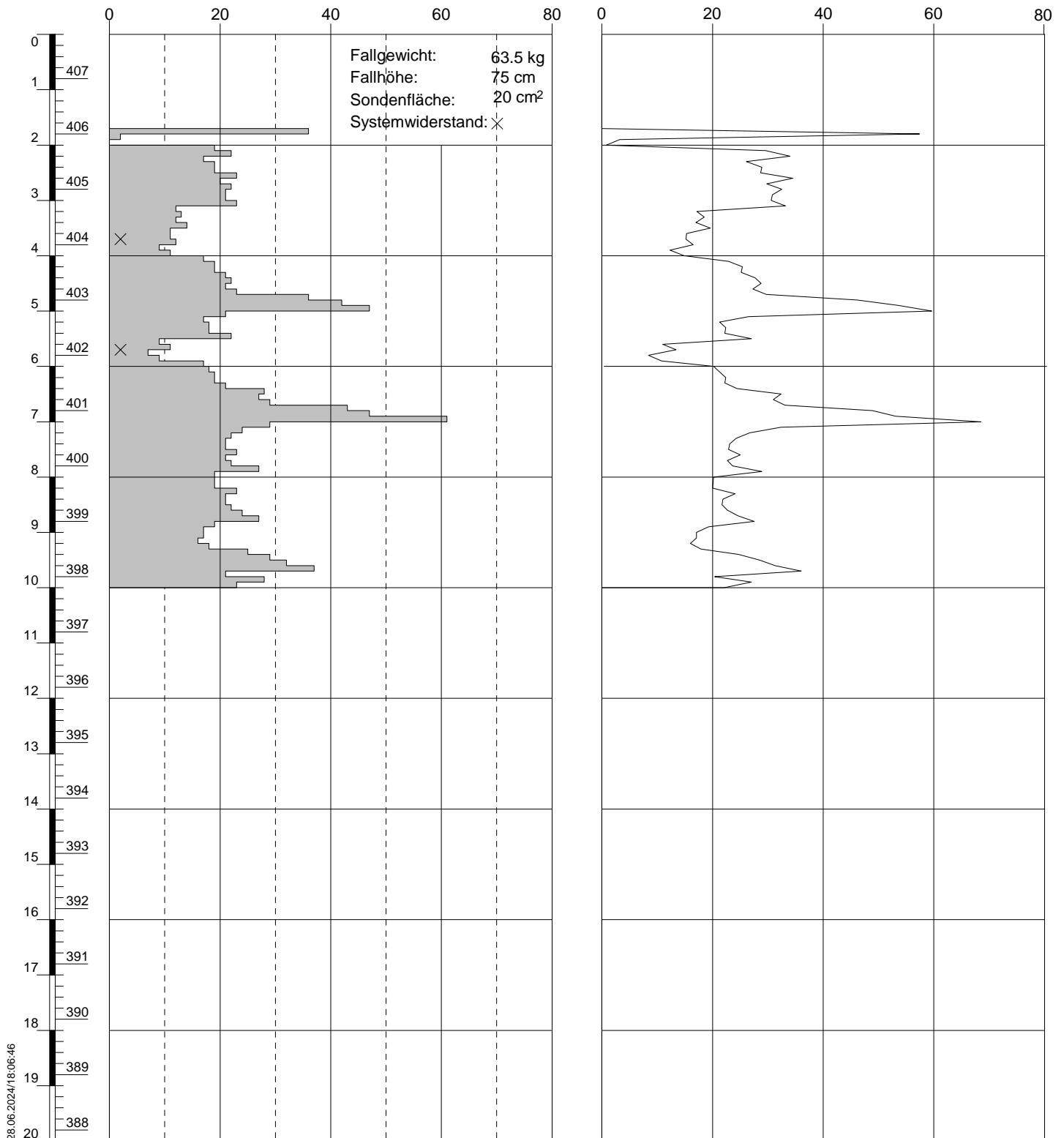
BEILAGE C
RAMMSONDIERUNG – MESSDATEN

INHALT	Beilage
Rammsondierung DPSH 4-24	C1
Rammsondierung DPSH 6-24	C2
Rammsondierung DPSH 11-24	C3
Rammsondierung DPSH 12-24	C4
Rammsondierung DPSH 13-24	C5

Schlagzahl pro 10 cm Eindringung [-]

dynamischer Spitzenwiderstand q_d [MN/m²]

gezeichnet: Marynelle Duran Datum: 25.06.2024 kontrolliert: Hendrik Tuentzer



Ausführungsdatum: 24.06.2024
Ansatzpunkt: 407.80 m ü.M.

Koordinaten: 2688418 m O
1234776 m N

Sondierung: DPSH 4-24

RAMMPROTOKOLL

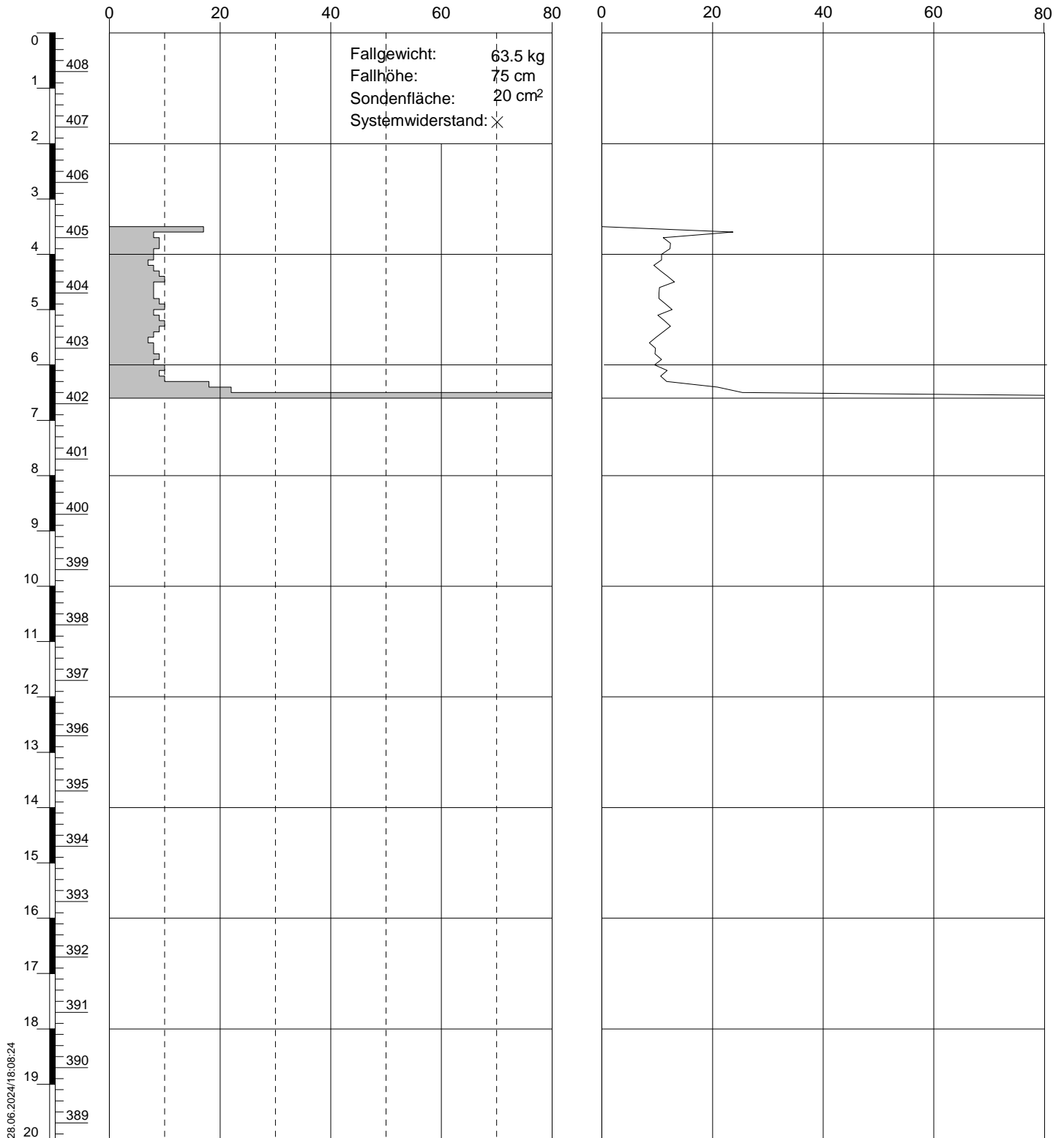
Rammsondierung gemäss EN 22476-2:2005

Geotechnische Untersuchungen, SBB Horgen - Au, 8810 Horgen

Schlagzahl pro 10 cm Eindringung [-]

dynamischer Spitzenwiderstand q_d [MN/m²]

gezeichnet: Marynelle Duran Datum: 25.06.2024 kontrolliert: Hendrik Tuentler



Ausführungsdatum: 25.06.2024
Ansatzpunkt: 408.70 m ü.M.

Koordinaten: 2688620 m O
1234664 m N

Sondierung: DPSH 6-24

RAMMPROTOKOLL

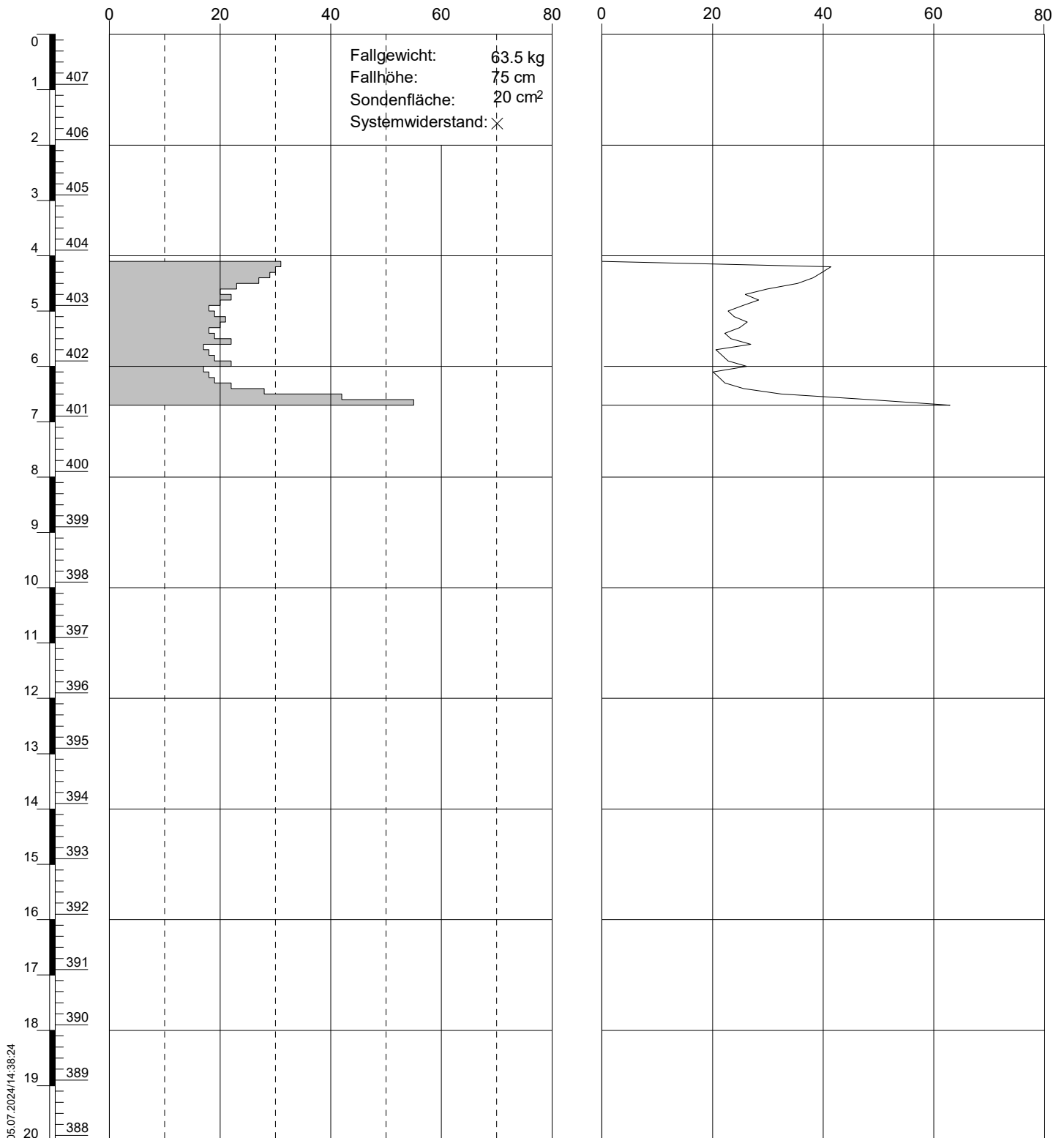
Rammsondierung gemäss EN 22476-2:2005

Geotechnische Untersuchungen, SBB Horgen - Au, 8810 Horgen

Schlagzahl pro 10 cm Eindringung [-]

dynamischer Spitzenwiderstand q_d [MN/m²]

gezeichnet: Marynelle Duran Datum: 25.06.2024 kontrolliert: Hendrik Tuentler



Ausführungsdatum: 27.06.2024
Ansatzpunkt: 407.90 m ü.M.

Koordinaten: 2689545 m O
1234200 m N

Sondierung: DPSH 11-24

RAMMPROTOKOLL

Rammsondierung gemäss EN 22476-2:2005

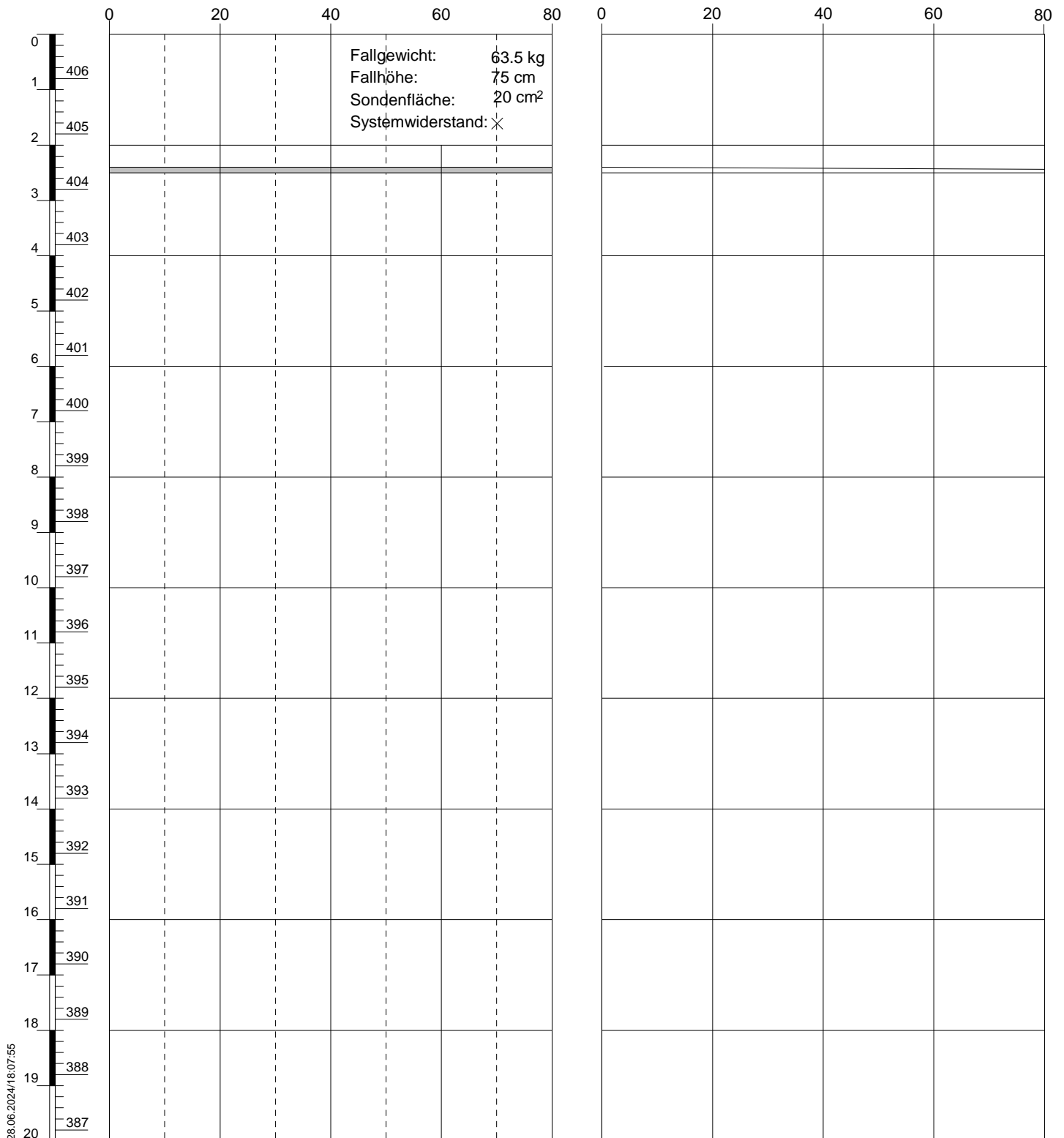
Geotechnische Untersuchungen, SBB Horgen - Au, 8810 Horgen

GeODIn-System / %FILENAMES / 05.07.2024/14:38:24

Schlagzahl pro 10 cm Eindringung [-]

dynamischer Spitzenwiderstand q_d [MN/m²]

gezeichnet: Marynelle Duran Datum: 25.06.2024 kontrolliert: Hendrik Tuentler



Ausführungsdatum: 25.06.2024
 Ansatzpunkt: 406.80 m ü.M.

Koordinaten: 2689659 m O
 1234172 m N

Sondierung: DPSH 12-24

RAMMPROTOKOLL

Rammsondierung gemäss EN 22476-2:2005

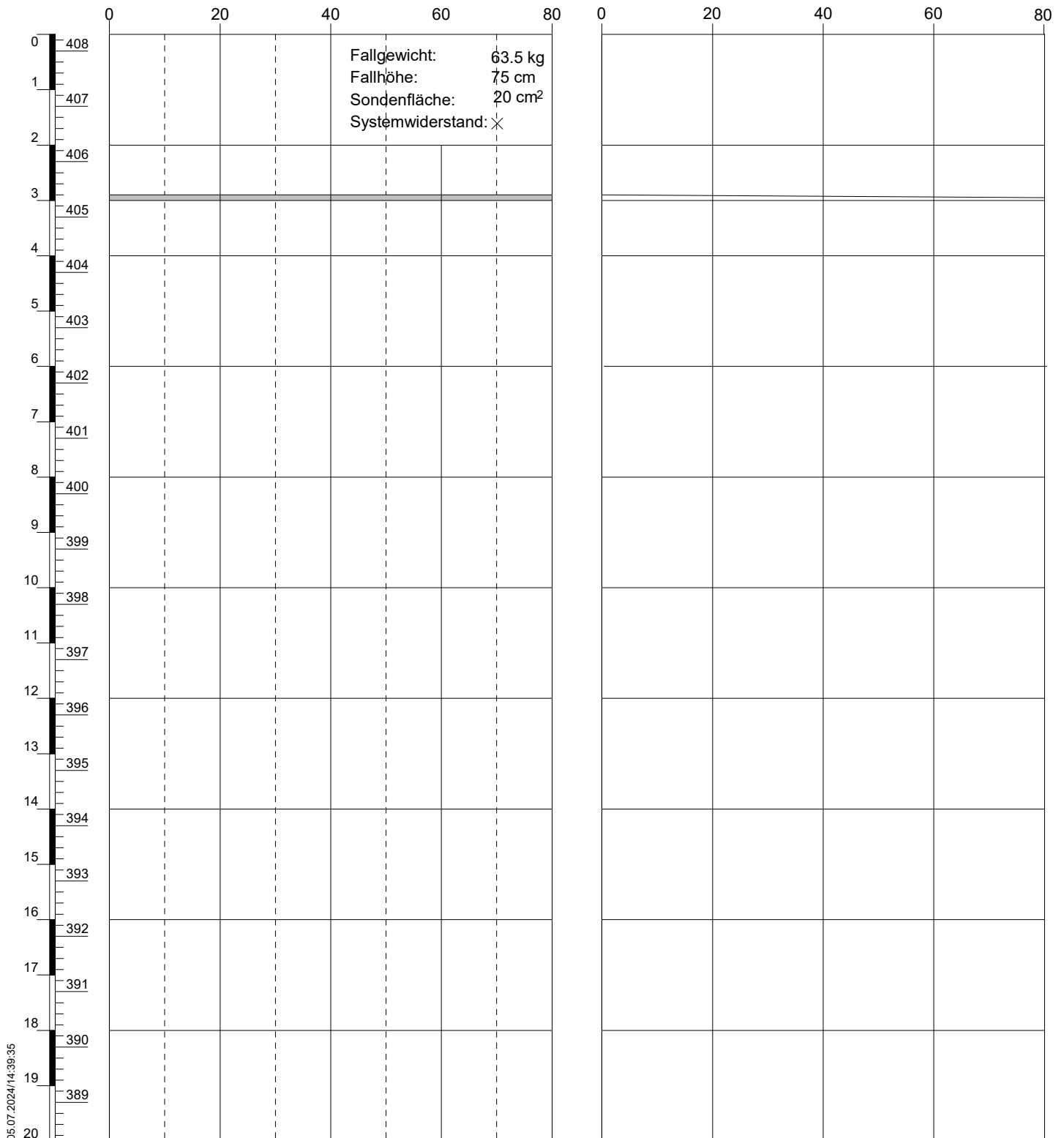
Geotechnische Untersuchungen, SBB Horgen - Au, 8810 Horgen

GeODIn-System / %FILENAME\$ / 25.06.2024/18:07:55

Schlagzahl pro 10 cm Eindringung [-]

dynamischer Spitzenwiderstand q_d [MN/m²]

gezeichnet: Marynelle Duran Datum: 25.06.2024 kontrolliert: Hendrik Tuentler



Ausführungsdatum: 27.06.2024
Ansatzpunkt: 408.30 m ü.M.

Koordinaten: 2689728 m O
1234129 m N

Sondierung: DPSH 13-24

RAMMPROTOKOLL

Rammsondierung gemäss EN 22476-2:2005

Geotechnische Untersuchungen, SBB Horgen - Au, 8810 Horgen

GeODIn-System / %FILENAME% / 05.07.2024/14:39:35

BEILAGE D
ELEKTRISCHE DRUCKSONDIERUNG – INTERPRETATION

INHALT	Beilage
Elektrische Drucksondierung SCPTU 1-24	D1
Elektrische Drucksondierung SCPTU 2-24	D2 – D3
Elektrische Drucksondierung CPTU 3-24	D4
Elektrische Drucksondierung CPTU 4-24	D5
Elektrische Drucksondierung CPTU 5-24	D6
Elektrische Drucksondierung SCPTU 6-24	D7
Elektrische Drucksondierung CPTU 7-24	D8
Elektrische Drucksondierung SCPTU 8-24	D9
Elektrische Drucksondierung CPTU 9-24	D10
Elektrische Drucksondierung CPTU 10-4	D11
Elektrische Drucksondierung CPTU 11-24	D12
Elektrische Drucksondierung CPTU 12-24	D13
Elektrische Drucksondierung CPTU 13-24	D14
Elektrische Drucksondierung CPTU 14-24	D15
Elektrische Drucksondierung SCPTU 15-24	D16

- +

undrainierte Scherfestigkeit c_u [kN/m²]

○

Sensitivität S_t [-]
- ×

effektiver innerer Reibungswinkel ϕ [°]

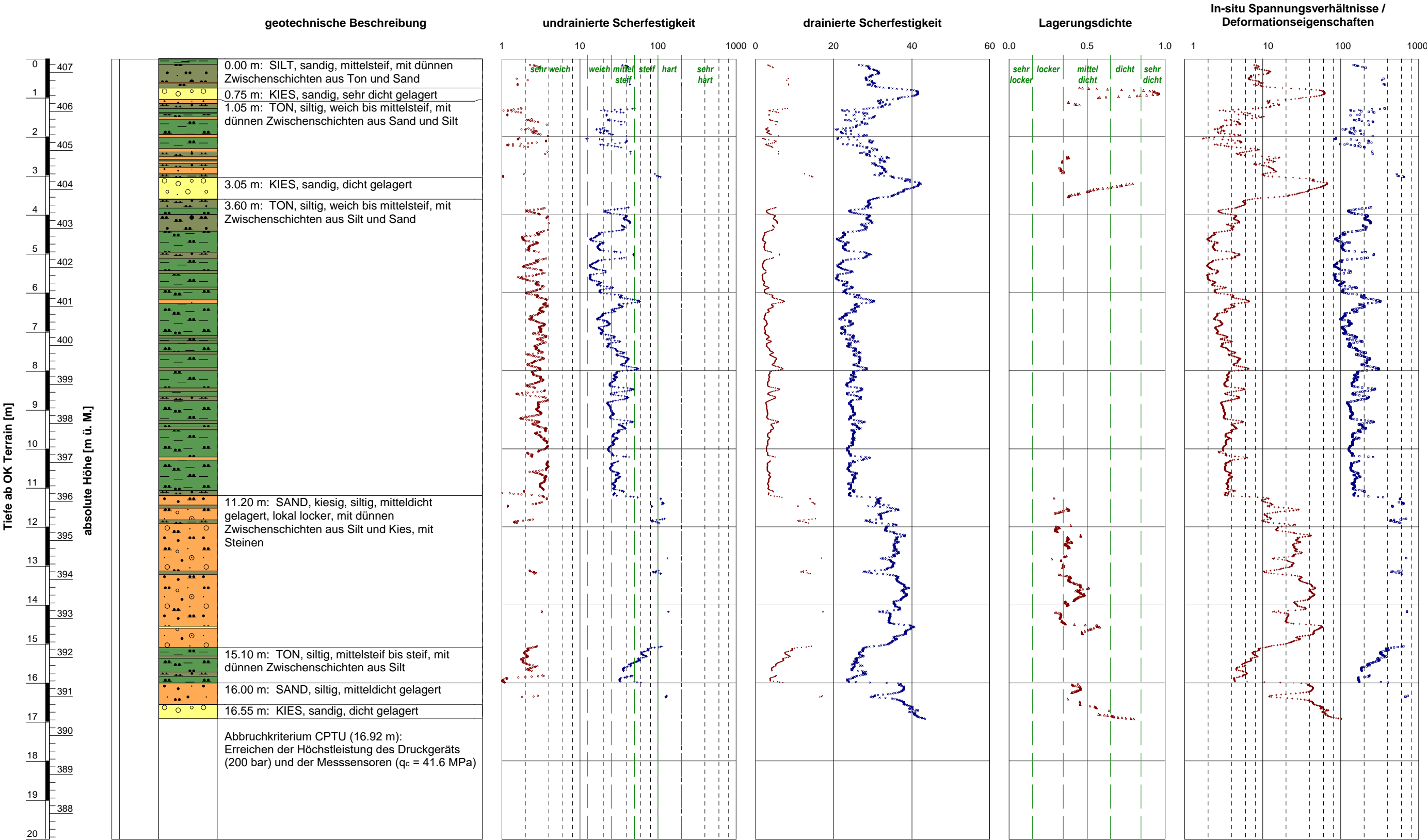
·

effektive Kohäsion c' [kN/m²]
- △

bezogene Lagerungsdichte I_D [-]
- Vorkonsolidierungsdruck σ'_p [kN/m²]

+

oedometrischer Steifemodul bei Erstbelastung E_{oed} (früher: $M_{E,1}$ bzw. E_d) [MN/m²]



- +

undrainierte Scherfestigkeit c_u [kN/m²]

○

Sensitivität S_t [-]
- ×

effektiver innerer Reibungswinkel ϕ [°]

·

effektive Kohäsion c' [kN/m²]
- △

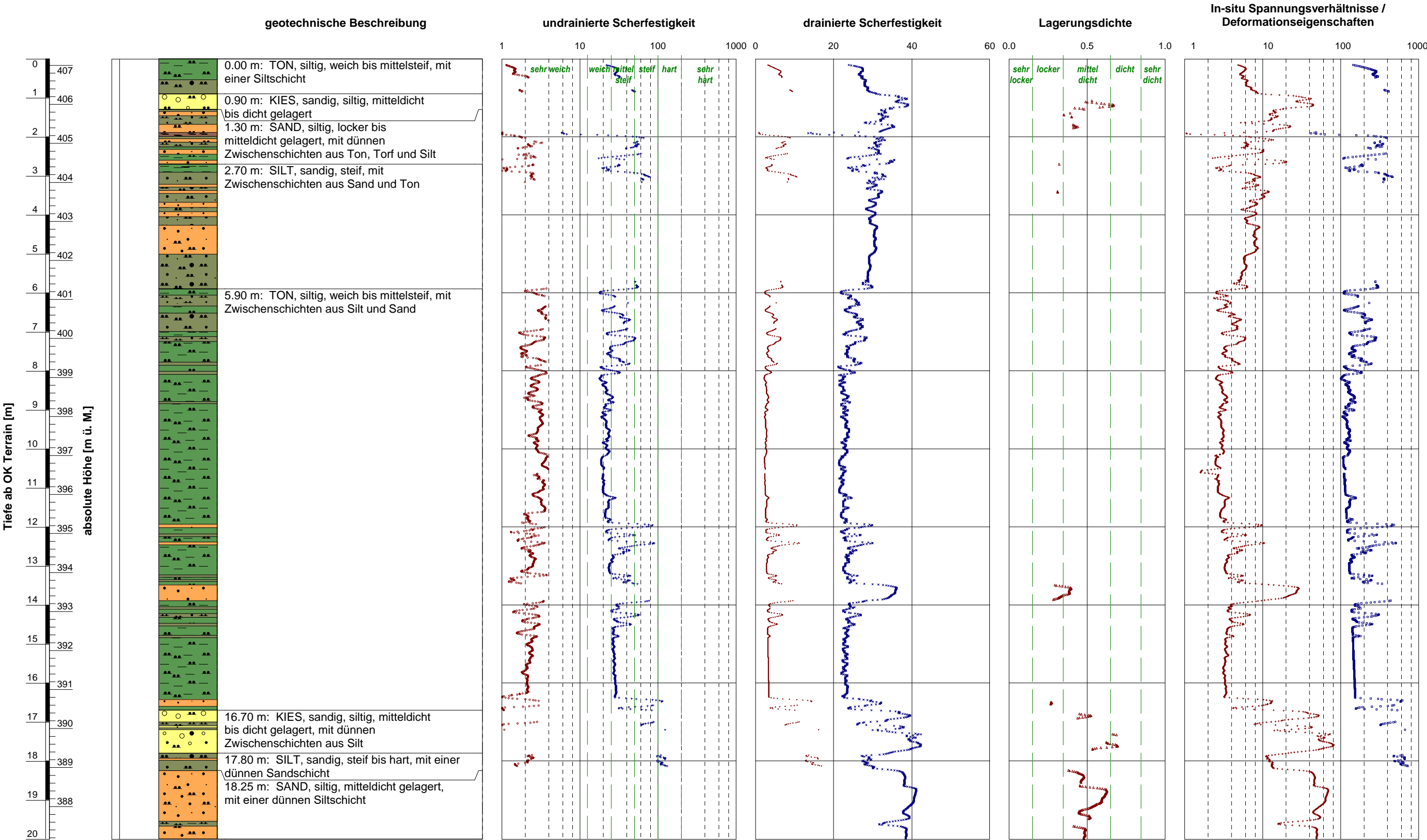
bezogene Lagerungsdichte I_D [-]
- Vorkonsolidierungsdruck σ'_p [kN/m²]

+

oedometrischer Steifemodul bei Erstbelastung E_{oed} (früher: $M_{E,1}$ bzw. E_d) [MN/m²]

gezeichnet: Maynelle Duran Datum: 25.06.2024 kontrolliert: Hendrik Tüenter

GeODin-System / %FILENAME\$ / 25.06.2024/19:30:30



Ausführungsdatum : 24.06.2024 Koordinaten : 2688183 m O
Ansatzpunkt : 407.17 m ü. M. 1234946 m N

ELEKTRISCHE DRUCKSONDIERUNG
Interpretierte geotechnische Erwartungswerte
Geotechnische Untersuchungen, SBB Horgen - Au, 8810 Horgen

Sondierung: SCPTU 2-24

- +

undrainierte Scherfestigkeit c_u [kN/m²]

○

Sensitivität S_t [-]
- ×

effektiver innerer Reibungswinkel ϕ [°]

·

effektive Kohäsion c' [kN/m²]
- △

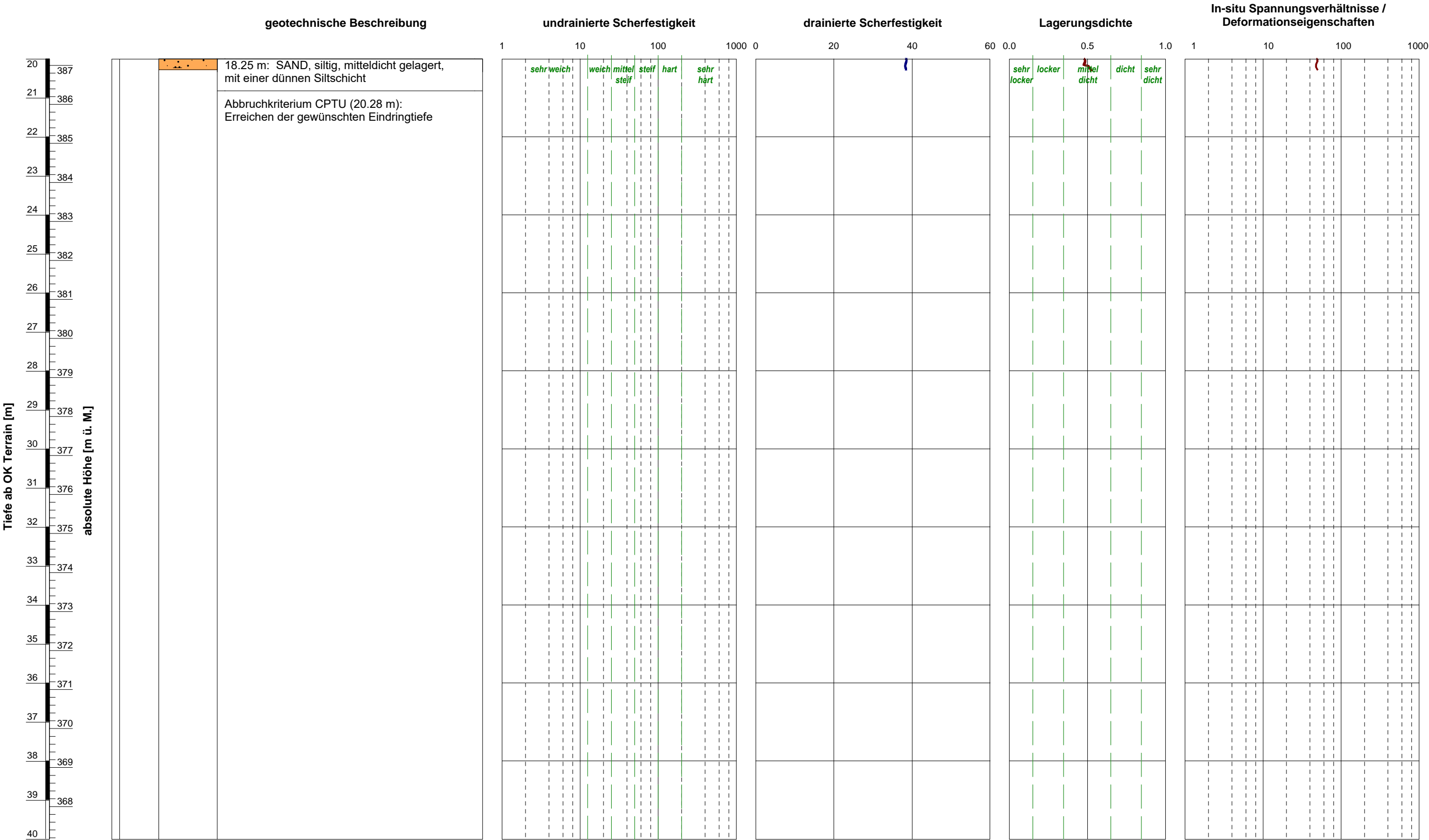
bezogene Lagerungsdichte I_D [-]
- Vorkonsolidierungsdruck σ'_p [kN/m²]

+

oedometrischer Steifemodul bei Erstbelastung E_{oed} (früher: $M_{E,1}$ bzw. E_d) [MN/m²]

gezeichnet: Maynelle Duran Datum: 25.06.2024 kontrolliert: Hendrik Tuenner

GeODin-System / %FILENAME\$ / 25.06.2024/19:30:30



- +

undrainierte Scherfestigkeit c_u [kN/m²]

○

Sensitivität S_t [-]
- ×

effektiver innerer Reibungswinkel ϕ [°]

·

effektive Kohäsion c' [kN/m²]
- △

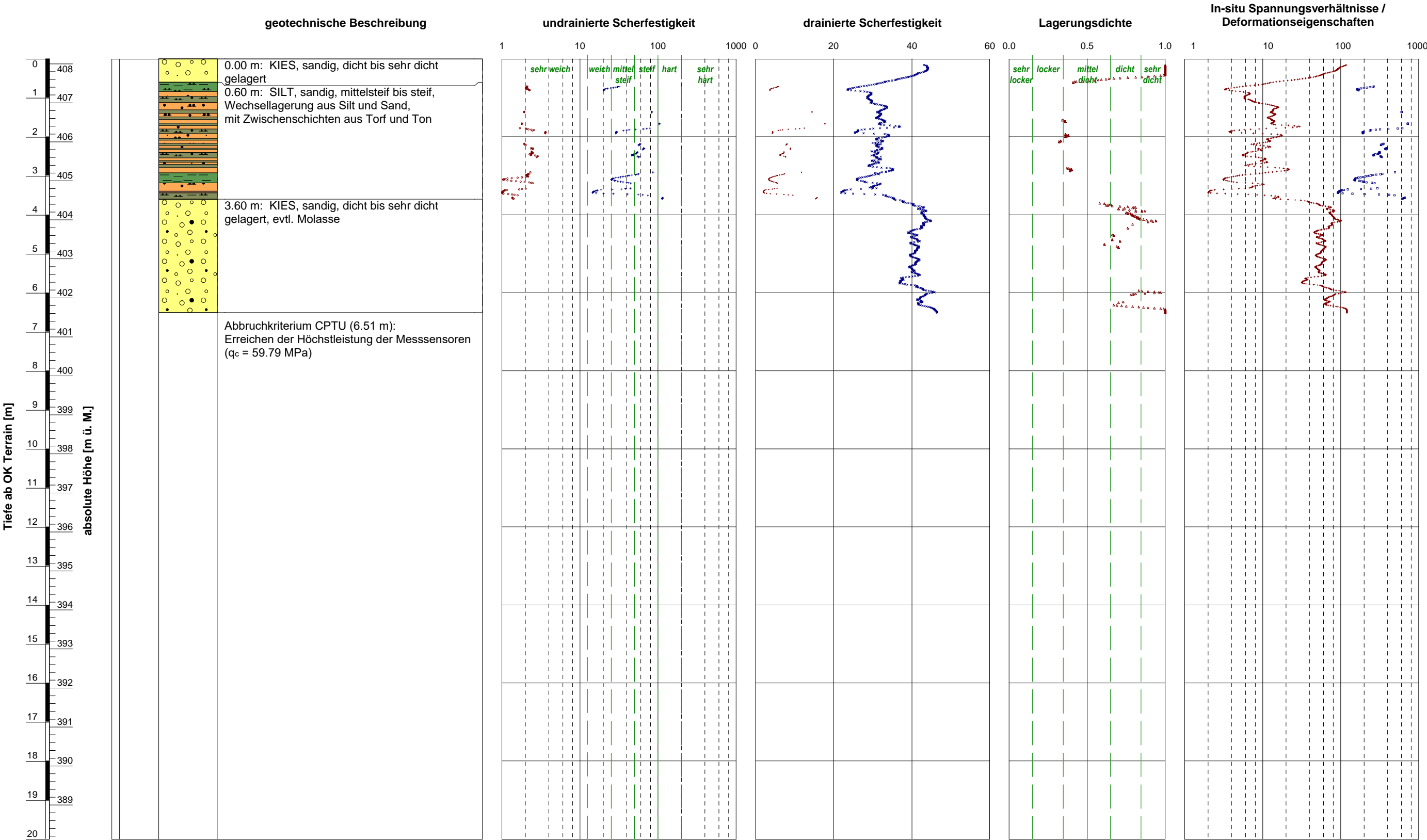
bezogene Lagerungsdichte I_D [-]
- Vorkonsolidierungsdruck σ'_p [kN/m²]

+

oedometrischer Steifemodul bei Erstbelastung E_{oed} (früher: $M_{E,1}$ bzw. E_d) [MN/m²]

gezeichnet: Maynelle Duran Datum: 25.06.2024 kontrolliert: Hendrik Tüenter

GeODin-System / %FILENAME\$ / 01.07.2024/09:30:19



Ausführungsdatum : 27.06.2024 Koordinaten : 2688324 m O
Ansatzpunkt : 408.13 m ü. M. 1234856 m N

ELEKTRISCHE DRUCKSONDIERUNG
Interpretierte geotechnische Erwartungswerte
Geotechnische Untersuchungen, SBB Horgen - Au, 8810 Horgen

Sondierung: CPTU 3-24

- +

undrainierte Scherfestigkeit c_u [kN/m²]

○

Sensitivität S_t [-]
- ×

effektiver innerer Reibungswinkel ϕ [°]

·

effektive Kohäsion c' [kN/m²]
- △

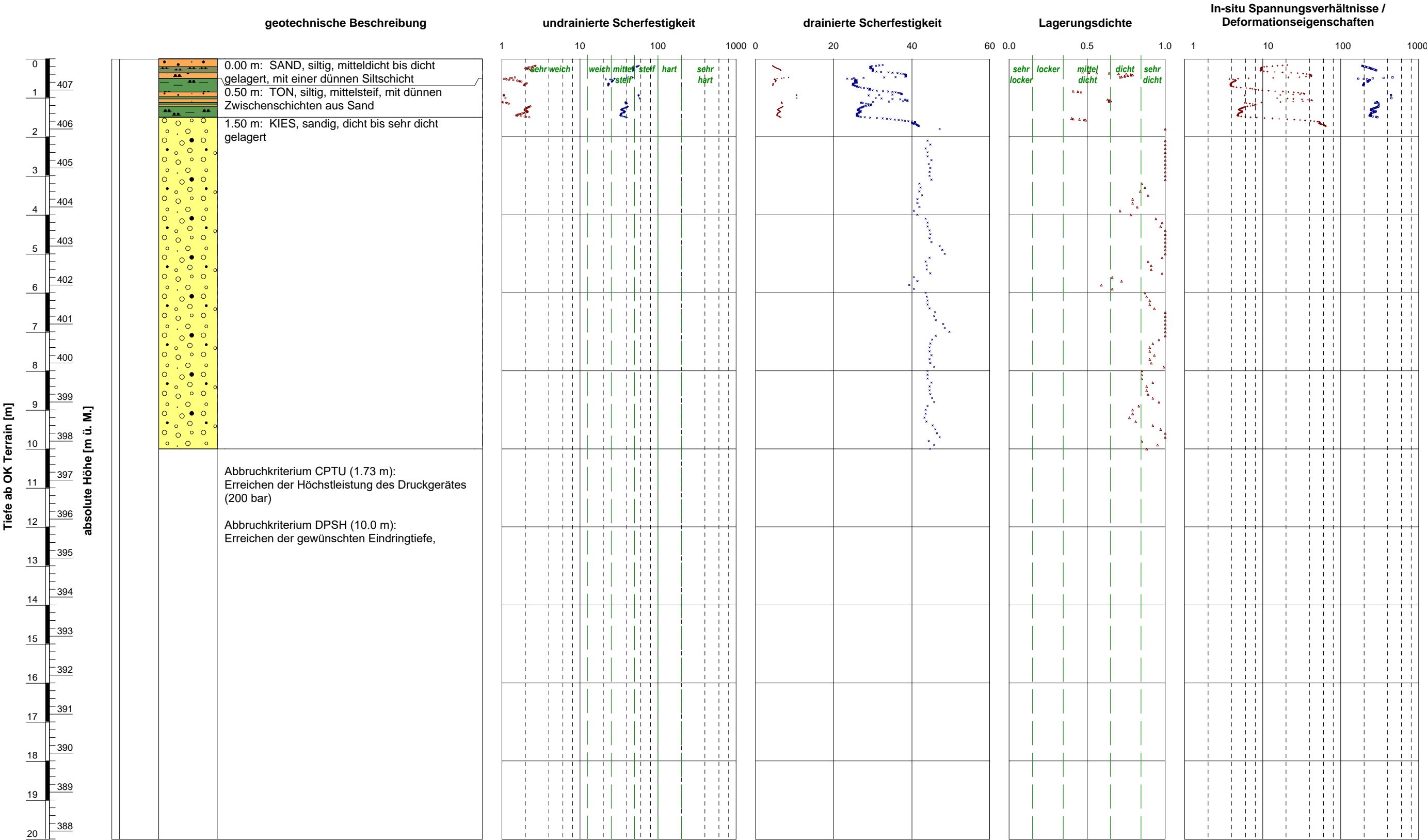
bezogene Lagerungsdichte I_D [-]
- Vorkonsolidierungsdruck σ'_p [kN/m²]

+

oedometrischer Steifemodul bei Erstbelastung E_{oed} (früher: $M_{E,1}$ bzw. E_d) [MN/m²]

gezeichnet: Maynelle Duran Datum: 25.06.2024 kontrolliert: Hendrik Tuenner

GeODin-System / \$%FILENAME\$ / 01.07.2024/09:44:58



Ausführungsdatum : 24.06.2024 Koordinaten : 2688418 m O
Ansatzpunkt : 407.80 m ü. M. 1234776 m N

ELEKTRISCHE DRUCKSONDIERUNG
Interpretierte geotechnische Erwartungswerte
Geotechnische Untersuchungen, SBB Horgen - Au, 8810 Horgen

Sondierung: CPTU - DPSH 4-24

- +

undrainierte Scherfestigkeit c_u [kN/m²]

○

Sensitivität S_t [-]
- ×

effektiver innerer Reibungswinkel ϕ [°]

·

effektive Kohäsion c' [kN/m²]
- △

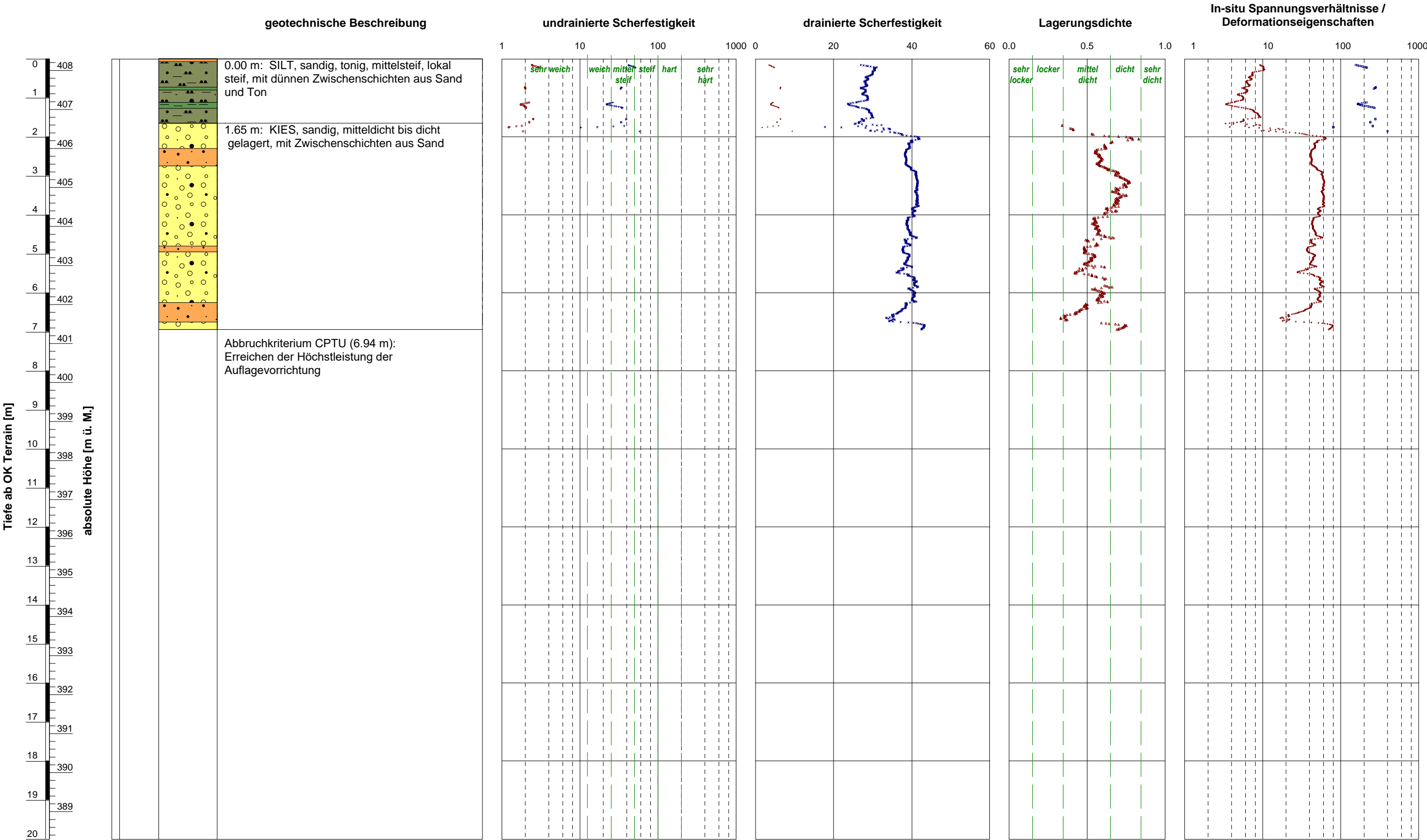
bezogene Lagerungsdichte I_D [-]
- Vorkonsolidierungsdruck σ'_p [kN/m²]

+

oedometrischer Steifemodul bei Erstbelastung E_{oed} (früher: $M_{E,1}$ bzw. E_d) [MN/m²]

gezeichnet: Maynelle Duran Datum: 25.06.2024 kontrolliert: Hendrik Tüenter

GeODin-System / %FILENAME\$ / 01.07.2024/10:20:29



Ausführungsdatum : 24.06.2024 Koordinaten : 2688482 m O
Ansatzpunkt : 408.30 m ü. M. 1234733 m N

ELEKTRISCHE DRUCKSONDIERUNG
Interpretierte geotechnische Erwartungswerte
Geotechnische Untersuchungen, SBB Horgen - Au, 8810 Horgen

Sondierung: CPTU 5-24

- +

undrainierte Scherfestigkeit c_u [kN/m²]

○

Sensitivität S_t [-]
- ×

effektiver innerer Reibungswinkel ϕ [°]

·

effektive Kohäsion c' [kN/m²]
- △

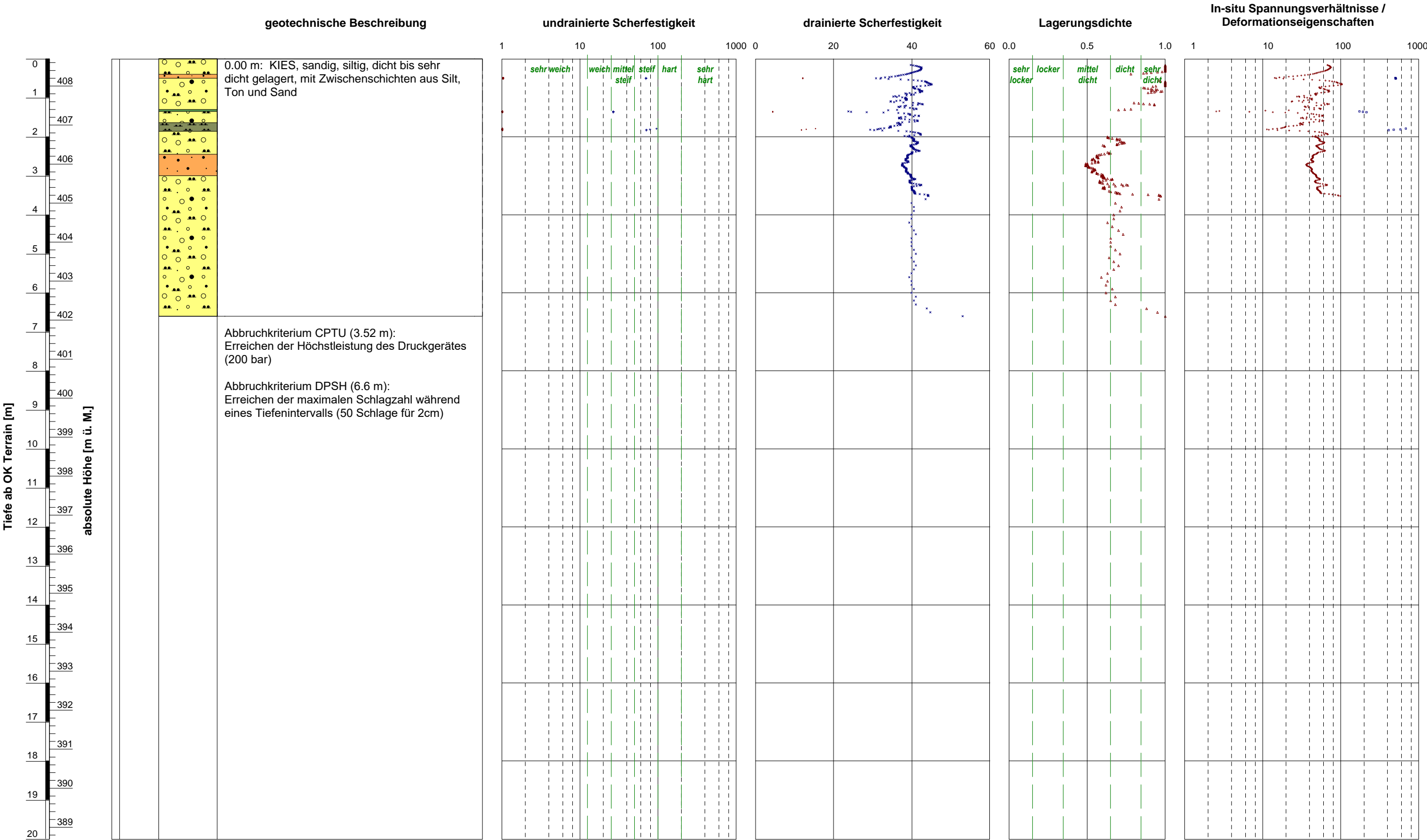
bezogene Lagerungsdichte I_D [-]
- Vorkonsolidierungsdruck σ'_p [kN/m²]

+

oedometrischer Steifemodul bei Erstbelastung E_{oed} (früher: $M_{E,1}$ bzw. E_d) [MN/m²]

gezeichnet: Maynelle Duran Datum: 25.06.2024 kontrolliert: Hendrik Tüenter

GeODin-System / %FILENAME\$ / 01.07.2024/11:15:36



Ausführungsdatum : 25.06.2024 Koordinaten : 2688620 m O
Ansatzpunkt : 408.70 m ü. M. 1234664 m N

ELEKTRISCHE DRUCKSONDIERUNG
Interpretierte geotechnische Erwartungswerte
Geotechnische Untersuchungen, SBB Horgen - Au, 8810 Horgen

Sondierung: SCPTU - DPSH 6-24

- +

undrainierte Scherfestigkeit c_u [kN/m²]

○

Sensitivität S_t [-]
- ×

effektiver innerer Reibungswinkel ϕ [°]

·

effektive Kohäsion c' [kN/m²]
- △

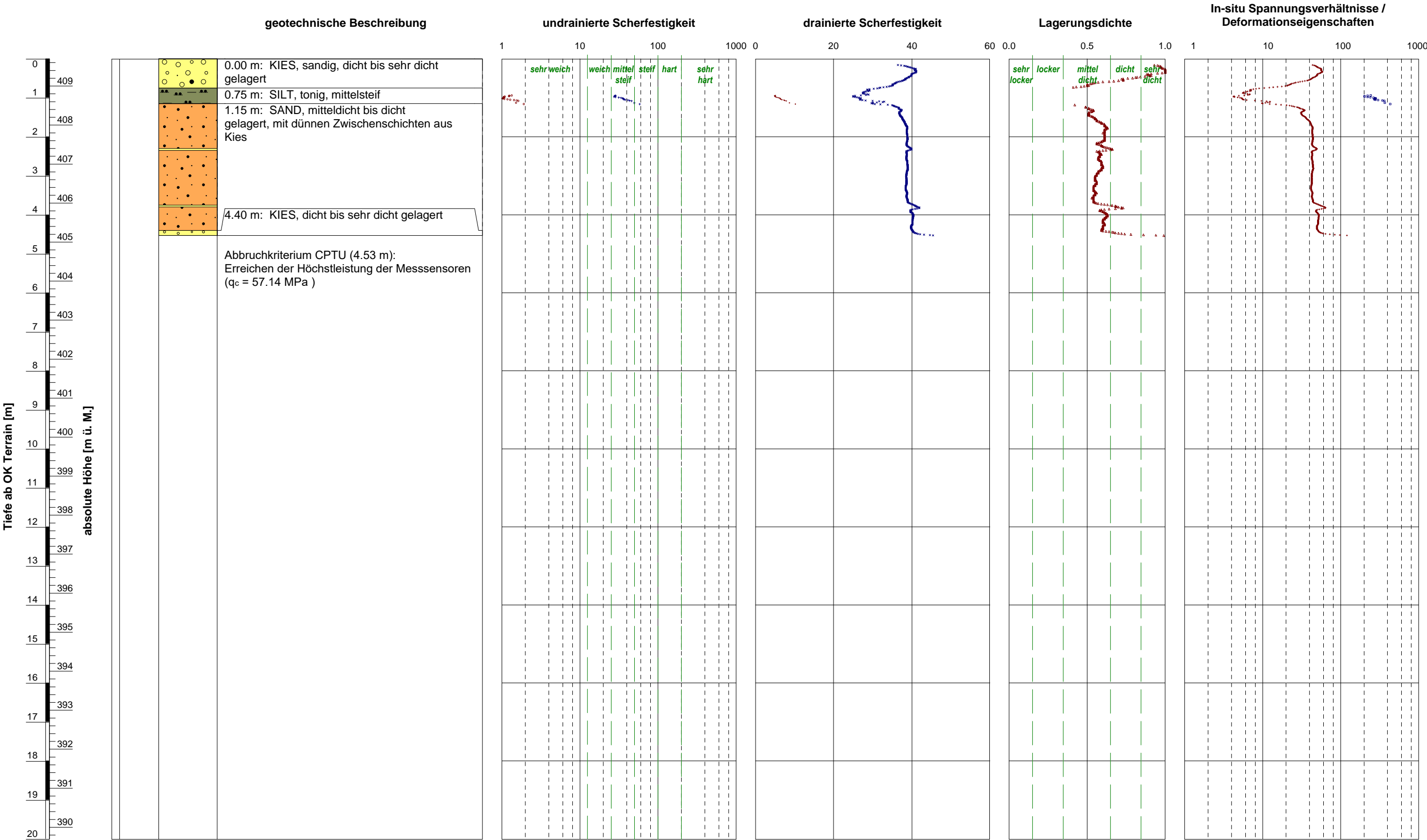
bezogene Lagerungsdichte I_D [-]
- Vorkonsolidierungsdruck σ'_p [kN/m²]

+

oedometrischer Steifemodul bei Erstbelastung E_{oed} (früher: $M_{E,1}$ bzw. E_d) [MN/m²]

gezeichnet: Maynelle Duran Datum: 25.06.2024 kontrolliert: Hendrik Tuenher

GeODin-System / %FILENAME\$ / 01.07.2024/11:28:14



Ausführungsdatum : 26.06.2024 Koordinaten : 2688692 m O
Ansatzpunkt : 409.70 m ü. M. 1234590 m N

ELEKTRISCHE DRUCKSONDIERUNG
Interpretierte geotechnische Erwartungswerte
Geotechnische Untersuchungen, SBB Horgen - Au, 8810 Horgen

Sondierung: CPTU 7-24

- +

undrainierte Scherfestigkeit c_u [kN/m²]

○

Sensitivität S_t [-]
- ×

effektiver innerer Reibungswinkel ϕ [°]

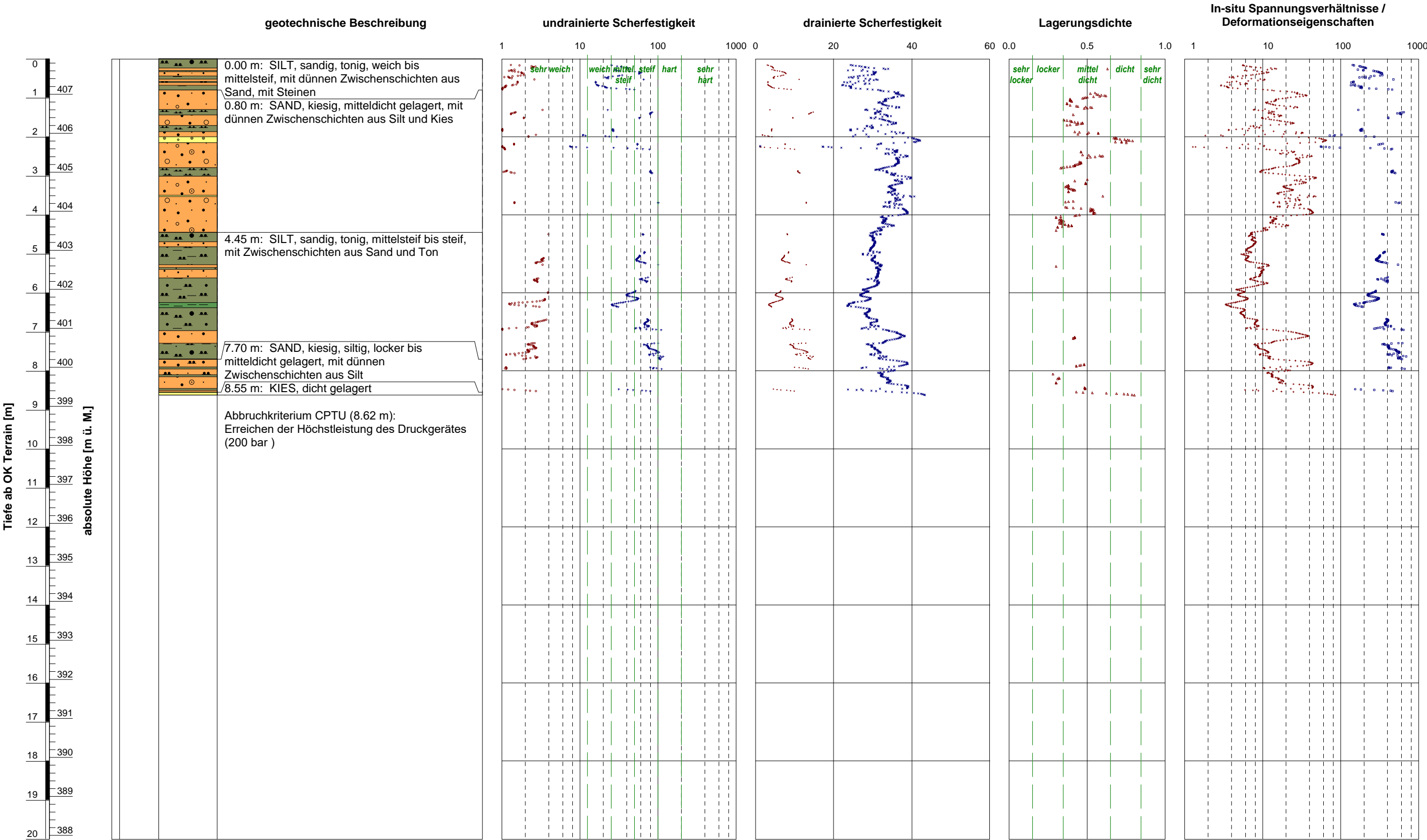
·

effektive Kohäsion c' [kN/m²]
- △

bezogene Lagerungsdichte I_D [-]
- Vorkonsolidierungsdruck σ'_p [kN/m²]

+

oedometrischer Steifemodul bei Erstbelastung E_{oed} (früher: $M_{E,1}$ bzw. E_d) [MN/m²]



Ausführungsdatum : 25.06.2024 Koordinaten : 2689095 m O
Ansatzpunkt : 407.91 m ü. M. 1234507 m N

ELEKTRISCHE DRUCKSONDIERUNG
Interpretierte geotechnische Erwartungswerte
Geotechnische Untersuchungen, SBB Horgen - Au, 8810 Horgen

Sondierung: SCPTU 8-24

- +

undrainierte Scherfestigkeit c_u [kN/m²]

○

Sensitivität S_t [-]
- ×

effektiver innerer Reibungswinkel ϕ [°]

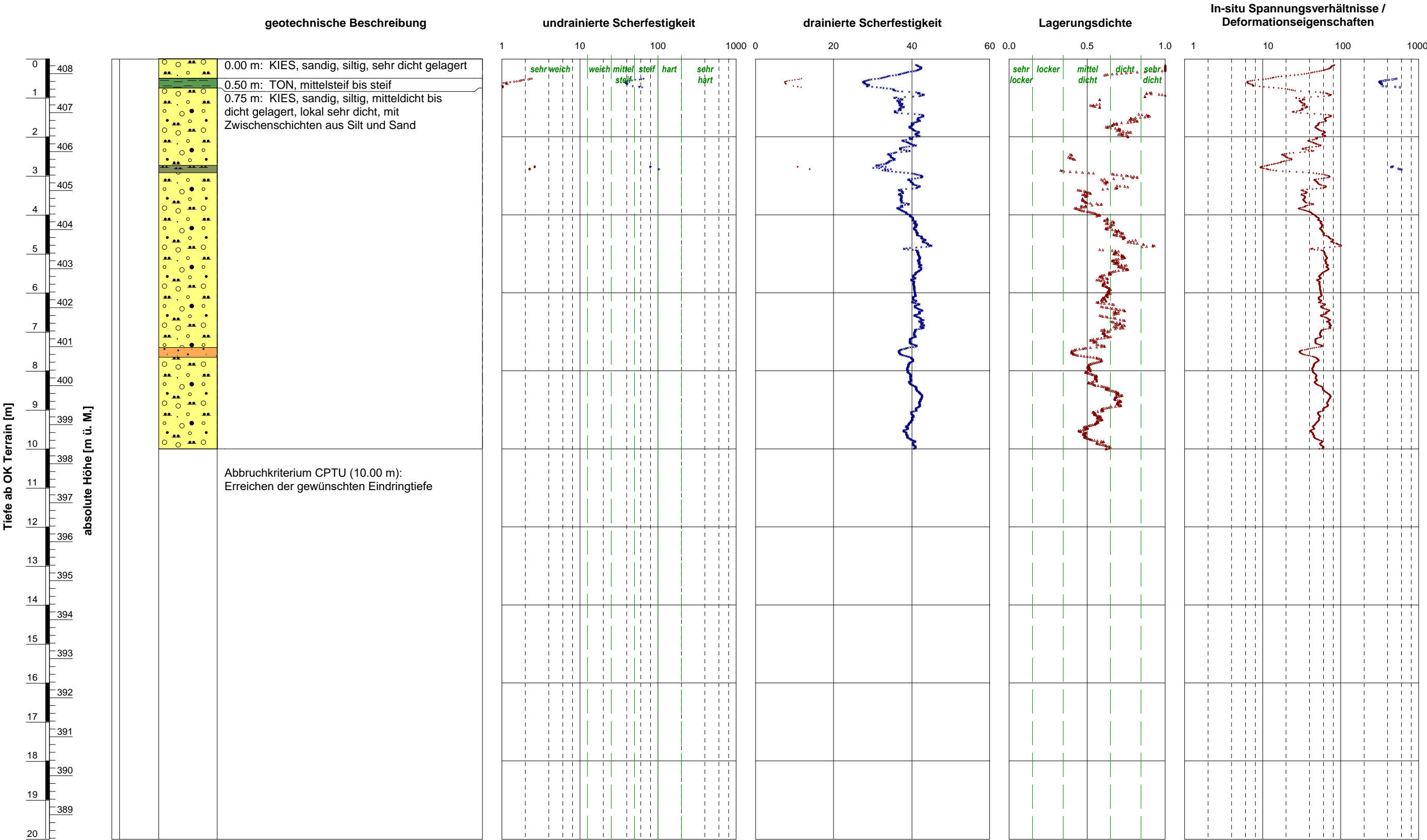
·

effektive Kohäsion c' [kN/m²]
- △

bezogene Lagerungsdichte I_D [-]
- Vorkonsolidierungsdruck σ'_p [kN/m²]

+

oedometrischer Steifemodul bei Erstbelastung E_{oed} (früher: $M_{E,1}$ bzw. E_d) [MN/m²]



- +

undrainierte Scherfestigkeit c_u [kN/m²]

○

Sensitivität S_t [-]
- ×

effektiver innerer Reibungswinkel ϕ [°]

·

effektive Kohäsion c' [kN/m²]
- △

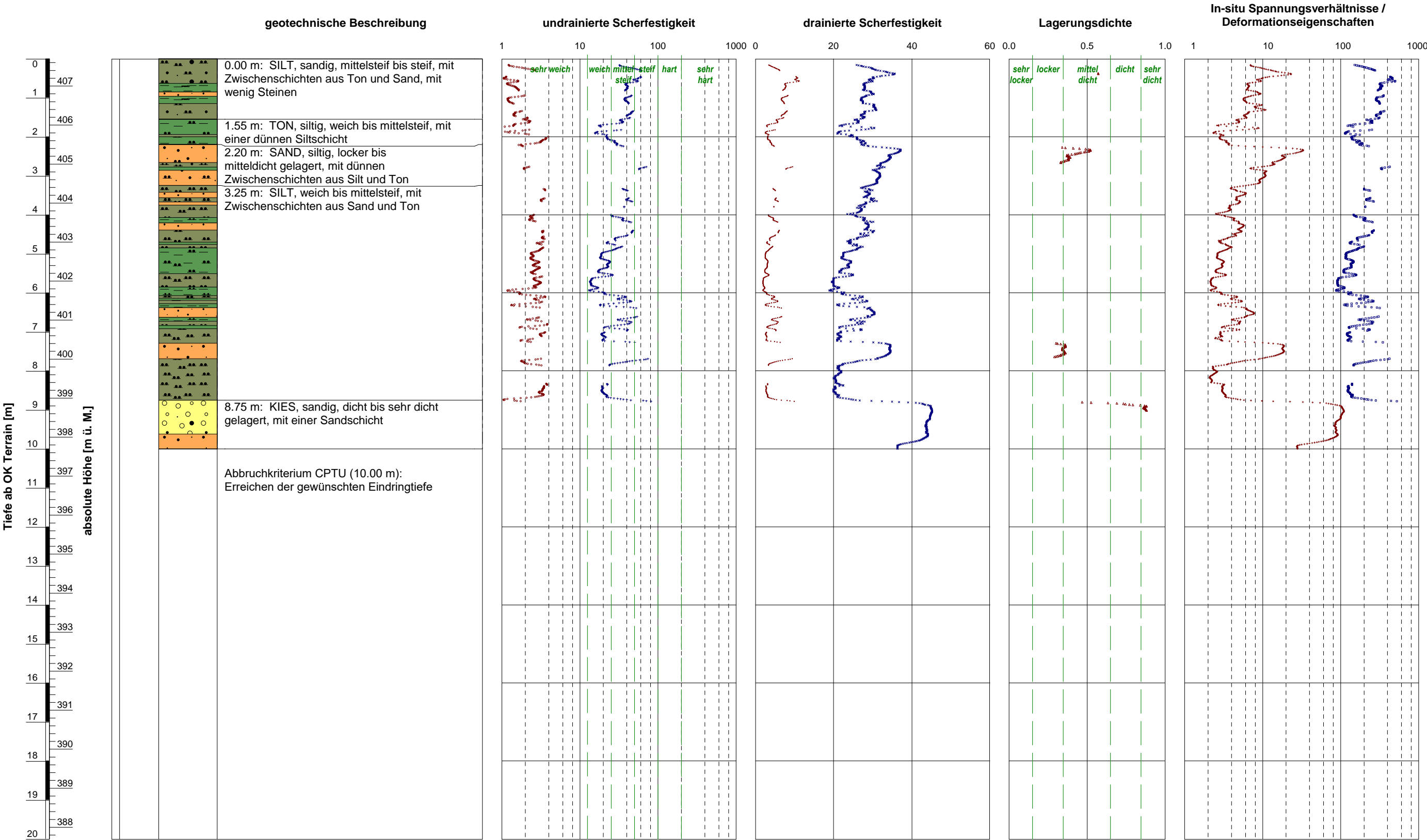
bezogene Lagerungsdichte I_D [-]
- Vorkonsolidierungsdruck σ'_p [kN/m²]

+

oedometrischer Steifemodul bei Erstbelastung E_{oed} (früher: $M_{E,1}$ bzw. E_d) [MN/m²]

gezeichnet: Maynelle Duran Datum: 25.06.2024 kontrolliert: Hendrik Tüenter

GeODin-System / %FILENAME\$ / 01.07.2024/12:27:06



Ausführungsdatum : 25.06.2024 Koordinaten : 2689395 m O
Ansatzpunkt : 407.70 m ü. M. 1234323 m N

ELEKTRISCHE DRUCKSONDIERUNG
Interpretierte geotechnische Erwartungswerte
Geotechnische Untersuchungen, SBB Horgen - Au, 8810 Horgen

Sondierung: CPTU 10-24

- +

undrainierte Scherfestigkeit c_u [kN/m²]

○

Sensitivität S_t [-]
- ×

effektiver innerer Reibungswinkel ϕ [°]

·

effektive Kohäsion c' [kN/m²]
- △

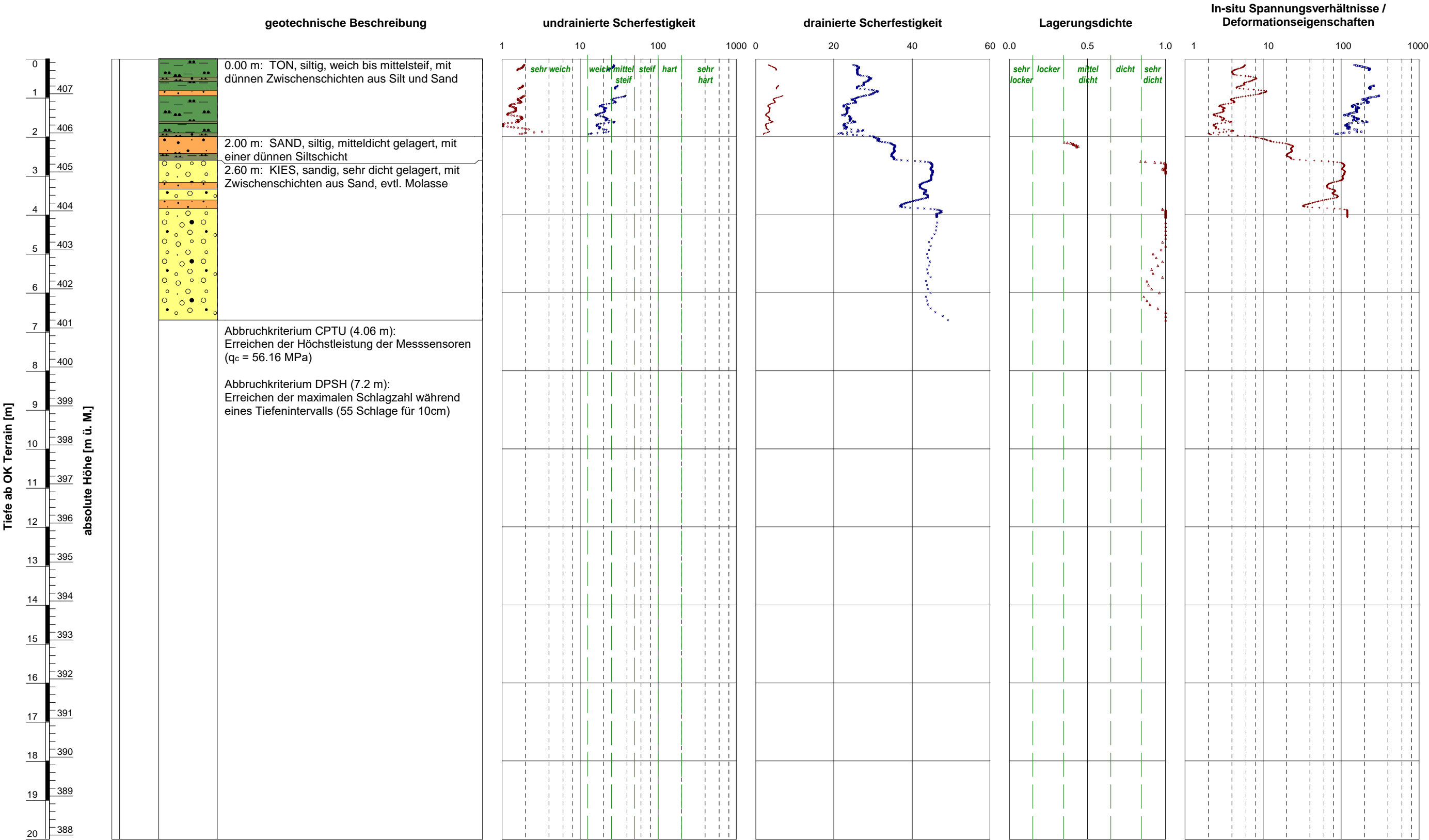
bezogene Lagerungsdichte I_D [-]
- Vorkonsolidierungsdruck σ'_p [kN/m²]

+

oedometrischer Steifemodul bei Erstbelastung E_{oed} (früher: $M_{E,1}$ bzw. E_d) [MN/m²]

gezeichnet: Maynelle Duran Datum: 25.06.2024 kontrolliert: Hendrik Tuerker

GeODin-System / %FILENAME\$ / 01.07.2024/17:06:25



Ausführungsdatum : 27.06.2024 Koordinaten : 2689545 m O
Ansatzpunkt : 407.90 m ü. M. 1234200 m N

ELEKTRISCHE DRUCKSONDIERUNG
Interpretierte geotechnische Erwartungswerte
Geotechnische Untersuchungen, SBB Horgen - Au, 8810 Horgen

Sondierung: CPTU - DPSH 11-24

- +

undrainierte Scherfestigkeit c_u [kN/m²]

○

Sensitivität S_t [-]
- ×

effektiver innerer Reibungswinkel ϕ [°]

·

effektive Kohäsion c' [kN/m²]
- △

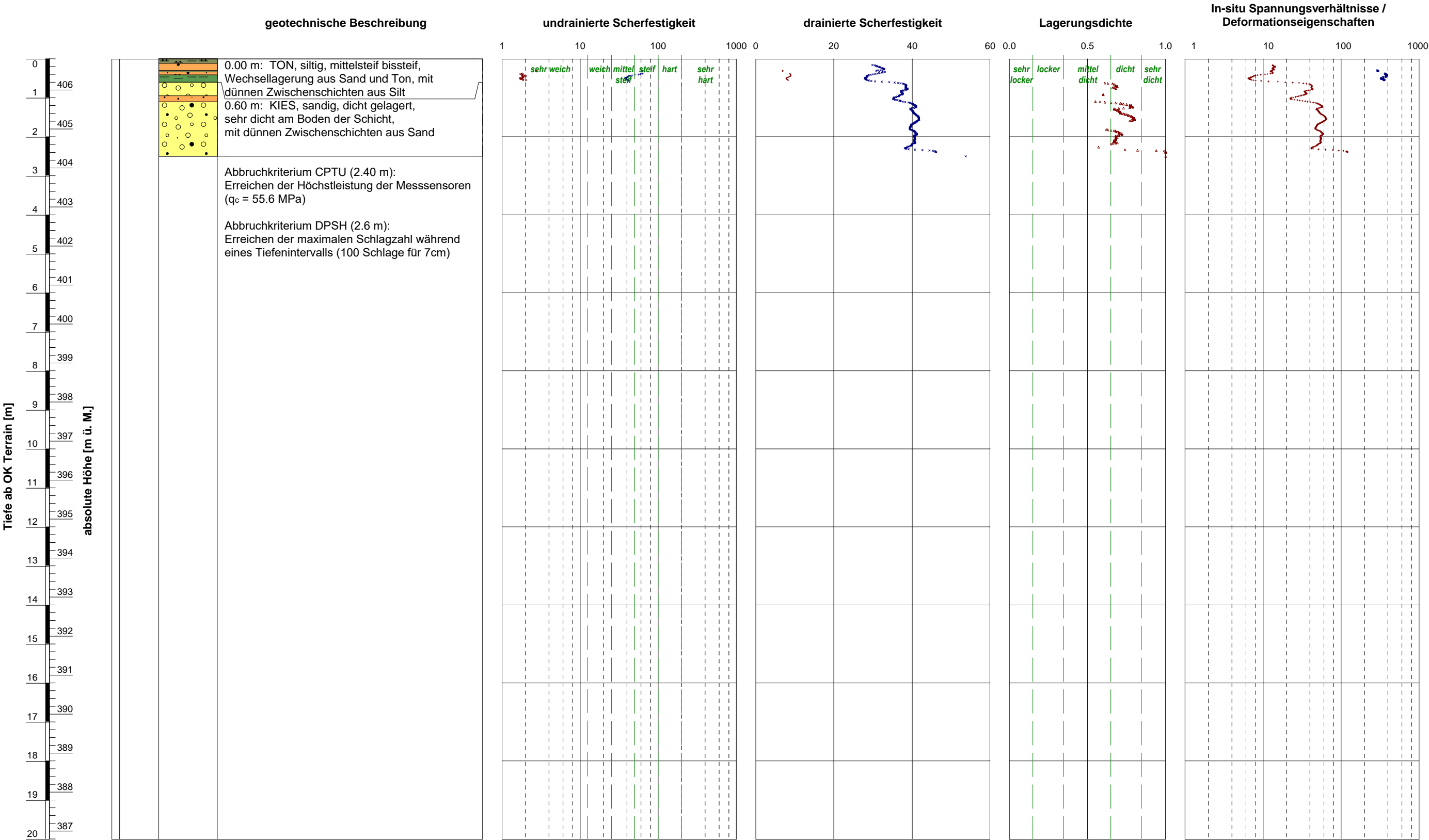
bezogene Lagerungsdichte I_D [-]
- Vorkonsolidierungsdruck σ'_p [kN/m²]

+

oedometrischer Steifemodul bei Erstbelastung E_{oed} (früher: $M_{E,1}$ bzw. E_d) [MN/m²]

gezeichnet: Maynelle Duran Datum: 25.06.2024 kontrolliert: Hendrik Tuenner

GeODin-System / %FILENAME\$ / 01.07.2024/12:34:00

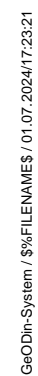


Ausführungsdatum : 25.06.2024 Koordinaten : 2689659 m O
Ansatzpunkt : 406.80 m ü. M. 1234172 m N

ELEKTRISCHE DRUCKSONDIERUNG
Interpretierte geotechnische Erwartungswerte
Geotechnische Untersuchungen, SBB Horgen - Au, 8810 Horgen

Sondierung: CPTU-DPSH 12-24

gezeichnet: Marynelle Duran Datum: 25.06.2024 kontrolliert: Hendrik Tuentner



Sondierung: CPTU - DPSH 13-24

ELEKTRISCHE DRUCKSONDIERUNG
Interpretierte geotechnische Erwartungswerte
 Geotechnische Untersuchungen, SBB Horgen - Au, 8810 Horgen

- +

undrainierte Scherfestigkeit c_u [kN/m²]

○

Sensitivität S_t [-]
- ×

effektiver innerer Reibungswinkel ϕ [°]

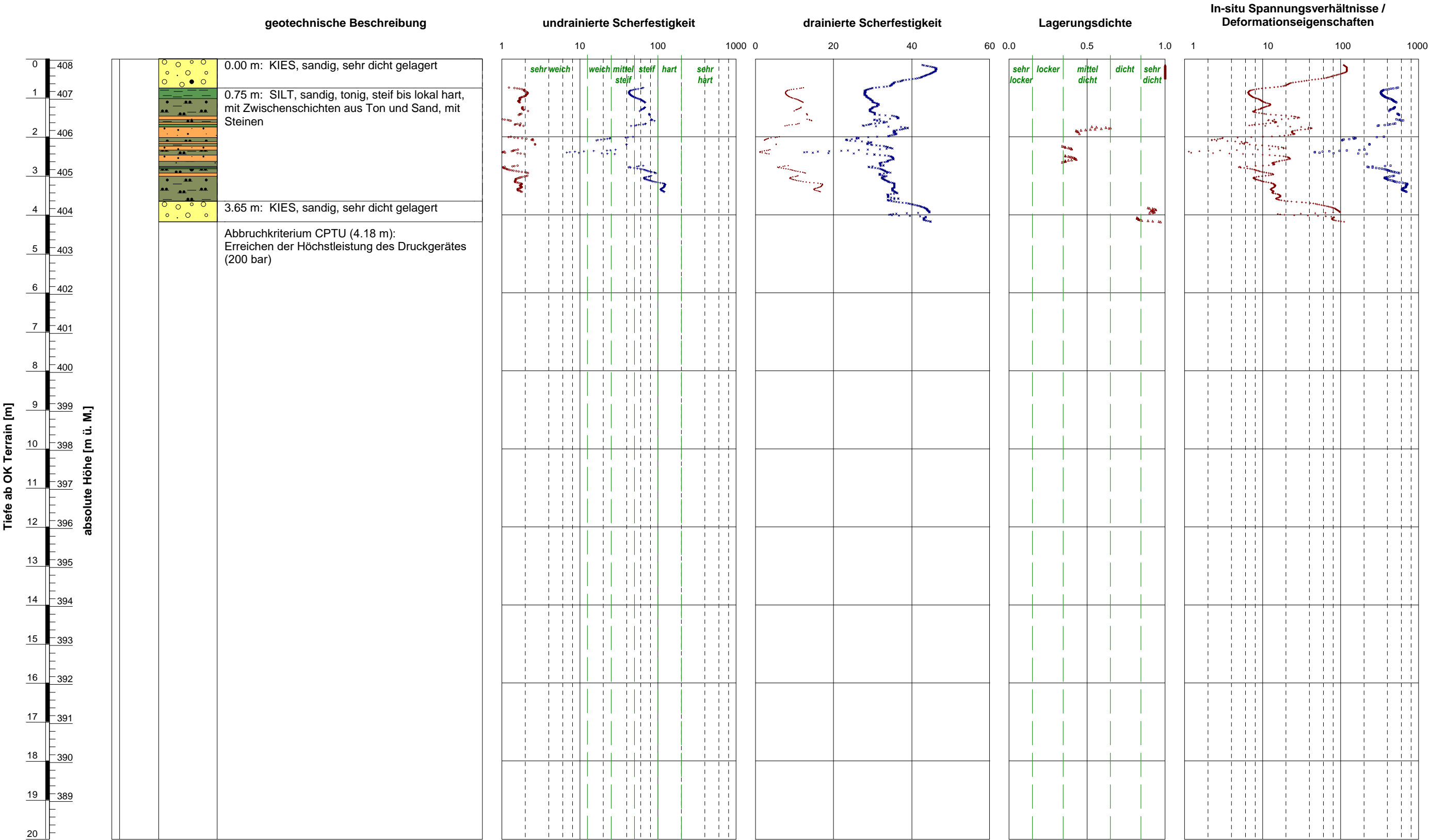
·

effektive Kohäsion c' [kN/m²]
- △

bezogene Lagerungsdichte I_D [-]
- Vorkonsolidierungsdruck σ'_p [kN/m²]

+

oedometrischer Steifemodul bei Erstbelastung E_{oed} (früher: $M_{E,1}$ bzw. E_d) [MN/m²]



- +

undrainierte Scherfestigkeit c_u [kN/m²]

○

Sensitivität S_t [-]
- ×

effektiver innerer Reibungswinkel ϕ [°]

·

effektive Kohäsion c' [kN/m²]
- △

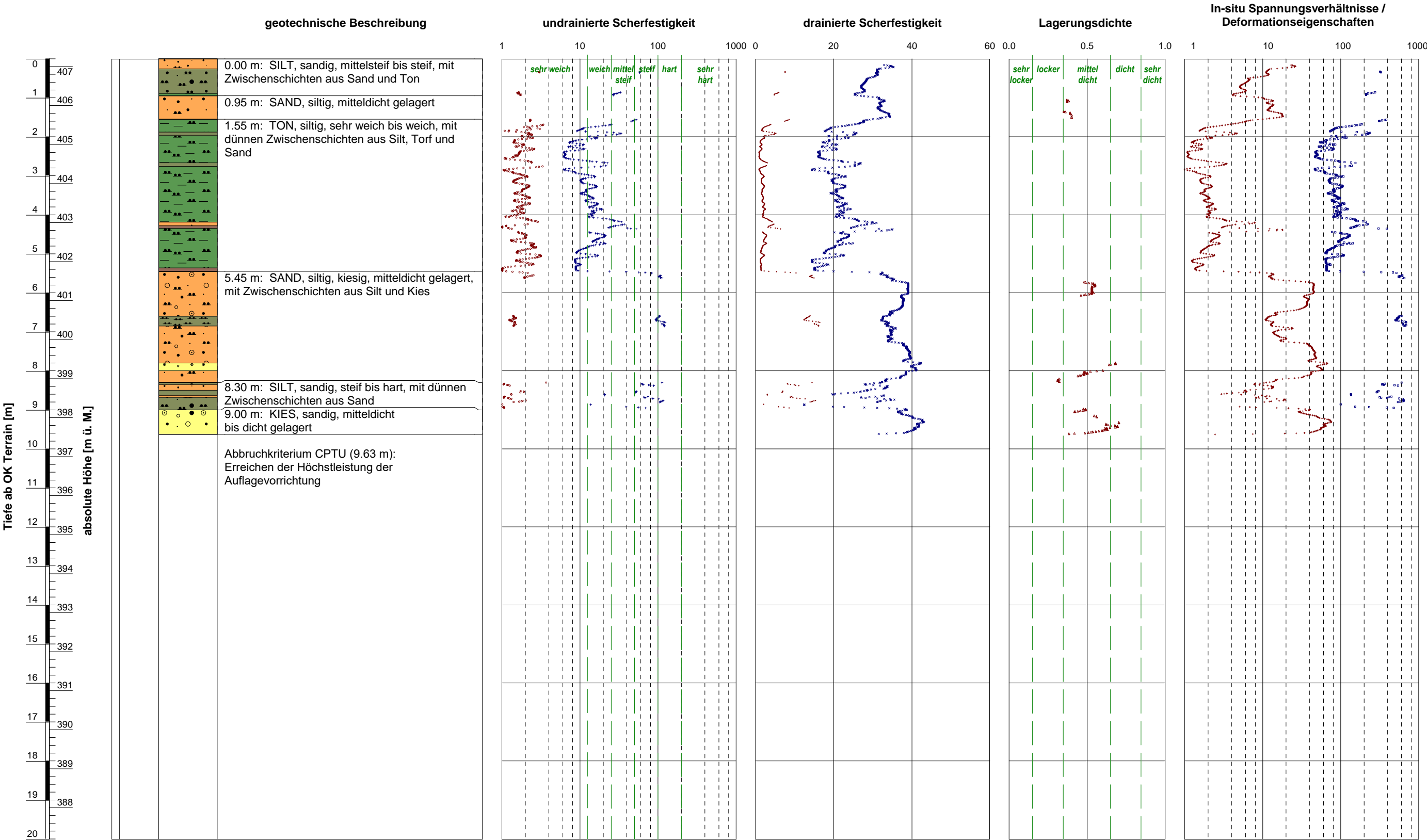
bezogene Lagerungsdichte I_D [-]
- Vorkonsolidierungsdruck σ'_p [kN/m²]

+

oedometrischer Steifemodul bei Erstbelastung E_{oed} (früher: $M_{E,1}$ bzw. E_d) [MN/m²]

gezeichnet: Maynelle Duran Datum: 25.06.2024 kontrolliert: Hendrik Tüenter

GeODin-System / %FILENAME\$ / 01.07.2024/15:22:23



Ausführungsdatum : 26.06.2024

Koordinaten : 2689984 m O

Ansatzpunkt : 407.20 m ü. M.

1234077 m N

ELEKTRISCHE DRUCKSONDIERUNG
Interpretierte geotechnische Erwartungswerte
Geotechnische Untersuchungen, SBB Horgen - Au, 8810 Horgen

Sondierung: SCPTU 15-24

BEILAGE E
SCHERWELLENGESCHWINGIGKEIT ALS FUNKTION DER TIEFE

INHALT	Beilage
Bemerkungen zur Messung der Scherwellengeschwindigkeit	E1
Aufgezeichnete Seismogramme (SCPTU 1-24)	E2 – E3
Aufgezeichnete Seismogramme (SCPTU 2-24)	E4 – E5
Aufgezeichnete Seismogramme (SCPTU 6-24)	E6
Aufgezeichnete Seismogramme (SCPTU 8-24)	E7
Aufgezeichnete Seismogramme (S-PTU 15-24)	E8
Geotechnische Kennwerte (SCPTU 1-24)	E9
Geotechnische Kennwerte (SCPTU 2-24)	E10
Geotechnische Kennwerte (SCPTU 6-24)	E11
Geotechnische Kennwerte (SCPTU 8-24)	E12
Geotechnische Kennwerte (SCPTU 15-24)	E13
Geotechnische Kennwerte (Zusammenfassung)	E14

BEMERKUNGEN ZUR MESSUNG DER SCHERWELLENGESCHWINDIGKEIT

Das SDMT-Modul ist ein Gerät zur Aufzeichnung von seismischen Wellen im Boden, mit welchem die Scherwellengeschwindigkeit V_s ermittelt wird. Das Modul zeichnet die an der Oberfläche erzeugten Scherwellen mittels zweier Geophone auf, welche in einem vertikalen Versatz von 0.5 m angeordnet sind. Das Gerät kann in Kombination mit einer CPT-Messsonde, einem DMT-Flachdilatometer oder einer blinden Spitze eingesetzt werden.

Die S-Welle wird in der Regel mit einem Hammer erzeugt, der in horizontaler Richtung auf einen Amboss geschlagen wird. Dazu wird der Amboss vertikal nach unten gedrückt, um eine gute Kopplung mit dem Boden zu gewährleisten. Die Längsachse des Ambosses wird parallel zur Achse der Sensoren ausgerichtet, um die Empfindlichkeit der erzeugten Scherwellen zu maximieren.

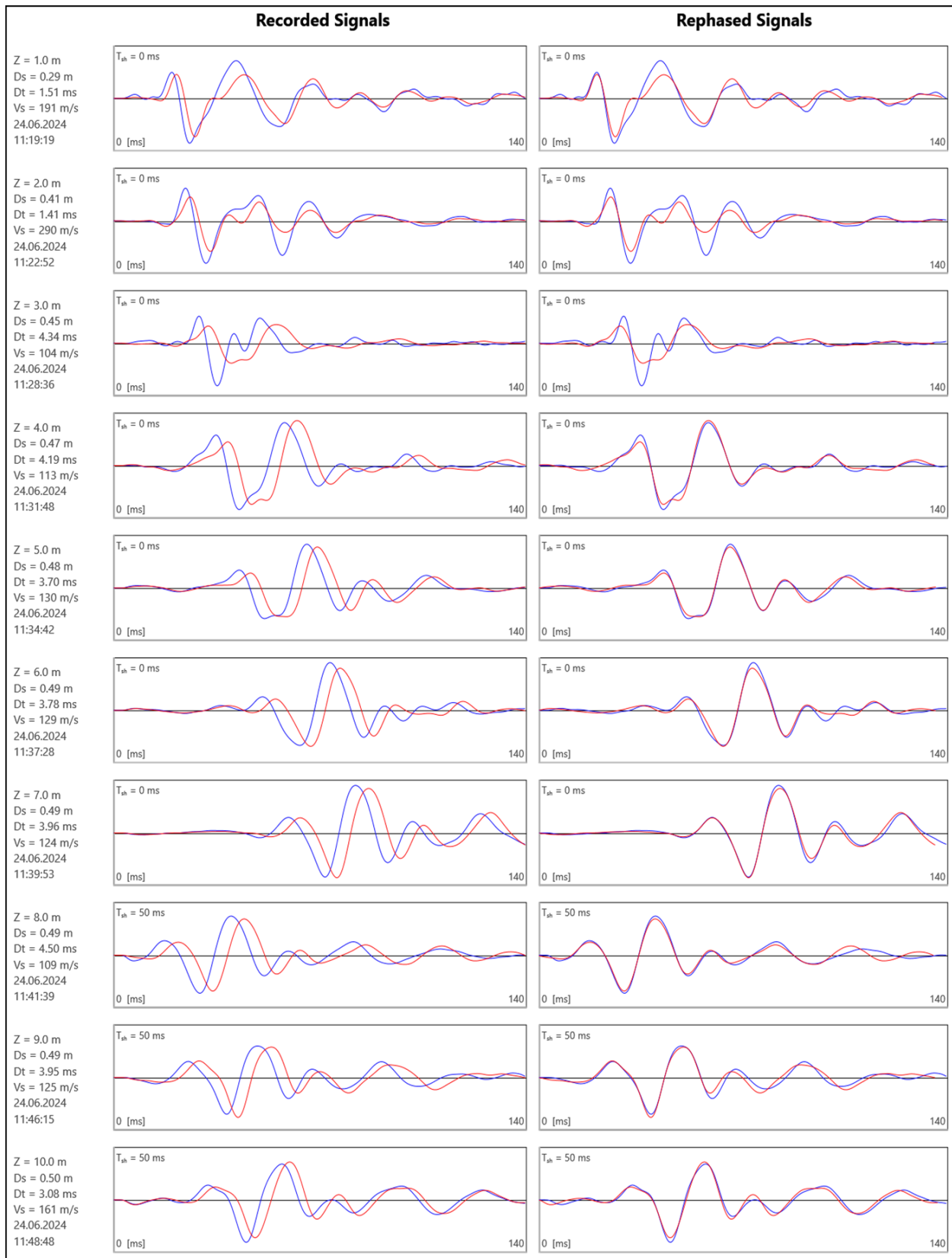
Die Scherwellengeschwindigkeit V_s ist das Verhältnis zwischen der Differenz der Abstände von der Mitte des Ambosses und zu den einzelnen Empfängern ($S_2 - S_1$) und der Verzögerungszeit (Δt) zwischen dem Eintreffen der Welle am oberen und am unteren Geophon/Empfänger.

Der maximale Schermodul G_0 wird nach der bekannten Formel $G_0 = \rho V_s^2$ gerechnet, wobei ρ für das Raumgewicht und V_s für die Scherwellengeschwindigkeit steht. Die Bodendichte wird anhand des Einheitsgewichts ermittelt, welches mit Hilfe der Tabelle von MARCHETTI & CRAPPS (1981) geschätzt wird.

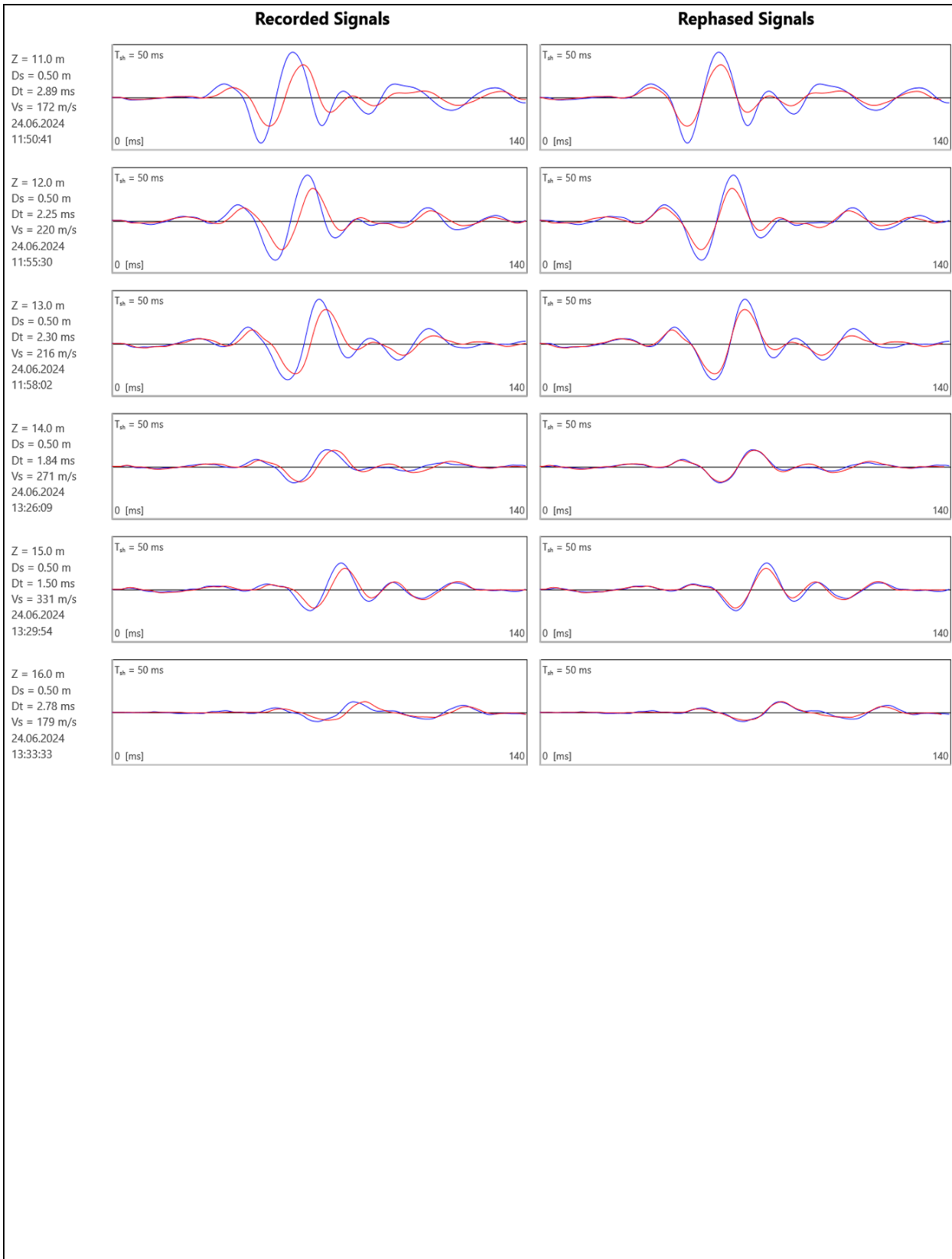
References

- ASTM INTERNATIONAL (2014). Standard Test Methods for Downhole Seismic Testing. *ASTM D7400–14*. West Conshohocken, PA.
- MARCHETTI, S., MONACO, P., TOTANI, G. & MARCHETTI, D. (2008). In situ tests by seismic dilatometer (SDMT). proceedings. From research to practice in geotechnical engineering, *ASCE Geotechnical special publication 180*: 292-311.
- AMOROSO S., MONACO P., LEHANE B. M., MARCHETTI D. (2014). Examination of the potential of the seismic dilatometer (SDMT) to estimate in-situ stiffness decay curves in various soil types. *Soils and rocks* 37(3):177-194.

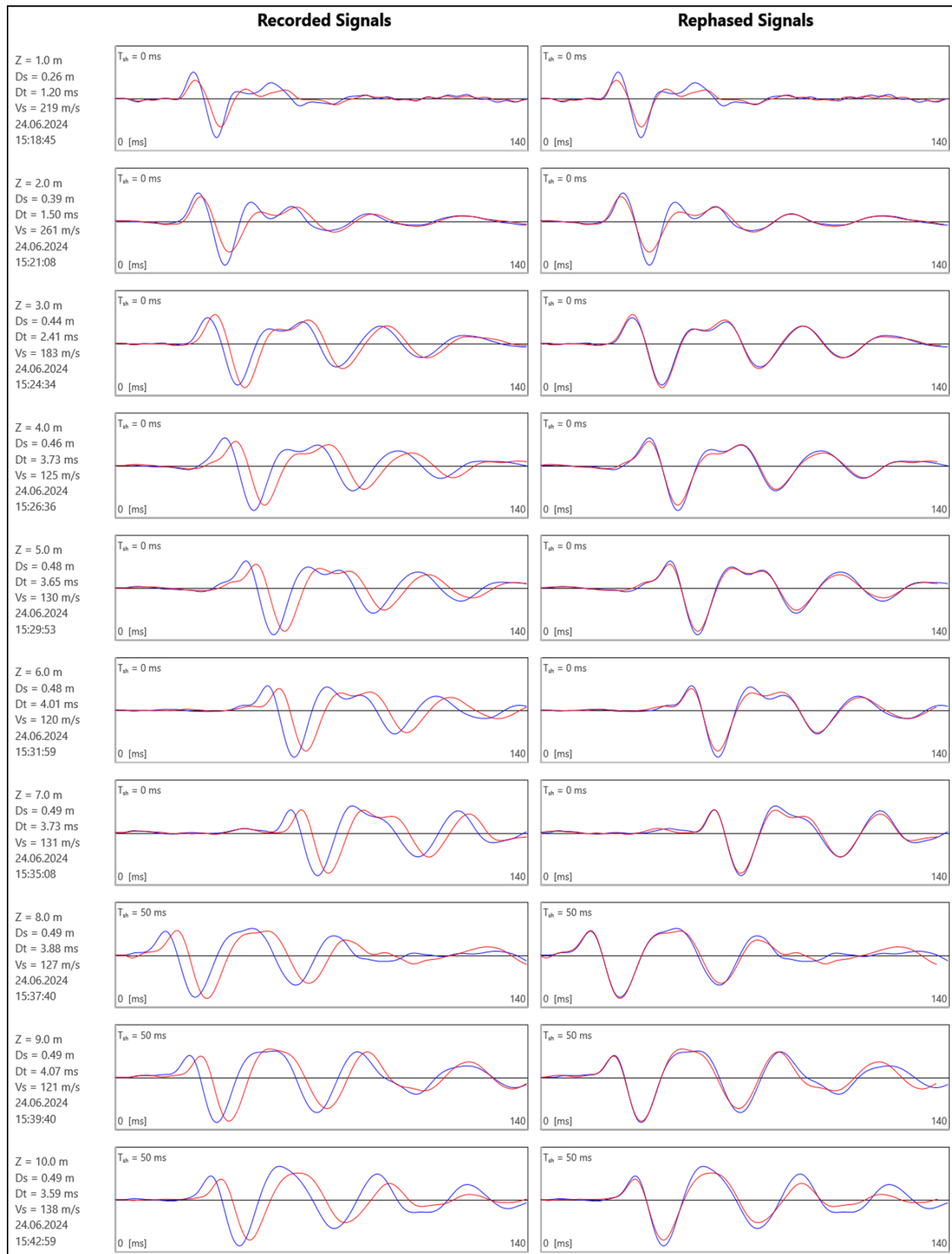
AUFGEZEICHNETE SEISMOGRAMME (SCPTU 1-24)



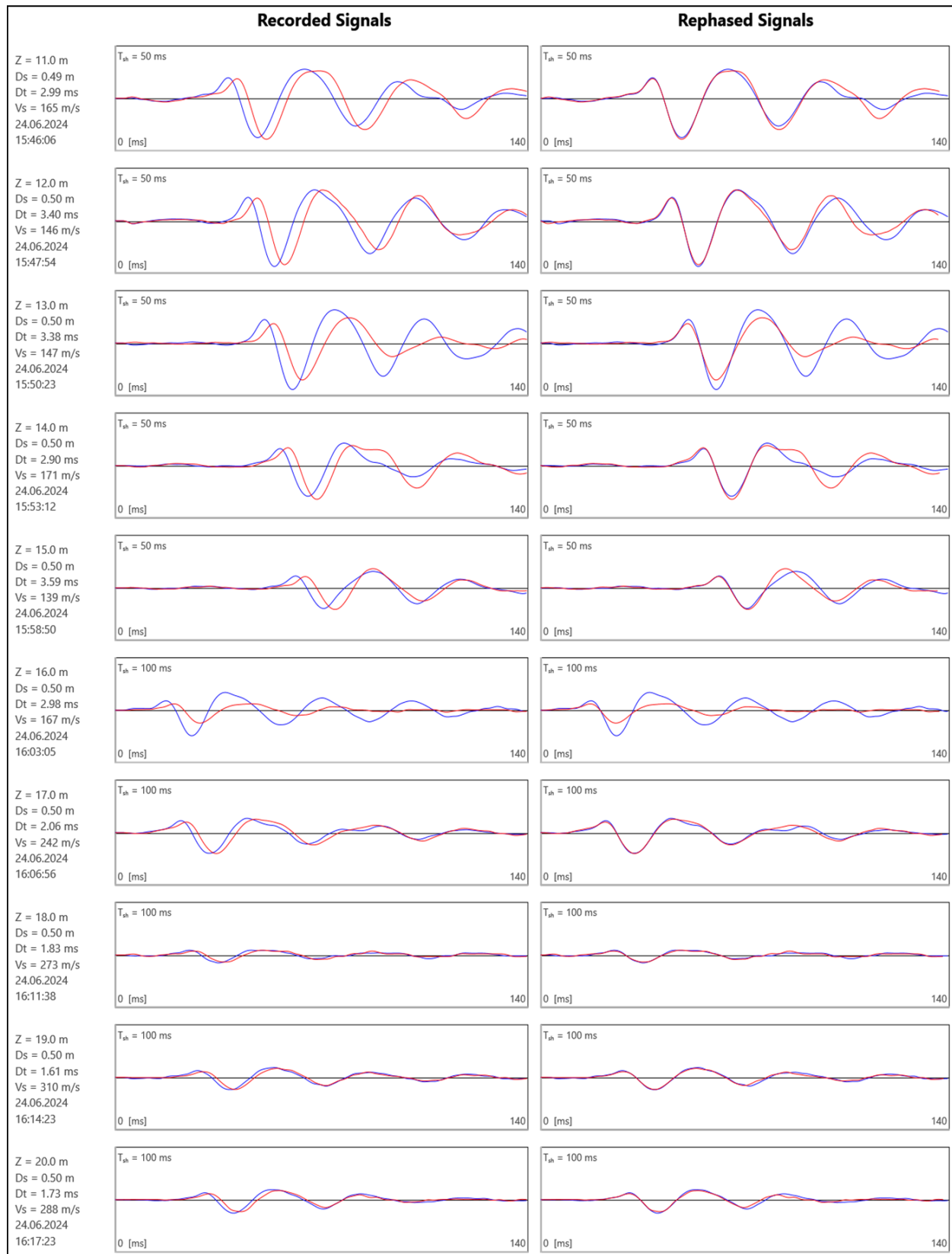
AUFGEZEICHNETE SEISMOGRAMME (SCPTU 1-24)



AUFGEZEICHNETE SEISMOGRAMME (SCPTU 2-24)



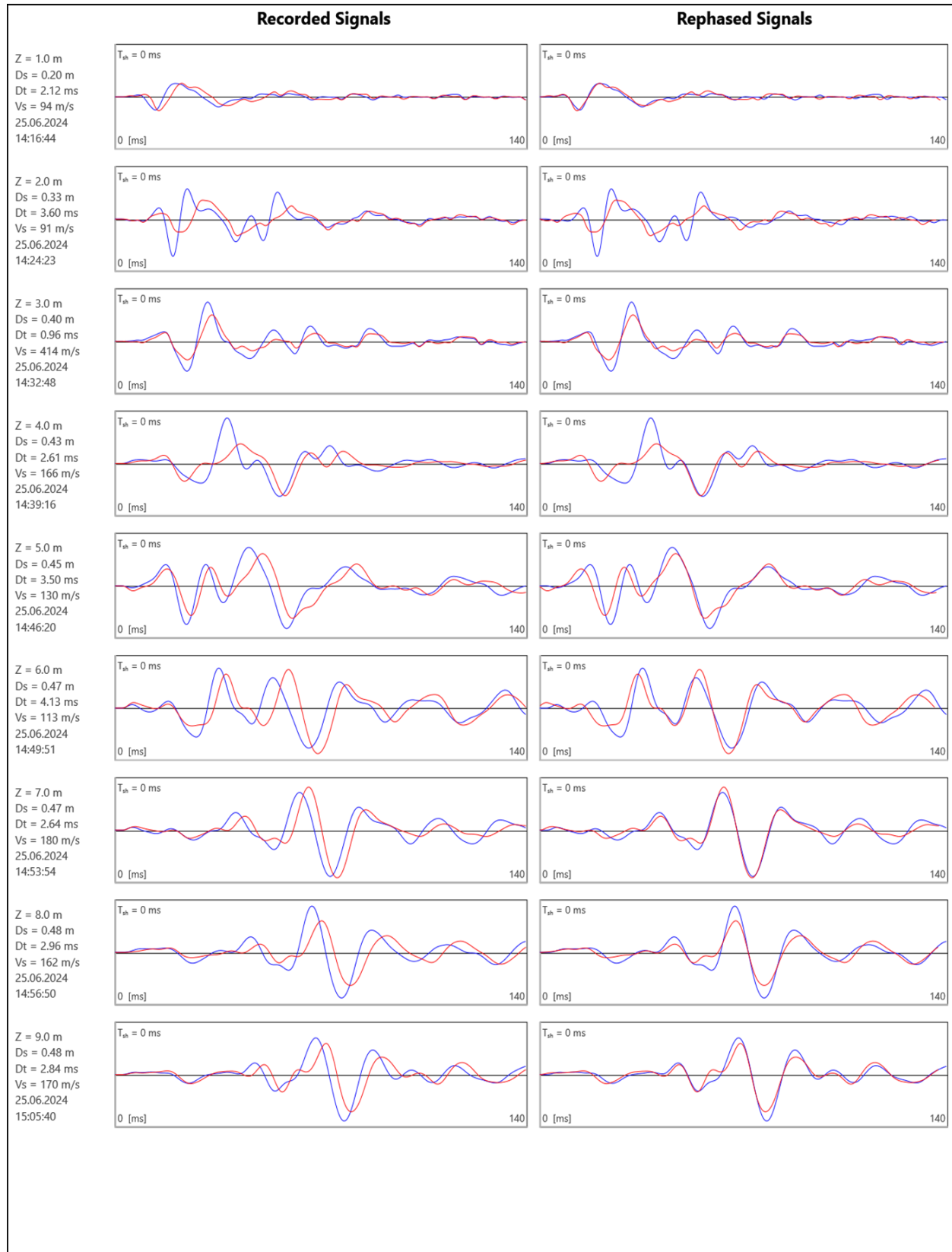
AUFGEZEICHNETE SEISMOGRAMME (SCPTU 2-24)



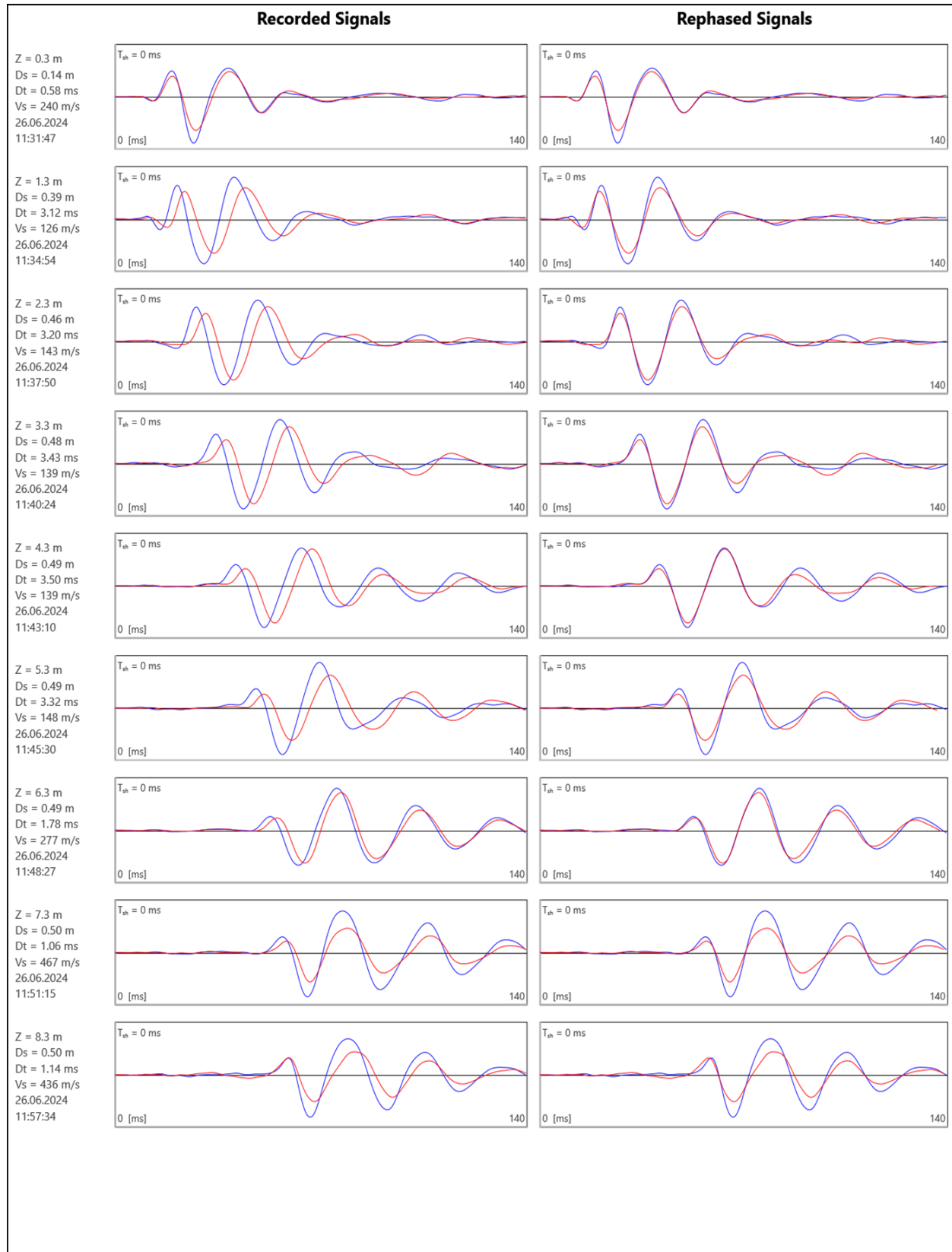
AUFGEZEICHNETE SEISMOGRAMME (SCPTU 6-24)



AUFGEZEICHNETE SEISMOGRAMME (SCPTU 8-24)

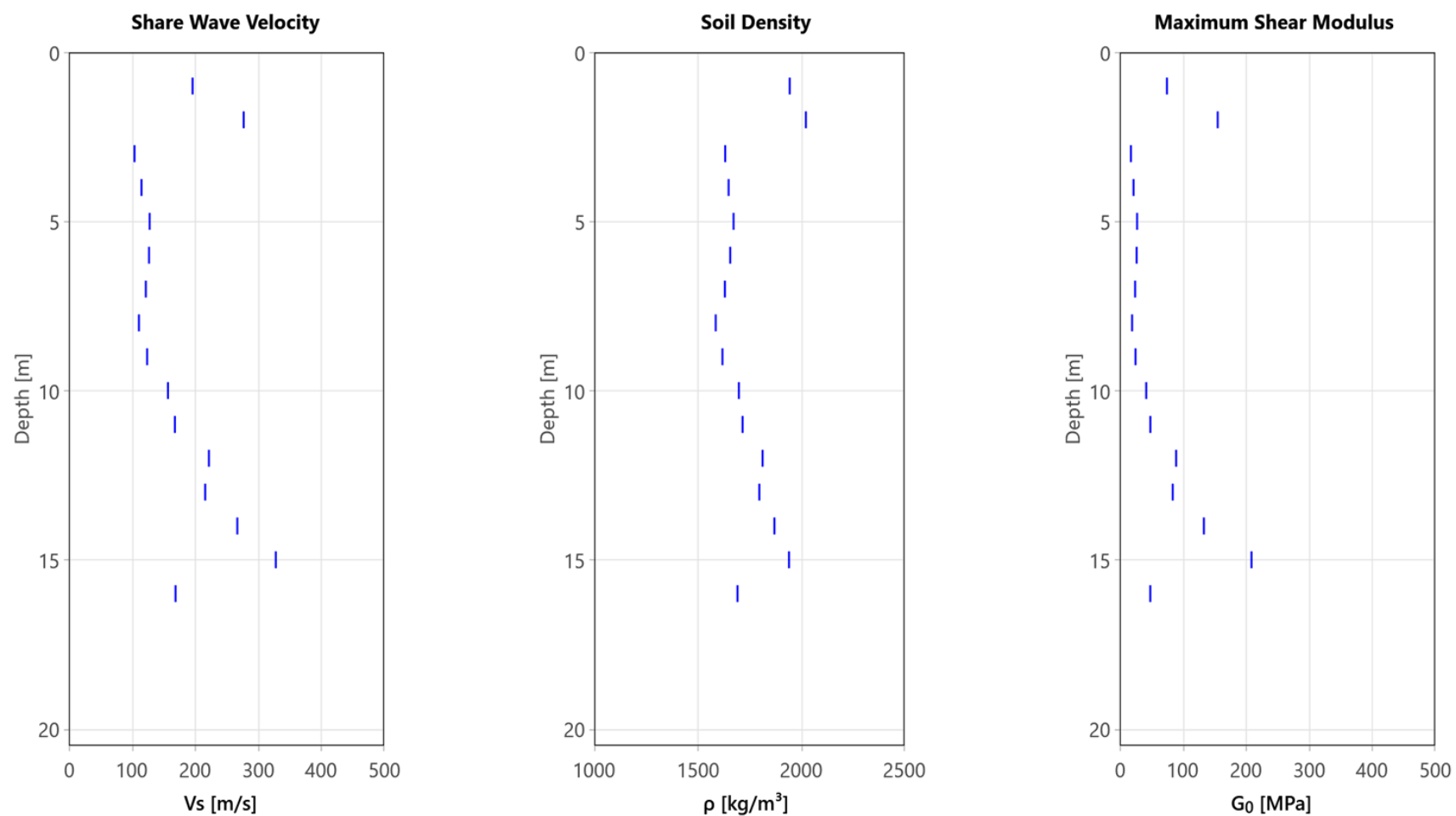


AUFGEZEICHNETE SEISMOGRAMME (SCPTU 15-24)



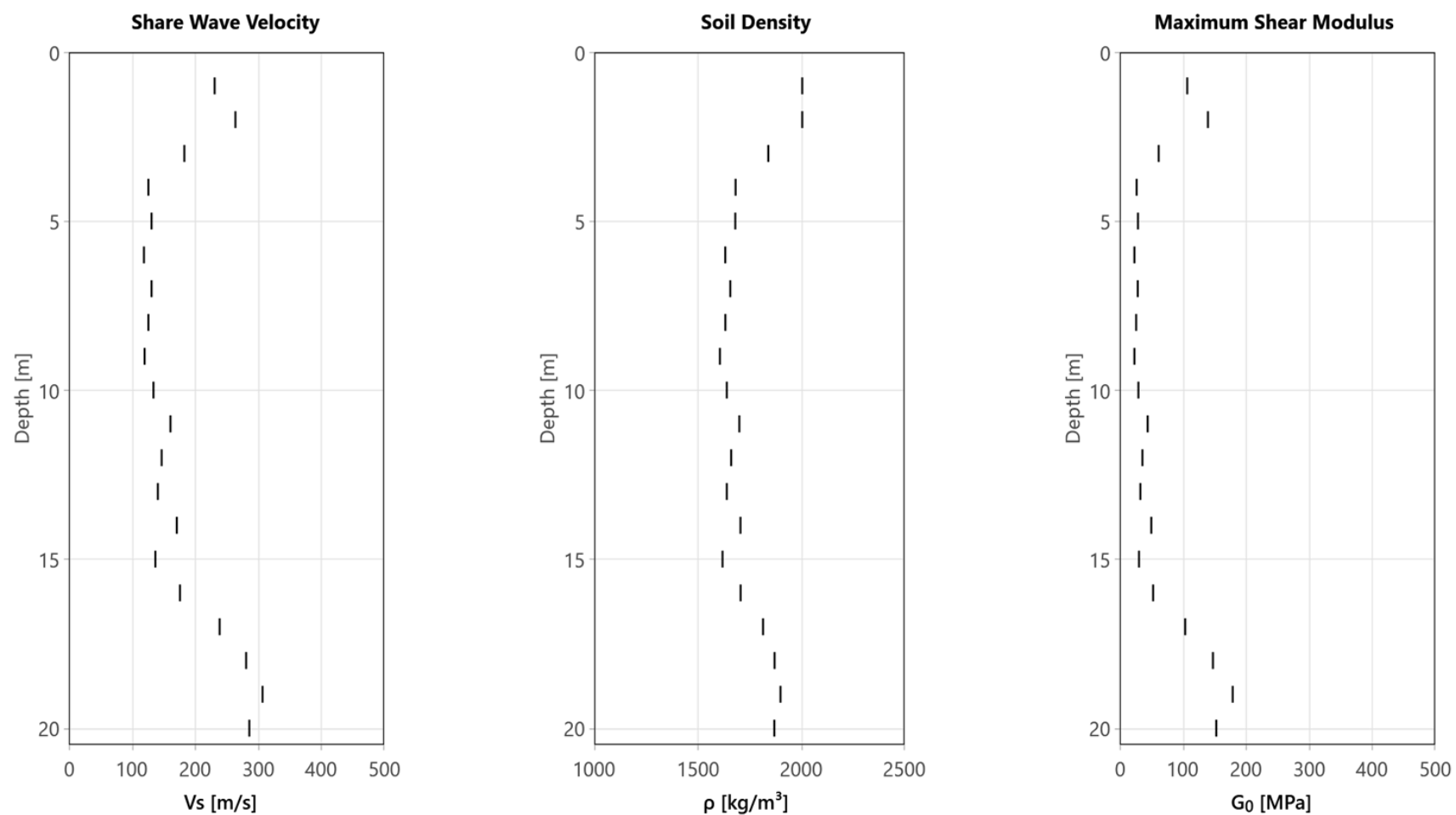
GEOTECHNISCHE KENNWERTE (SCPTU 1-24)

S-wave



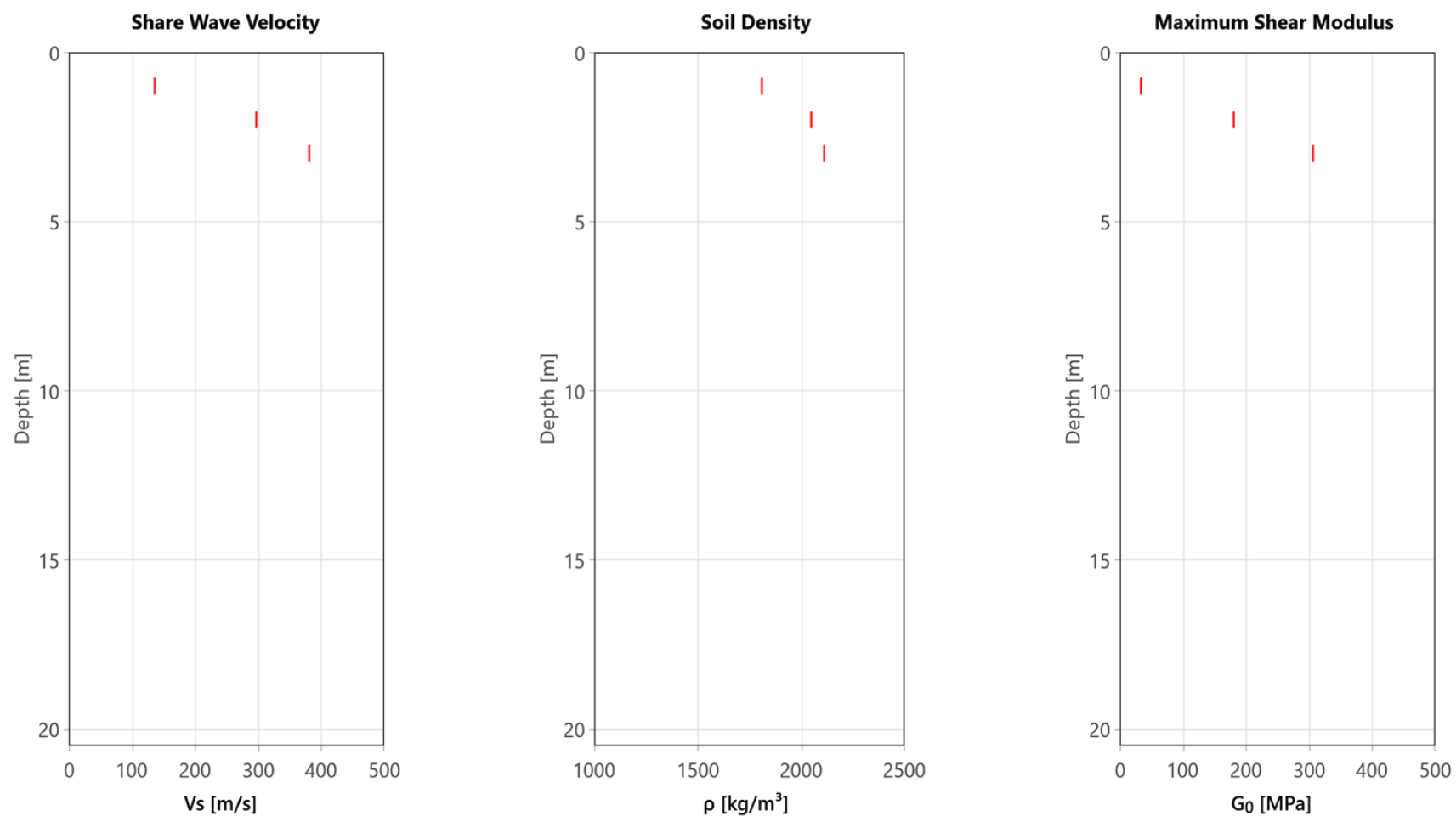
GEOTECHNISCHE KENNWERTE (SCPTU 2-24)

S-wave



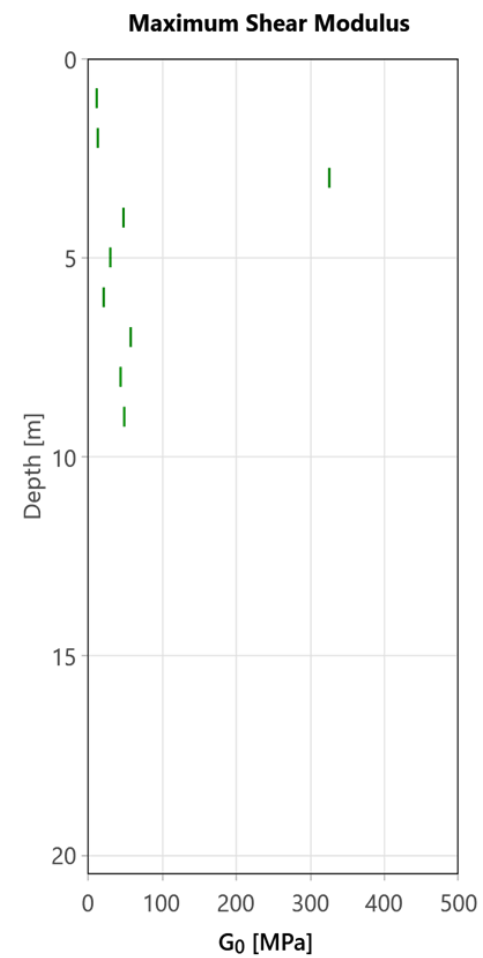
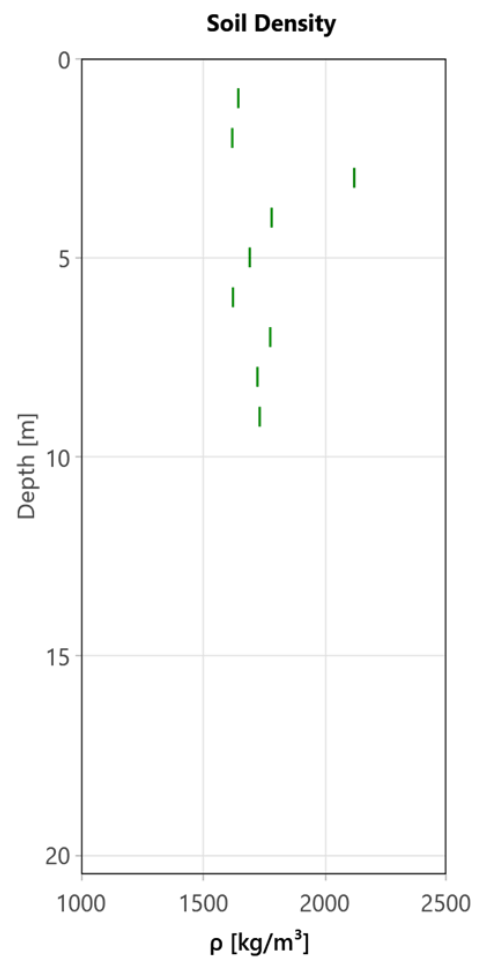
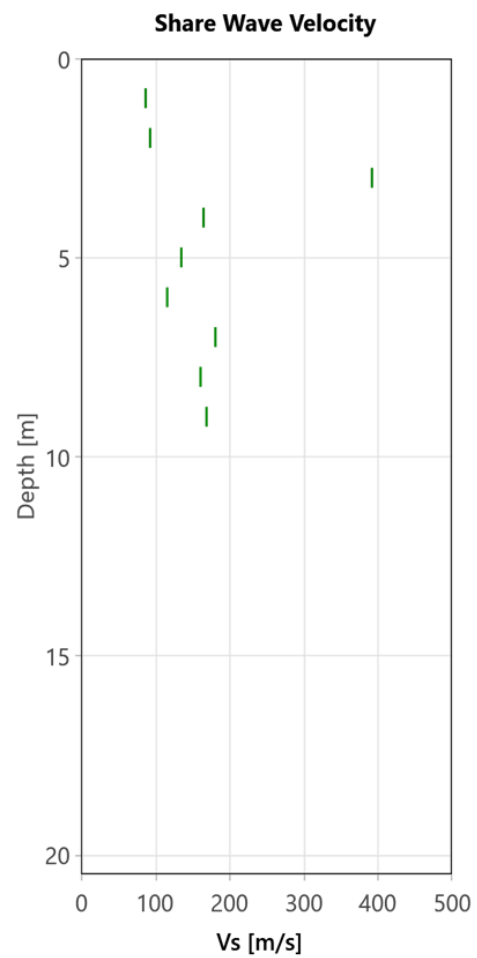
GEOTECHNISCHE KENNWERTE (SCPTU 6-24)

S-wave



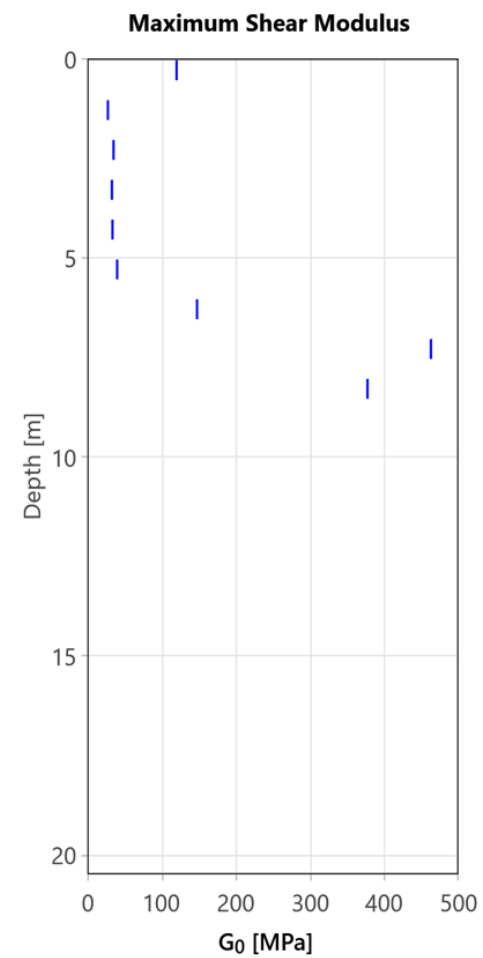
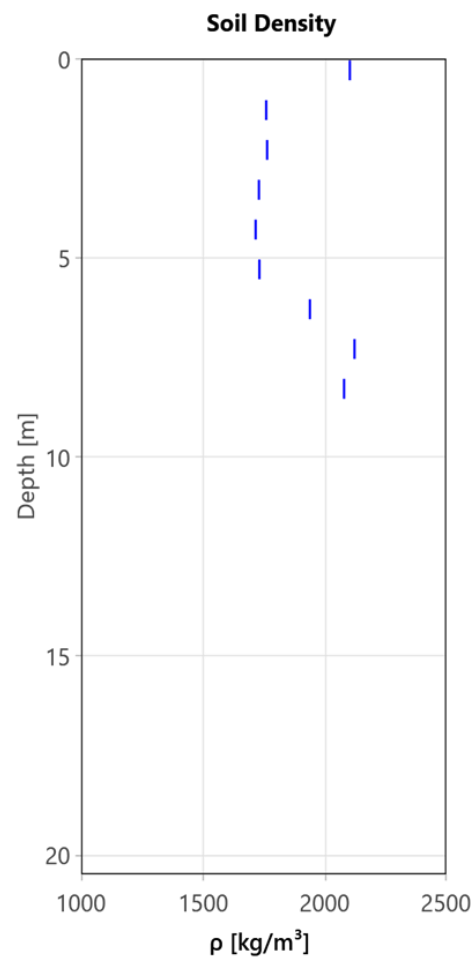
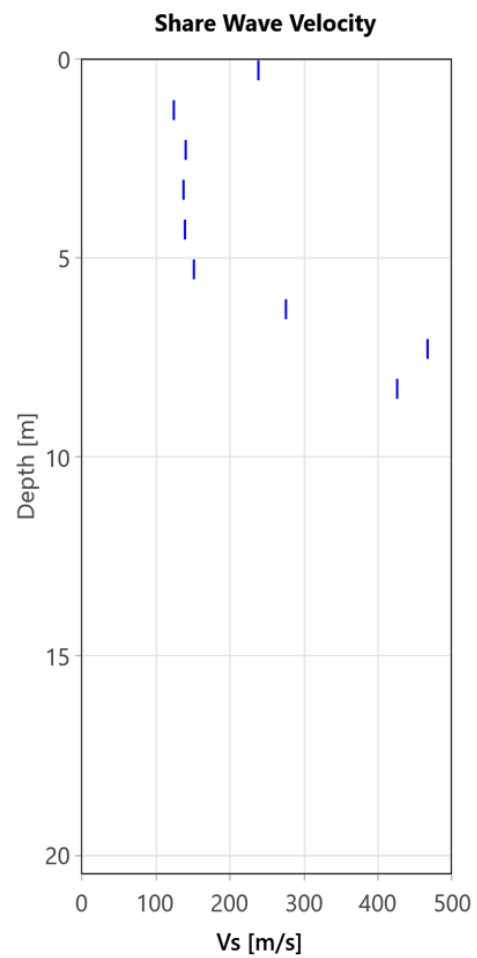
GEOTECHNISCHE KENNWERTE (SCPTU 8-24)

S-wave

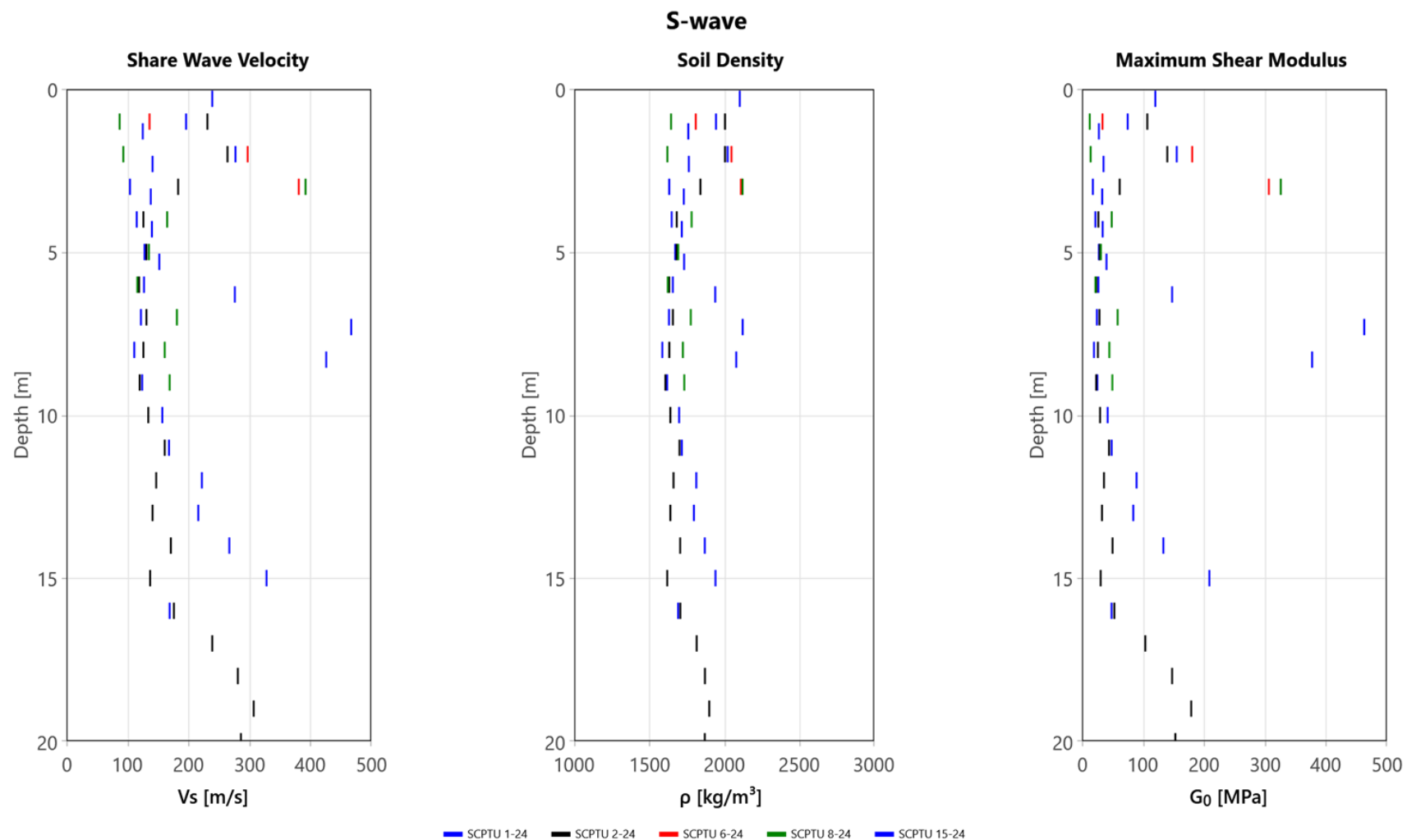


GEOTECHNISCHE KENNWERTE (SCPTU 15-24)

S-wave



GEOTECHNISCHE KENNWERTE (alle SCPTU)



ANHÄNGE
ALLGEMEINE HINTERGRUNDINFORMATION

INHALT

Anhang 1 : Elektrische Drucksondierung (CPT)

Anhang 2 : Interpretation der elektrischen Drucksondierung (CPT)

Anhang 3 : Rammsondierung (DP)

ALLGEMEINES

Die Drucksondierung (CPT) ist ein Verfahren, das häufig zur Untersuchung des Baugrunds verwendet wird. Hierbei wird der Widerstand des Baugrunds bei konstantem und kontinuierlichem Eindringen mit einem zylindrischen und mit internen Sensoren ausgestatteten Penetrometer bestimmt. Gemessen werden Eindringtiefe (z), Spitzenwiderstand (q_c), lokale Mantelreibung (f_s) und ggf. Porenwasserdruck (u_2) und der vertikale Neigungswinkel (i_x bzw. i_y). Die Ergebnisse ermöglichen eindeutige Rückschlüsse auf die Beschaffenheit des Baugrunds.

Die von Geoprofile für die Drucksondierung angewandten Verfahren und verwendeten Geräte richten sich nach ISO EN 22476-1 und den Regelungen der Veröffentlichung "International Reference Test Procedure" der internationalen Gesellschaft für Grundbau und Bodenmechanik (ISSMGE, 1999).

Wenn nicht anders vereinbart, gelten die folgenden Kriterien für die Beendigung des Versuchs:

- das Erreichen der gewünschten Eindringtiefe,
- die Abweichung von der Vertikale ist grösser als 15° ,
- die Abweichung von der Vertikale vergrössert sich plötzlich,
- das Erreichen der Höchstleistung des Druckgerätes, der Auflagevorrichtung, der Schubstangen und/oder der Messsensoren,
- Umstände im Ermessen des Sondiermeisters, wie z.B. das Risiko von Sach- oder Personenschaden.

ERGEBNISSE

Die Darstellung der Ergebnisse der Drucksondierungen umfasst:

- die Parameter q_c , f_s und R_f sowie u_2 in Abhängigkeit der Tiefe unter der Erdoberfläche,
- fakultativ die Parameter q_t , q_n und B_q bei Versuchen mit Porendruckmessungen,
- fakultativ den Neigungswinkel i bei Versuchen mit Winkelmessungen.

Als Bezugswert der Versuche gilt die Erdoberfläche. Die Definition der einzelnen Parameter ist wie folgt:

z = Eindringtiefe in die Erdoberfläche, bezüglich des vertikalen Neigungswinkels (i) korrigiert:

$$z = \int_0^l \cos i \cdot dl$$

dabei ist:

z = Eindringtiefe

l = Eindringlänge

i = vertikaler Neigungswinkel

q_c = Spitzenwiderstand bezüglich der Referenzwerte des Versuchs.

f_s = lokale Mantelreibung. Die Tiefe wird so korrigiert, dass die (hinter der Spitze gemessene) Mantelreibung sich auf die Tiefe der Sondierspitze bezieht.

R_f = Verhältnis der Mantelreibung zum Spitzenwiderstand (f_s/q_c).

u_2 = Porendruck direkt hinter der Sondierspitze (Position 2). Die Tiefe wird so korrigiert, dass der gemessene Porenwasserdruck sich auf die Tiefe der Sondierspitze bezieht.

Während der Versuchsdurchführung kann es u.U. zu einem Sättigungsverlust des Filterelementes kommen (Lunne et al., 1997). Zu den möglichen Gründen zählen:

- Eindringen in einen teilweise gesättigten Boden;
- Das Auftreten von negativem Porenwasserdruck, so dass es zu Kavitation kommt. Dies kann zum Beispiel beim Eindringen in einen dicht gelagerten Sand oder einen überkonsolidierten Ton auftreten.

Ein Sättigungsverlust führt normalerweise zu einem geringeren Porendruck beim Eindringen in den Boden unterhalb dieser Zone.

q_t = Totaler Spitzenwiderstand. Diese Kenngrösse beinhaltet Korrekturen für den hydrostatischen und den transienten Porendruck sowie für die Konstruktion der Sondierspitze:

$$q_t = q_c + (1-a)u_2$$

Dabei gilt:

a = Netto-Flächenverhältnis des Querschnitts der Stahlfläche in der Öffnung zwischen der Sondierspitze und der Reibungshülse. Dieses Verhältnis ist von der Art des Penetrometers abhängig.

q_n = $q_t - \sigma_{vo}$ = Netto-Spitzenwiderstand. Diese Kenngrösse beinhaltet Korrekturen für den hydrostatischen und den transienten Porendruck sowie für die Konstruktion der Sondierspitze und die In-Situ Spannung im Untergrund. Dabei gilt:

σ_{vo} = totale vertikale In-Situ Spannung im Bereich der Sondierspitze. Dieser Wert ist berechnet.

B_q = Porendruckverhältnis:

$$B_q = (u_2 - u_o) / q_n \quad \text{mit}$$

u_o = hydrostatischer Porenwasserdruck im Bereich der Sondierspitze. Es handelt sich um einen

berechneten Wert.

WEITERE MESSUNGEN

Mit der elektrischen Drucksondierung können weitere Messungen vorgenommen werden:

- Messung des hydrostatischen Wasserdrucks in einer bestimmten Tiefe;
- Dissipations-Test. Hierbei wird die Verringerung des transienten Porenwasserdrucks als Funktion der Zeit gemessen. Die Resultate erlauben Rückschlüsse auf die horizontale Durchlässigkeit von feinkörnigen Schichten und somit auf die benötigte Zeit bis zum Abklingen der primären Setzungen.
- Prüfung des Reibungs-Aufbaus. Hierbei wird die Zunahme der lokalen Mantelreibung nach einer Unterbrechung des Sondiervorgangs gemessen. Die Resultate erlauben Rückschlüsse auf die zeitlichen Entwicklung der Mantelreibung entlang eines Pfahlschafts.

Für die Durchführung dieser zusätzlichen Messungen muss der Sondiervorgang angehalten werden.

LITERATURANGABEN

CEN (2005), "Geotechnische Erkundung und Untersuchung - Felduntersuchungen - Teil 1: Drucksondierungen mit elektrischen Messwertaufnehmern und Messeinrichtungen für den Porenwasserdruck (ISO EN 22476-1:2005)

ISSMGE International Society of Soil Mechanics and Geotechnical Engineering (1999), "International Reference Test Procedure for the Cone Penetration Test (CPT) and the Cone Penetration Test with Pore Pressure (CPTU)", Bericht vom ISSMGE Technical Committee 16 bzgl. der Bestimmung von Baugrundeigenschaften mittels in-situ Prüfverfahren, Proceedings of the Twelfth European Conference on Soil Mechanics and Geotechnical Engineering, Amsterdam, editiert Barends et al., Vol. 3, pp. 2195-2222.

Lunne, T. (1999), "Special Workshop – Investigation Methods", Proceedings of the Twelfth European Conference on Soil Mechanics and Geotechnical Engineering, Amsterdam, editiert Barends et al., Additional Volume, pp. 51-52.

EINLEITUNG

Das vorliegende Dokument gibt einen Überblick der verwendeten Auswertungsmethoden für die Testergebnisse von Drucksondierungen. Die Eignung der einzelnen Methoden hängt unter anderem von den Anforderungen des jeweiligen Projektes ab und muss durch einen Geotechnik-Ingenieur beurteilt werden.

Die Auswertung von Drucksondierungsversuchsergebnissen hilft bei der Festlegung von Parametern für geotechnische Modelle. Die konventionellen Modelle stützen sich normalerweise auf die Plastizitätstheorie für den Grenzzustand der Tragfähigkeit und auf die Elastizitäts- und Konsolidierungstheorie für den Grenzzustand der Gebrauchstauglichkeit (CEN, 1994). Merkmale für solche geotechnischen Modelle sind:

- eine Analyse des Verhaltens in drainiertem oder undrainiertem Zustand für Plastizitätsmodelle
- die Analyse für den Grenzzustand der Tragfähigkeit unterscheidet sich von der für den Grenzzustand der Gebrauchstauglichkeit.

Die Auswertungsmethoden für Drucksondierungen basieren meist auf empirischen Korrelationen mit theoretischem Hintergrund. Die Datenintegration mit anderen, zusätzlichen Untersuchungstechniken wie Bohrungen und Laborversuchen erhöht den Grad der Zuverlässigkeit. Lunne et al. (1997) geben einen Überblick über verschiedene Auswertungsmethoden.

Die unten erläuterten Bewertungsmethoden unterliegen einigen Einschränkungen:

- Empirische Korrelationen beziehen sich auf Referenzparameter, welche in einem festgelegten Referenzverfahren gemessen wurden. So bezieht sich die mit einem N_{KT} -Faktor von Sondiererergebnissen abgeleitete undrainierte Scherfestigkeit auf denen, welche in einem einstufigen, isotrop konsolidierten, undrainierten Triaxialversuch (CIU) an einer ungestörten Bodenprobe im Labor ermittelt wurde. Der Bezugsparameter ist nicht unbedingt dem gewählten geotechnischen Modell angemessen, so dass eine Anpassung erforderlich sein könnte.
- Die meisten Bewertungsmethoden gelten meistens für einen Sand oder einen Ton. Bei Silt, Ton/Sand/Kies Mischungen, sehr dünn geschichteten Böden, zementierten Schichten und/oder Verwitterungsböden kann es zu Abweichungen kommen. Im Falle von solchen Schichten muss spezifisch vorgegangen werden (Peuchen et al., 1996; Lunne et al., 1995).
- Die Auswertungen beziehen sich auf die Bedingungen zu Beginn der geotechnischen Untersuchungen. Geologische und umwelttechnische Faktoren sowie Bauarbeiten können die vorgefundenen Baugrundverhältnisse verändern.
- Die Drucksondierung gibt nur bedingt direkte Information über den Grenzzustand der Gebrauchstauglichkeit (Verformungen), da beim Eindringen der umliegende Boden stark deformiert wird. Im Vergleich zum Grenzzustand der Tragfähigkeit können genauere zusätzliche Daten erforderlich sein.

- Drainiertes oder undrainiertes Verhalten für die geotechnische Analyse kann dem jeweiligen drainierten oder undrainierten Verhalten während dem Sondiervorgang entsprechen, muss dies aber nicht. Es ist Aufgabe des Geotechnik-Ingenieurs zu beurteilen, welches Verhalten für die geotechnische Fragestellung relevant ist.

EINDRINGVERHALTEN

Während des Sondiervorgangs treten grössere Deformationen in unmittelbarer Nähe, und kleinere elastische Deformationen in grösserem Abstand des Penetrometers auf. Die Zusammensetzung der einzelnen Schichten, die Lagerungsdichte, die Struktur und die In-Situ Spannungsverhältnisse beeinflussen die Messgrössen.

Der gemessene Spitzenwiderstand q_c wird unter anderem durch den Porenwasserdruck beeinflusst. Da das Verhältnis effektiver Spannung zum Porendruck in grobkörnigen Schichten hoch ist, kann dieser Einfluss normalerweise vernachlässigt werden. Beim Eindringen in Ton ist dasselbe Verhältnis jedoch niedrig. Es kann somit wichtig sein zu wissen, wie hoch der Porendruck um das Penetrometer herum ist. Zu den Parametern, die die Auswirkungen des Porendrucks berücksichtigen, zählen der Gesamtspitzenwiderstand q_t , der Netto-Spitzenwiderstand q_n und das Porendruckverhältnis B_q . Diese Parameter können berechnet werden, wenn Daten bezüglich des Porenwasserdrucks vorliegen. Die Auswirkungen des Porendrucks auf die Mantelreibung f_s sind sehr gering und werden üblicherweise ignoriert. Die Berechnung des Reibungsverhältnisses R_f (definiert als f_s/q_c) lässt keine Rückschlüsse auf die Auswirkungen des Porendrucks zu.

Die Eindringgeschwindigkeit in Bezug auf die Durchlässigkeit des Bodens bestimmt, ob das Bodenverhalten in erster Linie undrainiert, drainiert oder teilweise drainiert ist. Normalerweise ist das Bodenverhalten bei Drucksondierungen in Sand und Kies drainiert (es gibt keinen messbaren, aufgrund des Sondiervorgangs hervorgerufenen Porenwasserüberdruck) und in Ton undrainiert (bedeutende Änderung des Porenwasserdrucks). Teilweise drainiert ist es bei Böden mit mittlerer Durchlässigkeit, wie z. B. bei Silt. Die folgenden Abschnitte gehen näher auf die Ermittlung von geotechnischen Parametern aufgrund von elektrischen Drucksondierungen ein.

KLASSIFIZIERUNG

Die Klassifizierung der verschiedenen Schichten in Bezug auf das allgemeine Bodenverhalten (und in eingeschränkter Masse die Bodenart) ist, im Vergleich mit anderen Ermittlungstechniken, ein wichtiger Teil der Drucksondierung.

Die Klassifizierung des Bodenverhaltens steht im Einklang mit der von Robertson (1990) beschriebenen Vorgehensweise. Diese betrachtet eine normalisierte Klassifizierung des Bodenverhaltens, die eine allgemeine Leitlinie zur Bestimmung der wahrscheinlichen Bodenart (z. B. Sand, siltig) gibt. Hierzu sind Daten einer Porenwasserdrucksondierung nötig. Es besteht eine vereinfachte Vorgehensweise für Ergebnisse ohne Messung des Porenwasserdrucks (Robertson et al., 1986).

IN-SITU SPANNUNGSVERHÄLTNISSE

Die Spannungsverhältnisse im Baugrund müssen bekannt sein, damit Parameter wie die bezogene Lagerungsdichte I_D und der innere Reibungswinkel φ' ermittelt werden können. Die effektive vertikale Spannung σ'_v kann berechnet werden, jedoch ist die effektive horizontale Spannung $\sigma'_{ho} = K_0 \sigma'_{vo}$ meist unbekannt und hängt primär vom Überkonsolidierungsgrad OCR [-] und dem effektiven inneren Reibungswinkel φ' [°] ab:

$$K_0 = (1 - \sin \varphi') \cdot OCR^{\sin \varphi'} \quad [1]$$

Für eine Erklärung der verwendeten Symbole siehe Anhang „elektrische Drucksondierung (CPT)“, insofern nicht anders erwähnt. Der Zusammenhang basiert auf mechanischer Überkonsolidierung von rekonstituierten Probekörpern im Labor. Überkonsolidierung kann in der Natur durch geologische Faktoren wie z.B. glaziale Vorbelastung und Erosion, aber auch durch Grundwasserschwankungen und das Altern der Ablagerungen („ageing“) hervorgerufen werden. Normalerweise bewegen sich In-Situ Werte für K_0 für Tiefen bis zu 50 m zwischen 0.4 und 2.0. In grösseren Tiefen (> 50 m) beträgt dieser Ruhedruckkoeffizient üblicherweise weniger als 1.

Der maximale passive Erddruck stellt eine Obergrenze für die effektive horizontale Spannung dar. Der Koeffizient des passiven Erddrucks richtet sich unter Vernachlässigung einer allfälligen Kohäsion nach:

$$K_p = \frac{1 + \sin \varphi'}{1 - \sin \varphi'} \quad [2]$$

Wenn die effektive horizontale Spannung das Niveau des passiven Erddrucks erreicht, können Risse im Erdreich entstehen. In ausgetrockneten Tonen kann auch früher Rissbildung auftreten. In verkitteten Schichten kann aufgrund der vorhandenen Kohäsion ein horizontaler Erddruck vorhanden sein, welcher grösser ist als oben beschrieben. Die Kombination der Beziehung für K_0 und K_p ergibt eine Obergrenze für die Überkonsolidierung:

$$OCR_{\max} = \left[\frac{1 + \sin \varphi'}{(1 - \sin \varphi')^2} \right]^{\frac{1}{\sin \varphi'}} \quad [3]$$

Für einen Ton kann der maximale Überkonsolidierungsgrad OCR_{\max} somit weniger als 4, für einen Sand jedoch mehr als 50 betragen.

Der Überkonsolidierungsgrad von feinkörnigen Sedimenten kann direkt aus den Sondierergebnissen abgeleitet werden (Kulhawy und Mayne, 1990):

$$OCR = \alpha \cdot (q_T - \sigma_v) \quad [4]$$

Kulhawy und Mayne schlagen einen α -Wert von 0.3 [-] vor. Die Korrelation von elektrischen Drucksondierungen mit ausgewerteten Oedometer-Versuchen für Tone und Silte in der Schweiz suggeriert, dass ein Wert von 0.25 den Schweizer Verhältnissen besser angemessen sein dürfte. Geoprofile GmbH legt der Abschätzung des Überkonsolidierungsgrades (OCR) einen α -Wert von 0.25 zugrunde, was im Vergleich zu Kulhawy und Mayne zu einem etwas tieferen Überkonsolidierungsgrad führt.

Für Sande und Kiessande kann der Überkonsolidierungsgrad wie folgt abgeschätzt werden:

$$OCR = \left[\frac{0.192 \cdot (q_t / p_{atm})^{0.22}}{(1 - \sin \varphi')(\sigma'_{vo} / p_{atm})^{0.31}} \right]^{\frac{1}{\sin \varphi' - 0.27}}$$

wobei p_{atm} den atmosphärischen Druck bezeichnet.

Der maximale Vorkonsolidierungsdruck σ'_p ergibt sich aus der Multiplikation mit der effektiven vertikalen Spannung In-Situ:

$$\sigma'_p = \sigma'_{vo} \cdot OCR \quad [5]$$

Wird zudem der effektive innere Reibungswinkel φ' ermittelt, ist gemäss [1] auch der horizontale Erdruchedruck bekannt.

EFFEKTIVE SCHEREIGENSCHAFTEN

Der effektive innere Reibungswinkel φ' ist keine Konstante. Er hängt neben der Zusammensetzung (Mineralogie, Kornform und -rauheit) und der Lagerungsdichte zudem von den Spannungsverhältnissen im Erdreich und dem Abschermodus ab. Es gibt Hinweise dafür, dass Faktoren wie der Sedimentationsmodus oder die In-Situ Spannungsanisotropie weniger von Bedeutung sind.

Die ermittelten Werte der effektiven Reibungswinkel beziehen sich auf das In-Situ Spannungsniveau während der Sondierung. Dies dürfte z.B. für die Berechnung der Stabilität einer Böschung angemessen sein. Im Falle einer signifikanten Erhöhung der Spannungsverhältnisse, wie z.B. bei einer Aufschüttung oder einer Pfahlgründung, muss der effektive Reibungswinkel für Sand und Kiessand den neuen Verhältnissen angepasst werden, was meistens eine Verringerung der Scherparameter bedeutet. Das Verfahren nach Bolton (1986, 1987) stellt dazu eine breit akzeptierte Methode dar. Da der kritische Reibungswinkel φ'_{krit} im Falle von feinkörnigen Böden bereits bei einem geringen Spannungsniveau erreicht wird, ist die Abstufung von effektiven Scherparametern für Ton und Silt weniger üblich.

Das Verhältnis des inneren Reibungswinkels φ' zum Spitzenwiderstand q_c kann auf mehr oder weniger aufwendige Art und Weise ermittelt werden. Einfache Vorgehensweisen stützen sich auf eine konservative Klassifizierung des Bodenverhaltens. Eine aufwendigere empirische Untersuchung berücksichtigt zudem die In-Situ Spannungsverhältnisse σ'_{vo} und σ'_{ho} (siehe Abschnitt „In-Situ Spannungsverhältnisse“). Zudem kann die Lagerungsdichte explizit miteinbezogen werden. Neuere Ansätze verzichten jedoch darauf und berücksichtigen die Lagerungsdichte mit dem Einbezug von q_c nur implizit, da bei der Abschätzung der Lagerungsdichte zusätzliche Unsicherheiten eingebracht werden.

Eine Überprüfung der Ergebnisse von Drucksondierungen in mit Sand gefüllten Kalibrationskammern erlaubt die Abschätzung des effektiven inneren Reibungswinkels φ' für dieses Material (Kulhawy und Mayne, 1990):

$$\varphi' = 17.6 + 11 \cdot \log(q_{t1}) \quad [6]$$

$$q_{t1} = \frac{q_t / p_{atm}}{\sqrt{\sigma'_{vo} / p_{atm}}} \quad [p_{atm} = \text{atmosphärischer Druck} \approx 100 \text{ kPa}] \quad [7]$$

Als Referenzverfahren gelten axial belastete Triaxialprüfungen von isotrop und anisotrop konsolidierten Sandproben (CID und CAD). Die Korrelation enthält im Vergleich zu früheren Gleichungen (z.B. Robertson und Campanella, 1983) eine Korrektur für die Grösse der Kalibrationskammer im Vergleich zur Sondierspitze.

Die Abschätzung der effektiven Scherparameter für fein- und gemischtkörnige Ablagerungen beruht auf einer Form der Tragfähigkeitsformel (Senneset et al., 1988, 1989):

$$q_n = N_m (\sigma'_{vo} + a) \quad [9]$$

wobei:

$$N_m = \frac{N_q - 1}{1 + N_u B_q} \quad [10]$$

$$N_q = \tan^2 \left(45 + \frac{1}{2} \varphi' \right) e^{(\pi - 2\beta) \tan \varphi'} \quad [11]$$

$$N_u = 6 \tan \varphi' (1 + \varphi') \quad [12]$$

β = Plastifizierungswinkel

a = Anziehung

Dazu muss der Plastifizierungswinkel und die Anziehung („attraction“) abgeschätzt werden. Senneset et al. geben Richtwerte für verschiedenen Materialien als Funktion der Konsistenz bzw. der Lagerungsdichte. Die Abschätzung des effektiven inneren Reibungswinkels ist relativ unabhängig von den gewählten Werten für β und a . Die von Geoprofile gewählte Vorgehensweise basiert auf einer vorsichtigen Schätzung der beiden Parameter.

Die Abschätzung der effektiven Kohäsion für feinkörnige Schichten richtet sich nach dem maximalen Vorkonsolidierungsdruck σ'_p (Mesri und El-Ghaffar, 1993):

$$c' = 0.024 \cdot \sigma'_p \quad [13]$$

Für die Bestimmung des maximalen Vorkonsolidierungsdrucks σ'_p siehe den Abschnitt „In-Situ Spannungsverhältnisse“. Die Integration von weiteren geotechnischen Datensätzen für die Ermittlung der effektiven Kohäsion ist empfehlenswert. Ob die Anwendung einer effektiven Kohäsion hinsichtlich der geotechnischen Fragestellung und dem nicht-linearen Verlauf der Einhüllende sinnvoll ist, muss durch einen Geotechnik-Ingenieur beurteilt werden. Für Langzeit-Analysen kann es angebracht sein, die effektive Kohäsion vollständig zu vernachlässigen.

BEZOGENE LAGERUNGSDICHTE

Die Bestimmung des minimalen und des maximalen Porenraums der Sandproben im Labor (e_{\min} und e_{\max}) bildet die Grundlage für den Begriff der bezogenen Lagerungsdichte. Es ist unwahrscheinlich, dass bei den Laborversuchen tatsächlich der niedrigsten oder der höchsten Wert für den Porenraum e_{\max} bzw. e_{\min} ermittelt wird. Das In-Situ Raumgewicht kann somit den im Labor erfassten Wert übertreffen.

Übliche Zusammenhänge zwischen q_c und der bezogenen Lagerungsdichte I_D basieren auf Drucksondierungen in einer mit Sand gefüllten Kalibrationskammer. Derartige Versuche sind Teil von allgemeinen geotechnischen Forschungsprojekten und unterliegen einigen Beschränkungen, wie z. B.:

- Abhängigkeit von der Bodenart
- Ungenauigkeiten bei der Bestimmung von I_D im Labor
- begrenzte Bandbreite an Spannungshöhen und K_0 Werten
- Vereinfachungen bei der Probenvorbereitung und den Aufzeichnungen zur Bodenspannung

Folgende Schritte dienen zur Bestimmung der Lagerungsdichte (locker, dicht, etc.) vor Ort:

- (a) Schätzung der In-Situ Spannungsverhältnisse σ'_{vo} und σ'_{ho}
- (b) Empirische Korrelation der bezogenen Lagerungsdichte I_D mit q_c , σ'_{vo} und σ'_{ho}

Die Abschätzung der In-Situ Spannungsverhältnisse wurde oben erläutert. Sind zudem allgemeine Angaben zur Kompressibilität des Sands vorhanden, sollten diese in die Beurteilung der bezogenen Lagerungsdichte miteinbezogen werden. Die Kompressibilität eines Sands nimmt tendenziell zu mit zunehmender Uniformität der Korngrösseverteilung, mit der Eckigkeit der einzelnen Körner und mit zunehmendem Feinanteil.

Die Abschätzung der bezogenen Lagerungsdichte richtet sich nach Kulhawy und Mayne (1990):

$$I_D^2 = \frac{q_{t1}}{305 Q_c \cdot Q_{OCR} \cdot Q_A} \quad [14]$$

wobei q_{t1} sich nach [7] richtet und die Faktoren Q_c , Q_{OCR} und Q_A wie folgt berechnet werden:

Q_c	=	Kompressibilitätsfaktor	
		$0.91 < Q_c < 1.09$	(Tiefer Wert für geringe Kompressibilität)
Q_{OCR}	=	Überkonsolidierungsfaktor	
		$OCR^{0.2}$	
Q_A	=	Faktor, welche die Zunahme des Spitzenwiderstands mit der Zeit berücksichtigt	
		$1.2 + 0.05 \cdot \log(t/100)$	(t in Jahren)
	≈	1.3 für Sande, welche nach der letzten Eiszeit abgelagert wurden	

ZUSAMMENDRÜCKUNGSMODUL BEI ERSTBELASTUNG

Zusammenhänge zwischen den Resultaten von Drucksondierungen und dem eindimensionalen Zusammendrückungsmodul bei Erstbelastung M_{E1} sind indikativ. Für eine genaue Bestimmung des Last-Deformationsverhaltens sind zusätzliche Daten (z. B. Plattendilatometer, Oedometerprüfung) unumgänglich.

Normalerweise wird die Elastizitätstheorie für die Analyse des Verformungsverhaltens von drainierten Böden angewandt. Lunne und Christophersen (1983) schlagen aufgrund einer Überprüfung der Ergebnisse von Drucksondierungen in mit Sand gefüllten Kalibrationskammern die folgende Beziehung zur Abschätzung des Zusammendrückungsmoduls bei Erstbelastung vor:

$$M_{E1} = \begin{cases} 4 \cdot q_c & q_c < 10 \text{ MPa} \\ 2 \cdot q_c + 20 & 10 < q_c < 50 \text{ MPa} \\ 120 & q_c > 50 \text{ MPa} \end{cases} \quad [15]$$

Die Abschätzung des eindimensionalen Zusammendrückungsmoduls bei Erstbelastung für feinkörnige Schichten richtet sich meistens nach:

$$M_{E1} = \alpha_c \cdot q_c \quad [16]$$

Oder, korrigiert für den transienten Porenwasserdruck und den Bau der Messsonde:

$$M_{E1} = \alpha_n \cdot q_n \quad [17]$$

Dabei stellt α einen Korrelationskoeffizient dar, welcher unter anderem von der Plastizität, Korngrösse, Mineralogie und Spannungsgeschichte abhängt. Mitchell und Gardner (1975) geben Richtwerte für α_c , welche sich je nach Zusammensetzung, Plastizität und Scherfestigkeit zwischen 1 und 8 bewegen. Neuere Studien aufgrund des netto Spitzenwiderstands q_n empfehlen einen Wert für α_n zwischen 4 und 8 (Senneset et al, 1989). Die von Geoprofile gewählte Methode betrachtet einen pauschalen Wert für α_n von 5 als praktikabel.

Der hier abgeleitete Zusammendrückungsmodul ist einen oedometrischen Modul, welche sich auf die effektiven in-situ Spannungsverhältnisse in einer bestimmten Tiefe bezieht. Bei der Bestimmung eines Zusammendrückungsmoduls beim Oedometerversuch gilt, dass die vertikalen Dehnungen sehr gross sind und meistens zwischen 1 und 10 Prozent variieren. Solche Dehnungen sind unter einem Bauwerk kaum realistisch. Es liegt in der Verantwortung des Anwenders, die effektiv auftretenden Dehnungen bei der Wahl eines geeigneten M_E -Wertes gebührend zu berücksichtigen. Dies kann durchaus zu einem höheren Wert führen. Die Verwendung eines konstanten, oedometrischen Zusammendrückungsmoduls führt bei Setzungsberechnungen in der Regel zu einer Überschätzung der zu erwartenden Setzungen.

Zur Berücksichtigung einer grösseren Steifigkeit des Baugrundes bei geringeren Dehnungen sollte vorzugsweise auf komplexeren Materialmodellen zurückgegriffen werden (z.B. das hardening soil small strain Modell (HSS)).

Die Abschätzung der maximalen Vorkonsolidierungsspannung σ'_p richtet sich nach [5].

UNDRAINIERTE SCHERFESTIGKEIT

Die undrainierte Scherfestigkeit s_u ist keine Konstante. Sie hängt von Faktoren wie dem Abschermodus und der -richtung, der Spannungshistorie und –anisotropie sowie der Abschergeschwindigkeit und der Temperatur ab.

Es gibt verschiedene theoretische und empirische Vorgehensweisen, um den Spitzenwiderstand q_c mit der undrainierten Scherfestigkeit s_u zu korrelieren. Theoretische Ansätze stützen sich auf die Tragfähigkeitstheorie oder die Bodenmechanik des kritischen effektiven Zustands (critical state soil mechanics, CSSM). So kann der einfache Abschermodus wie folgt beschrieben werden (Wroth 1984):

$$s_u / \sigma'_{vo\ DDS} = \frac{1}{2} \sin \varphi' \cdot OCR^\Lambda \quad [18]$$

wobei $\Lambda = 1 - C_s/C_c$ das plastische volumetrische Dehnungspotential, und C_c und C_s den Zusammendrückungsindex bei Erstbelastung bzw. bei Entlastung bezeichnen. Für Tone mit einer geringen bis mittleren Sensitivität liegt Λ meistens zwischen 0.7 und 0.8, für sensitive Tone eher um 0.9. Die bekannte Beziehung (Jamiolkowski et al., 1985; Ladd, 1991; Ladd and DeGroot 2003):

$$s_u / \sigma'_{vo\ DDS} = 0.22 \cdot OCR^{0.8} \quad [19]$$

welche im Erdbaulabor des MIT entwickelt wurde, ist dabei ein Subsatz von [18] mit $\varphi' = 26^\circ$ und $\Lambda = 0.8$. Die von Geoprofile gewählte Methode nutzt den aus den Sondierdaten abgeleiteten Wert für den effektiven inneren Reibungswinkel φ' und einem Λ von 0.8.

Empirische Ansätze beruhen meistens auf einer direkten Korrelation des netto Spitzenwiderstands q_n mit der undrainierten Scherfestigkeit (Rad und Lunne, 1988):

$$s_{u\ TX} = \frac{q_t - \sigma_{vo}}{N_{kt}} = \frac{q_n}{N_{kt}} \quad [20]$$

Der Faktor N_{kt} liegt üblicherweise zwischen 15 und 25, hängt aber unter anderem von der Plastizität und

dem Überkonsolidierungsgrad ab. Das Referenzverfahren für die oben genannte Beziehung ist der konsolidierte, undrainierte, triaxiale Zusammendrückungstest (CU). Die von Geoprofile gewählte Vorgehensweise bezieht sich auf eine undrainierte Scherfestigkeit mit einem Faktor N_{kt} von 18, welche aber nur zur Kontrolle von der mit [18] abgeleiteten undrainierte Scherfestigkeit (und damit indirekt auch von ϕ') herangezogen wird.

Die Sensitivität eines Tons ist das Verhältnis zwischen der maximalen und der gestörten undrainierten Scherfestigkeit:

$$S_t = S_{u,max} / S_{u,rest} \quad [21]$$

Da die gemessene lokale Mantelreibung f_s in Ton primär von der gestörten undrainierten Scherfestigkeit abhängt, kann die Sensitivität wie folgt abgeleitet werden (Rad und Lunne, 1986):

$$S_t = \frac{N_s}{R_f} \quad [22]$$

wobei R_f das Reibungsverhältnis bezeichnet und N_s üblicherweise zwischen 6 und 9 liegt. Bei der von Geoprofile gewählten Vorgehensweise liegt der Abschätzung der Sensitivität ein Wert für N_s von 7.5 zugrunde.

LITERATURANGABEN

Bolton, M.D. (1986), "The Strength and Dilatancy of Sands", Geotechnique, Vol. 36, No. 1, pp. 65-78.

Bolton, M.D. (1987), "The Strength and Dilatancy of Sands, Discussion", Geotechnique, Vol. 37, No. 2, pp. 225-226.

Kulhawy, F.H. und P.W. Mayne, (1990), Manual on Estimating Soil Properties for Foundation Design, Report EPRI EL-6800, Electric Power Research Institute, Palo Alto, California, 306 pp.

Ladd, C.C., Foott, R.R., Ishihara, K., Schlosser, F. und Poulos, H.G. (1977), "Stress-Deformation and Strength Characteristics", Proc. 9th Int. Conf. on Soil Mechanics and Foundation Engineering, Tokyo, Vol. 2, pp. 421-494.

Lunne, T., Powell, J.J.M. und Robertson, P.K. (1995), "Use of Piezocone Tests in Non-Textbook Materials", Proc. Int. Conf. on Advances in Site Investigation Practice, Institution of Civil Engineers, London, pp. 438-451.

Lunne, T. und Christophersen, H.P. (1983), "Interpretation of cone Penetrometer data for offshore Sands", Proc. of the offshore technology conference, Richardson, Texas, paper nr. 4464

Lunne, T., Robertson, P.K. und Powell, J.J.M. (1997), "Cone Penetration Testing in Geotechnical Practice", Blackie Academic & Professional, London, p. 312.

Mayne, P.W. und Kulhawy, F.H. (1982), " K_0 - OCR Relationships in Soil", ASCE Jnl. of Geotechnical Engineering, Vol. 108, No. GT6, pp. 851-872.

Mesri, G. und Abdel-Ghaffar, M.E.M. (1993). "Cohesion Intercept in Effective Stress Stability Analysis." Journal of Geotechnical Engineering, Vol. 119, No. 8, pp. 1229-1249.

Mitchell, J.K. und Gardner, W.S. (1975), "In-Situ Measurements of Volume Change Characteristics", ASCE Speciality Conference on In-Situ Measurement of Soil Properties, North Carolina, Vol. II, pp. 279-345.

Rad, N.S. und Lunne, T. (1988), "Direct Correlations between Piezocone Test Results and Undrained Shear Strength of Clay", Penetration Testing 1988, Proc. First Int. Symp. On Penetration Testing, ISOPT-1, De Ruiter (ed.), Vol. 2, pp. 911-917.

Robertson, P.K. (1990), "Soil Classification using the Cone Penetration Test", Can. Geotech. Jnl., Vol. 27, No. 1, pp. 151-158.

Robertson, P.K., Campanella, R.G., Gillespie, D. und Grieg, J. (1986), "Use of Piezometer Cone Data", Proc. In-Situ '86, ASCE Specialty Conf., Blacksburg, VA, pp. 1263-1280.

Senneset, K., R. Sandven, T. Lunne, T. By, und T. Amundsen, (1988), "Piezocone Tests in Silty Soils," Penetration Testing, Vol. 2, Balkema, Rotterdam, The Netherlands, pp. 955–974.

Senneset, K., R. Sandven, und N. Janbu, (1989), "Evaluation of Soil Parameters from Piezocone Tests," Transportation Research Record 1235, Transportation Research Board, National Research Council, Washington, D.C, pp. 24–37.

Wroth, C.P. (1984), "The Interpretation of In-Situ Soil Tests", Geotechnique, Vol. 34, No. 4, pp. 449-489.

ALLGEMEINES

Die Rammsondierung ist ein Verfahren, das zur Untersuchung des Baugrunds verwendet wird. Bei der Durchführung einer Rammsondierung wird eine Messsonde aus Stahl mittels eines Fallgewichts, welches aus einer bestimmten Höhe wiederholt fallen gelassen wird, in den Boden eingeschlagen. Dabei wird die Schlagzahl, welche für das Eindringen eines festgelegten Tiefenintervalls erforderlich ist, aufgezeichnet. Da die Schlagzahl durch Gestängereibung und Energieverluste mit zunehmender Tiefe tendenziell ansteigt, kann optional zur Bestimmung des Systemwiderstands das Rammgestänge in regelmässigen Intervallen angehoben und nachgeschlagen werden.







Gängige Sonden haben eine Querschnittsfläche von 10, 15 oder 20 cm². Die Sonde wird mit einer freistehenden oder auf einem leichten Trägerfahrzeug montierten Schlagvorrichtung bis in Tiefen von maximal ca. 25 m vorgetrieben (baugrundabhängig). Die von Geoprofile GmbH für die Rammsondierung angewandten Verfahren und verwendeten Geräte stehen in Einklang mit den Regelungen der Schweizer Norm SN 670 318-2:2005 bzw. dem Eurocode EN ISO 22476-2:2005.

Wenn nicht anders vereinbart, gelten die folgenden Kriterien für die Beendigung des Versuchs:

- das Erreichen der gewünschten Eindringtiefe,
- das Erreichen der maximalen Schlagzahl während eines Tiefenintervalls,
- Umstände im Ermessen des Sondiermeisters, wie z.B. das Risiko von Sach- oder Personenschaden.

AUSFÜHRUNGSVARIANTEN

Gemäss Eurocode sind mehrere Ausführungsvarianten möglich, wobei das Fallgewicht, die Fallhöhe sowie die Querschnittsfläche variieren. Gemäss nationalem Vorwort der SN 670 318-2:2005 ist in der Schweiz zudem die Verwendung der aus historischen Gründen verbreitet vorhandenen „Von Moos“ Rammsonde gestattet. Diese weist neben Unterschieden bei Fallgewicht, Fallhöhe und Querschnittsfläche eine unterschiedliche Form der eigentlichen Rammspitze auf. Die unten stehende Tabelle fasst die verschiedenen Ausführungsvarianten der Rammsondierung zusammen.

Bezeichnung		Spitze		Fall- gewicht [kg]	Fall- höhe [m]	Mess- intervall [cm]	Ramm- energie [J]	Spez. Ramm- energie [kJ/m ²]	Form der Sonde
		Dm [mm]	Fläche [cm ²]						
Leichte Rammsonde	DPL	35.7	10	10	0.5	10	50	50	
„Von Moos“	VAWE	35.7	10	30	0.2	20	60	60	
Mittelschwere Rammsonde	DPM	43.7	15	30	0.5	10	150	100	
Schwere Rammsonde	DPH	43.7	15	50	0.5	10	250	167	
Superschwere Rammsonde A	DPSH-A	45.0	16	63.5	0.5	10 / 20	318	198	
Superschwere Rammsonde B	DPSH-B	50.5	20	63.5	0.75	10 / 20	476	238	

Der Standard Penetration Test (SPT), welcher bei Bohrungen oft ausgeführt wird, weist die gleichen Eigenschaften wie die superschwere Rammsondierung des Typs B (DPSH-B) auf, wird jedoch ab Bohrlochsohle angesetzt und bezieht sich auf einem Messintervall von 30 cm (N_{30}).

ERGEBNISSE

Die Darstellung der Ergebnisse der Rammsondierung umfasst:

- die Schlagzahl N pro Messintervall in Abhängigkeit der Tiefe z (N_{10} oder N_{20}),
- fakultativ den dynamischen Spitzenwiderstand r_d sowie den massenkorrigierten dynamischen Spitzenwiderstand q_d , wie folgt:

$$r_d = \frac{m \cdot g \cdot h \cdot E_r}{A_c \cdot e} = \frac{E_{meas}}{A_c \cdot e}$$

$$q_d = \left(\frac{m_H}{m_H + m_G} \right) \cdot r_d$$

Dabei gilt

m = Masse des Fallgewichts [kg]

g = Erdbeschleunigung [9.8 m/s²]

h = Fallhöhe [m]

E_r = Energieverhältnis bzw. Schlageffizienz (geräteabhängig) [-]

= E_{meas} / E_{theor} , mit E_{meas} = gemessene Rammenergie und E_{theor} = theoretische Rammenergie

A_c = Spitzenfläche [m²]

e = mittlere Eindringung pro Schlag [m]

= Messintervall / N

m_H = Masse des Fallgewichts

m_G = die Gesamtmasse der Verlängerungsstangen, des Ambosses und der Führungsstangen

INTERPRETATION UND ANWENDUNGSGRENZEN

Die Interpretation von Rammsondierungen dient primär der Bestimmung des Schichtaufbaus. Sie ist meistens nur qualitativ möglich. Eine quantitative Auswertung, wobei ein Bezug zwischen den Schlagzahlen und geotechnischen Parametern hergestellt wird, ist generell nur mit zusätzlichen geologischen oder geotechnischen Informationen sinnvoll. Dies, weil die Schlagzahlen neben den Baugrundeigenschaften noch von einer Reihe von weiteren, meistens unzureichend bekannten Faktoren bestimmt werden. Zur Vermeidung von Fehlinterpretation müssen diese Faktoren aber zwingend berücksichtigt werden.

Systemwiderstand

Grundsätzlich gilt, dass sich die Schlagzahl N in einer bestimmten Tiefe aus den folgenden Komponenten zusammensetzt:

- dynamischer Widerstand des Baugrundes im Bereich der Spitze;
- intrinsischer Systemwiderstand.

Der Systemwiderstand ergibt sich aus gerätetechnischen Widerständen sowie aus der kumulativen Reibung entlang dem Rammgestänge. Zu den wichtigsten gerätetechnischen Widerständen gehören die mechanische Dämpfung entlang und die elastische Ausbiegung des Rammgestänges. Die mechanische Dämpfung entlang des Gestänges und die elastische Ausbiegung des Rammgestänges selber sind abhängig von den Materialeigenschaften und der Kupplung zwischen Gestänge und dem Baugrund. Die elastische Ausbiegung wird zudem von der Grösse des ringförmigen Hohlraums um das Gestänge herum und der seitlichen Stützung durch den Baugrund beeinflusst.

Die zweite Komponente des Systemwiderstands, namentlich die Reibung entlang des Rammgestänges, wird primär von den anstehenden Baugrundsichten sowie von der Abweichung des Rammgestänges von der Lotrechten beeinflusst. Feinkörnige Schichten weisen im Vergleich zu Sanden und Kiesen meistens eine höhere Reibung entlang des Gestänges auf. Eine Abweichung von der Vertikalen bewirkt eine bessere Ankupplung und somit eine erhöhte Reibung zwischen Gestänge und Erdreich.

Um den Systemwiderstand abschätzen zu können, ist es gute Praxis, die Rammsonde regelmässig anzuheben und anschliessend nachzurammen. Ziel ist es, den Rammwiderstand im Bereich der Spitze weitgehend zu eliminieren, sodass zum Abteufen der Sonde nur der Systemwiderstand überwunden werden muss. Allerdings ist dieser Vorgehensweise in Sanden unterhalb des Grundwasserspiegels nur bedingt anwendbar, da beim Ziehen der Sonde ein Vakuum entstehen kann, welches das Auftreten von hydraulischem Grundbruch im Sondierloch unterhalb der Rammsonde begünstigt. Dies kann dazu führen, dass das Sondierloch beim Nachrammen nicht leer, sondern wieder mit Sand gefüllt ist.

Gerätetechnische Einflüsse

Aus gerätetechnischer Sicht spielt die Energieeffizienz der Schlagvorrichtung eine wesentliche Rolle. Eine geringe Schlageffizienz bewirkt, dass nur ein geringer Teil der Rammenergie in das Rammgestänge geleitet wird, was zwingend zu einer höheren Schlagzahl führt. Moderne Rammsysteme erreichen eine Schlageffizienz von über 85 Prozent, bei älteren Systemen liegt diese tiefer. Die Effizienz von mit Pressluft betriebenen Systemen ist meistens etwas geringer als bei vergleichbaren Systemen mit einer mechanischen Hebevorrichtung und automatischem Auslöser (z.B. Kette mit Mitnehmer).

Geotechnische Einflüsse

Baugrundseitig hängt die gemessene Schlagzahl von verschiedenen geotechnischen Faktoren ab, darunter:

- Lagerungsdichte des Korngefüges
- Korngrößenverteilung
- Kornform und –rauigkeit
- Mineralart der Körner
- Grad der Verfestigung
- In-situ Spannungsverhältnisse
- Wassergehalt und Lage des Wasserspiegels
- geotechnische Verhalten des Baugrundes (drainiert / undrainiert)

Unter sonst gleichen Bodenverhältnissen ist die Schlagzahl in grobkörnigen Böden unterhalb des Grundwasserspiegels niedriger. Umgekehrt ist bei sonst gleichen Bodenverhältnissen die Schlagzahl in siltigen Böden unterhalb des Grundwasserspiegels gleich oder höher.

LITERATURANGABEN

Butler, J. J., Caliendo, J. A. und Goble, G. G. (1998), Comparison of SPT energy measurements methods, Proc. 1st Int. Conf. on Site Characterization, Atlanta 1998, Vol. 2, pp. 901–905.

CEN (2005), "Geotechnische Erkundung und Untersuchung - Felduntersuchungen - Teil 2: Rammsondierungen (ISO EN 22476-2:2005)

Smoltczyk, U. (2003), Geotechnical Engineering Handbook, Volume 1: Fundamentals, Ernst & Sohn, Berlin.

VSS Schweizerischer Verband der Strassen- und Verkehrsfachleute (1997), Rammsondierung "Von Moos" (SN 670 314: 1997)